

本資料のうち、枠囲みの内容は、  
営業秘密又は防護上の観点から  
公開できません。

東海第二発電所 工事計画審査資料	
資料番号	補足-270-4 改2
提出年月日	平成30年5月1日

## 工事計画に係る補足説明資料

原子炉格納施設の設計条件に関する説明書のうち  
補足-270-4【ベント実施に伴う作業等の作業員の被ばく評  
価について】

平成30年5月

日本原子力発電株式会社

## 目 次

補足1	格納容器漏えい率の設定について	補足1-1
補足2	原子炉格納容器内での除去効果について	補足2-1
補足3	原子炉格納容器内における無機よう素の自然沈着効果について	補足3-1
補足4	サプレッション・プールでのスクラビングによる除去効果（無機よう素）について	補足4-1
補足5	原子炉格納容器外への核分裂生成物の放出割合の設定について	補足5-1
補足6	地表面への沈着速度の設定について	補足6-1
補足7	有機よう素の乾性沈着速度について	補足7-1
補足8	エアロゾルの乾性沈着速度について	補足8-1
補足9	実効放出継続時間の設定について	補足9-1
補足10	ベント実施に伴うベント操作時の作業員の被ばく評価で考慮している線源の選定について	補足10-1
補足11	線量評価に用いた気象データについて	補足11-1
補足12	コンクリート密度の根拠について	補足12-1
補足13	原子炉建屋からの直接ガンマ線及びスカイシャインガンマ線，グラウンドシャイン評価モデルについて	補足13-1

格納容器漏えい率の設定について

原子炉格納容器からの原子炉建屋への漏えい率は、MAAP内で模擬した漏えい孔の等価漏えい面積及び原子炉格納容器の圧力に応じて設定している。

模擬する漏えい孔の等価漏えい面積は、以下に示す格納容器圧力が最高使用圧力である310 kPa [gage] (1 Pd) 以下の場合と最高使用圧力を超過した後の場合の2種類を設定する。

ただし、MAAP解析においては、よう素の化学組成について考慮されておらず、全て粒子状よう素として扱われることから、無機よう素及び有機よう素の格納容器漏えい率は別途設定する。

(1) 格納容器圧力が最高使用圧力以下の場合

格納容器圧力が最高使用圧力以下の場合、設計漏えい率 (0.9 Pdで0.5 %/日) を基に算出した等価漏えい面積 (約 $3 \times 10^{-6} \text{ m}^2$ ) を設定し、MAAP内で圧力に応じた漏えい量を評価している。

(2) 格納容器圧力が最高使用圧力を超過した場合

格納容器圧力が最高使用圧力を超過した場合、2 Pdで漏えい率1.3 %/日となる等価漏えい面積 (約 $7 \times 10^{-5} \text{ m}^2$ ) を設定し、(1)と同様にMAAP内で圧力に応じた漏えい量を評価している。

2 Pdにおける漏えい率1.3 %/日は、以下のAECの評価式、GEの評価式及び定常流の式によって評価した漏えい率の結果を包絡する値として設定した。これらの式は、設計基準事故の原子炉冷却材喪失時の評価において格納容器漏えい率の評価に用いている理論式<sup>\*1</sup>である。格納容器圧力が最高使用圧力の2倍である620 kPa [gage] (2 Pd) 及び格納容器雰囲気温度200 °Cまでは、事故後7日間に渡り、格納容器本体並びに開口部及び貫通部の健全性が確保されていることを確認していることから、これらの理論式を用いて格納容器圧力2 Pd及び雰囲気温度200 °Cにおける漏えい率を設定することは可能と判断した。

○AECの評価式

$$L = L_0 \sqrt{\frac{(P_t - P_a) \times R_t \times T_t}{(P_d - P_a) \times R_d \times T_d}}$$

L	事故時の格納容器漏えい率 (2 Pd)	【約1.28 %/日】
L <sub>0</sub>	設計漏えい率 (0.9 Pd)	【0.5 %/日】
P <sub>t</sub>	事故時の格納容器内圧力 (2 Pd)	【721.325 kPa [abs]】
P <sub>d</sub>	設計圧力 (0.9 Pd)	【380.325 kPa [abs]】
P <sub>a</sub>	格納容器外の圧力 (大気圧)	【101.325 kPa [abs]】
R <sub>t</sub>	事故時の気体定数 <sup>*2</sup>	【523.7 J/Kg・K】
R <sub>d</sub>	空気の気体定数	【287 J/Kg・K】
T <sub>t</sub>	事故時の格納容器雰囲気温度 (200 °C)	【473.15 K】
T <sub>d</sub>	格納容器雰囲気温度 (20 °C) <sup>*3</sup>	【293.15 K】

○GEの評価式 (General Electric社の漏えいモデル式)

$$L = L_0 \sqrt{\frac{1 - \left(\frac{P_a}{P_t}\right)^2}{1 - \left(\frac{P_a}{P_d}\right)^2}}$$

L	: 事故時の格納容器漏えい率 (2 Pd)	【約0.51 %/日】
L <sub>0</sub>	: 設計漏えい率 (0.9 Pd)	【0.5 %/日】
P <sub>t</sub>	: 事故時の格納容器内圧力 (2 Pd)	【721.325 kPa [abs]】
P <sub>d</sub>	: 設計圧力 (0.9 Pd)	【380.325 kPa [abs]】
P <sub>a</sub>	: 格納容器外の圧力 (大気圧)	【101.325 kPa [abs]】

○定常流の式

$$L = L_0 \sqrt{\frac{\rho_d(P_t - P_a)}{\rho_t(P_d - P_a)}}$$

L	: 事故時の格納容器漏えい率 (2 Pd)	【約0.93 %/日】
L <sub>0</sub>	: 設計漏えい率 (0.9 Pd)	【0.5 %/日】
ρ <sub>t</sub>	: 事故時の格納容器内気体の平均密度 <sup>※4</sup>	【2.9 kg/m <sup>3</sup> 】
ρ <sub>d</sub>	: 設計温度・圧力における格納容器内気体の平均密度 ※5	【4.5 kg/m <sup>3</sup> 】
P <sub>t</sub>	: 事故時の格納容器内圧力 (2 Pd)	【721.325 kPa [abs]】
P <sub>d</sub>	: 設計圧力 (0.9 Pd)	【380.325 kPa [abs]】
P <sub>a</sub>	: 格納容器外の圧力 (大気圧)	【101.325 kPa [abs]】

NT2 補① 補足-270-4 R2

※1 「沸騰水型原子力発電所 事故時の被ばく評価手法について (平成16年1月)」 (株式会社 日立製作所)

※2 事故時の気体定数R<sub>t</sub>は、以下の式により算出した。

$$R_t [\text{J/kg}\cdot\text{K}] = \text{モル気体定数約}8.314 [\text{J/K}\cdot\text{mol}] / \text{平均分子量}M [\text{kg/mol}]$$

AECの評価式より、事故時の気体定数が大きくなるほど漏えい率は高くなる。また、上記計算式より、事故時の気体定数は、平均分子量が小さくなるほど大きくなる。事故時の原子炉格納容器内は水素、窒素及び水蒸気で構成されるため、分子量の小さい水素の割合が増加するほど平均分子量は小さくなり、結果として事故時の気体定数は大きくなる。平均分子量の設定に当たり、水素、窒素及び水蒸気のガス組成を34 % : 33 % : 33 %とし、水素の割合 (34 %) は、有効性評価 (「雰囲気圧力・温度による静的負荷 (格納容器過圧・過温破損) 」) における水素発生量 (約700 kg (内訳: ジルコニウム-水反応 約325 kg, アルミニウム/亜鉛の反応 約246 kg, 水の放射線分解 約115 kg)) を包含した値であることから、保守的な設定であると考え。

※3 格納容器の設計漏えい試験における通常時の試験温度の代表として設定した。

※4 事故時の格納容器内気体の平均密度ρ<sub>t</sub>は、以下の式により算出した。

$$\rho_t [\text{kg/m}^3] = \text{平均分子量}M [\text{kg/mol}] \times \text{物質質量}n [\text{mol}] / \text{格納容器体積}V [\text{m}^3]$$

定常流の式より、事故時の原子炉格納容器内気体の平均密度が小さくなるほど漏えい率は

きくなる。また、上記計算式より、事故時の原子炉格納容器内気体の平均密度は、平均分子量が小さくなるほど小さくなる。平均分子量は※2と同じであり、保守的な設定であると考えられる。

※5 原子炉格納容器内気体の平均密度  $\rho_d$  は、以下の式により算出した。

$$\rho_d \text{ [kg/m}^3\text{]} = 1.205 \text{ [kg/m}^3\text{]} \times (P_d \text{ [Pa]} / P_a \text{ [Pa]})$$

1.205 [kg/m<sup>3</sup>] : 乾燥空気密度 (20°C)

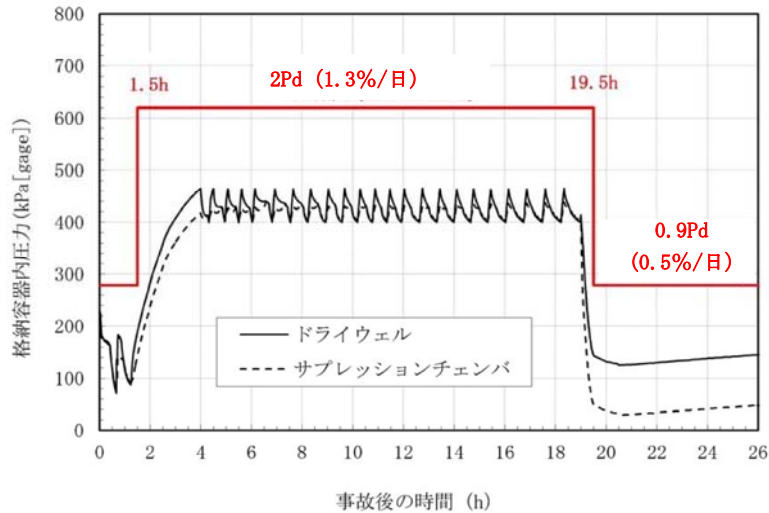
(3) 無機よう素及び有機よう素の格納容器漏えい率

(a) 無機よう素

他の核種と同様に格納容器圧力に応じて漏えい率が変動すると考えるが、MAAP解析において無機よう素を模擬していないため、MAAP解析結果による格納容器圧力を基に漏えい率を設定する。

漏えい率の設定に当たっては、第1図のとおりMAAP解析結果による格納容器圧力を包絡した格納容器圧力を設定し、その格納容器圧力に対する漏えい率を設定している。

このように設定した漏えい率は、0.9 Pd以下で0.5%/日、0.9 Pd超過で1.3%/日を一律に与えるものであり、MAAP解析における漏えい率を包絡した保守的な設定であると考えられる。



第1図 格納容器圧力と漏えい率の時間変化  
(無機よう素の格納容器漏えい率の設定)

(b) 有機よう素

有機よう素についても、無機よう素と同様の漏えい率の設定が可能であるが、有機よう素がガス状として振る舞うこと及び原子炉格納容器内での除去効果を受けない点で希ガスに類似していることから、MAAP解析における希ガスと同じ挙動を示すものとし、(1)及び(2)に基づき漏えい率を設定する。

原子炉格納容器内での除去効果について

MAAPにおけるエアロゾルに対する原子炉格納容器内の除去効果として、沈着、サプレッション・プールでのスクラビング及びドライウェルスプレーを考慮している。また、沈着については、重力沈降、拡散泳動、熱泳動、慣性衝突、核分裂生成物（以下「FP」という。）ガス凝縮/再蒸発で構成される。（「重大事故等対策の有効性評価に係るシビアアクシデント解析コードについて」の「第5部 MAAP」（抜粋）参照）

「重大事故等対策の有効性評価に係るシビアアクシデント解析コードについて」の  
「第5部 MAAP」（抜粋）

(2) FPの状態変化・輸送モデル

高温燃料から出た希ガス以外のFPは雰囲気温度に依存して凝固し、エアロゾルへ変化する。気相及び液相中のFPの輸送においては、熱水力計算から求まる体積流量からFP輸送量を計算する。FPがガス状とエアロゾル状の場合は、気体の流れに乗って、原子炉圧力容器内と原子炉格納容器内の各部に輸送される。水プール上に沈着したFPの場合は、区画内の水の領域間の移動に伴って輸送される。また、炉心あるいは溶融炉心中のFPの場合は、溶融炉心の移動量に基づいて輸送される。

FPの輸送モデルは上述の仮定に基づいており、炉心燃料から放出されてから原子炉格納容器に到達する経路としては、次のとおりである。燃料から原子炉圧力容器内に放出されたFPは、原子炉圧力容器破損前にはLOCA破損口あるいは逃がし安全弁から原子炉格納容器へ放出される。また、原子炉圧力容器破損後には原子炉圧力容器破損口若しくは格納容器下部に落下した溶融炉心からFPが原子炉格納容器へ放出される。逃がし安全弁を通じて放出されたFPはスクラビングによってサプレッション・チェンバ液相部へ移行する。原子炉格納容器の気相部へ放出されたFPは、気体の流れに伴って原子炉格納容器内を移行する。

原子炉圧力容器及び原子炉格納容器内の気体、エアロゾル及び構造物表面上（沈着）の状態間の遷移を模擬している。原子炉格納容器内のF P輸送モデル概要を図3.3-15に示す。

エアロゾルの沈着の種類としては、重力沈降、拡散泳動、熱泳動、慣性衝突、F Pガス凝縮、F Pガス再蒸発を模擬している。なお、沈着したエアロゾルの再浮遊は考慮していない。

重力沈降は、Stokesの重力沈降式とSmoluchowski方程式（エアロゾルの粒径分布に対する保存式）の解から得られる無次元相関式を用いて、浮遊するエアロゾル質量濃度から沈着率を求める。なお、Smoluchowski方程式を無次元相関式としているのは解析時間短縮のためであり、この相関式を使用したMAAPのモデルは様々な実験データと比較して検証が行われている。

拡散泳動による沈着は、水蒸気凝縮により生じるStefan流（壁面へ向かう流体力学的気流）のみを考慮して沈着率を求める。

熱泳動による沈着は、Epsteinのモデルを用い、沈着面での温度勾配による沈着速度及び沈着率を求める。

慣性衝突による沈着は、原子炉格納容器内でのみ考慮され、流れの中にある構造物に、流線から外れたエアロゾルが衝突するものと仮定し、沈着率は重力沈降の場合と同様にSmoluchowski方程式の解から得られる無次元相関式を用いて求める。

F Pガスの凝縮は、F Pガスの構造物表面への凝縮であり、雰囲気中の気体状F P圧力がF P飽和蒸気圧を超えると構造物表面への凝縮を計算する。

5-66

F Pガスの再蒸発は、凝縮と逆であり、気体状F Pの圧力がF Pの飽和蒸気圧を下回ると、蒸発が起こると仮定している。

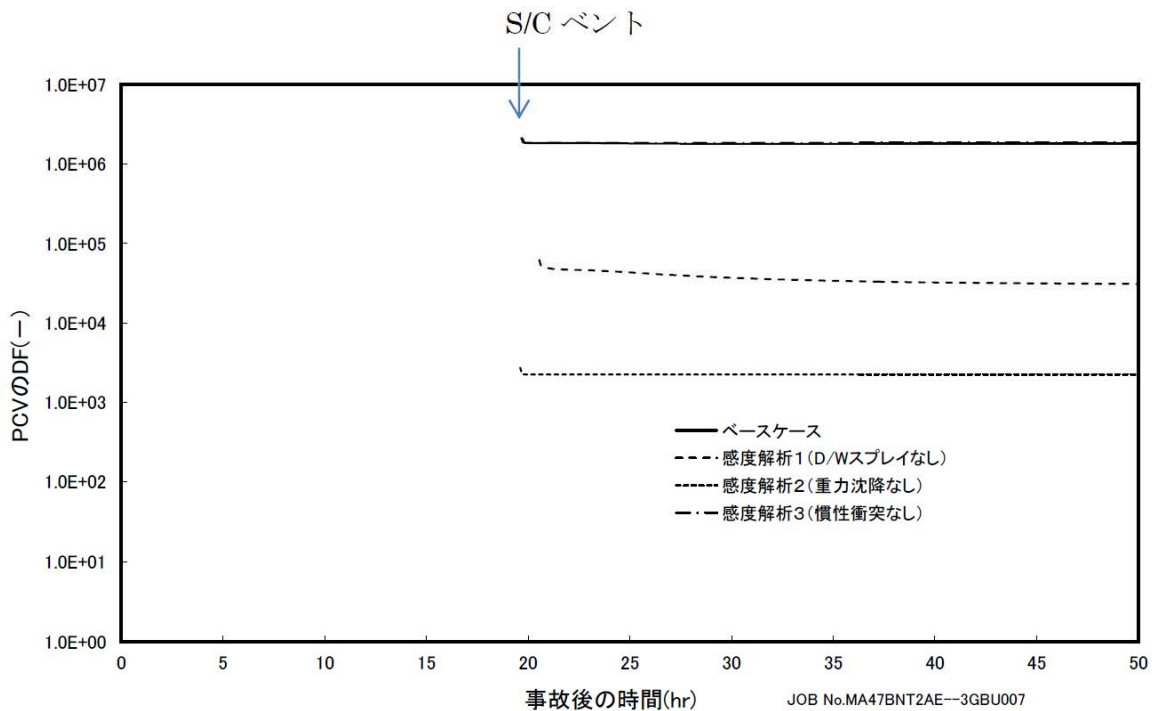
エアロゾルのプール水によるスクラビング現象による除去効果の取り扱いに関しては、スクラビングによる除染係数(D F)を設定し、エアロゾル除去効果が計算される。D Fの値は、クエンチャ、垂直ベント、水平ベントの3つの種類のスクラビング機器に対し、詳細コード SUPRA<sup>[9]</sup>を用いて、圧力、プール水深、キャリアガス中の水蒸気質量割合、プール水のサブクール度及びエアロゾル粒子径をパラメータとして評価した結果を内蔵しており、これらのデータから求める。

また、格納容器スプレーによるF P除去も模擬しており、スプレー液滴とエアロゾルとの衝突による除去率を衝突効率、スプレーの液滴径、流量及び落下高さから計算する。

## (1) 沈着及びドライウェルスプレイによる除去効果

沈着及びドライウェルスプレイによる除去効果を確認するため、感度解析を行った。感度解析結果を第1図に示す。なお、感度解析では、以下の式により原子炉格納容器内の除去効果を算出している。

$$\text{原子炉格納容器内DF} = \text{原子炉格納容器内へのC}_{sI}\text{放出割合} / \text{ベントラインから大気へのC}_{sI}\text{放出割合}$$



第1図 エアロゾルに対する原子炉格納容器内の除去効果（感度解析結果）

第1図より、全除去効果を考慮したベースケースにおけるDF（ $10^6$ オーダー）との比較から、重力沈降のDFは $10^3$ 程度、ドライウェルスプレイのDFは $10^1 \sim 10^2$ 程度であることがわかる。これより、重力沈降及びドライウェルスプレイ両方によるDFは $10^4 \sim 10^5$ 程度となるため、エアロゾルに対する原子炉格納容器内の除去効果は重力沈降及びドライウェルスプレイの影響が大きいと考える。

## (2) サプレッション・プールでのスクラビングによる除去効果

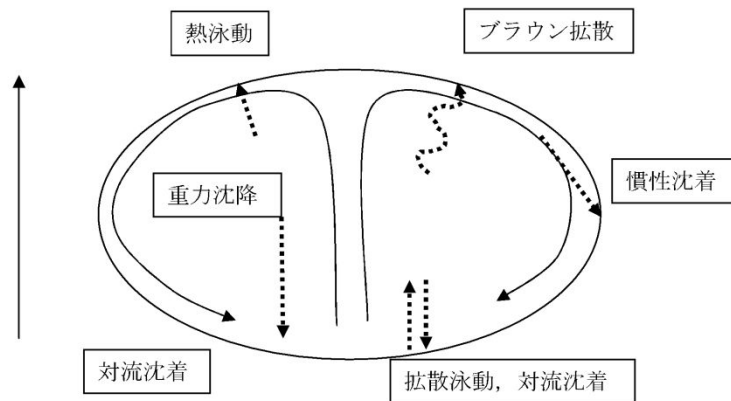
## (a) スクラビング効果について

スクラビングは、エアロゾルを含む気体がプール内に移行する場合、気泡が分裂しながら上昇していく過程においてエアロゾルが気泡界面に到達した時点で水に溶解して気体から除去される現象である。スクラビングにおけるエアロゾル除去のメカニズムは、プールへの注入時の水との衝突や気泡がプール水中を上昇していく過程における慣性衝突等が考えられる。

## (b) MAA P解析上の扱いについて

スクラビングによる除去効果について、MAAP解析ではスクラビング計算プログラム（SUPRAコード）により計算されたDF値のデータテーブルに、プール水深、エアロゾルの粒子径、キャリアガス中の水蒸気割合、格納容器圧力及びサプレッション・プールのサブクール度の条件を補間して求めている。

SUPRAコードでは、スクラビングに伴う初期気泡生成時及び気泡上昇時のエアロゾルの除去効果をモデル化しており、気泡挙動（気泡サイズ及び気泡上昇速度）、初期気泡生成時のDF、気泡上昇時のDFを評価式により与えている。第2図に、気泡中のエアロゾルが気泡界面に到達するまでの過程を示す。気泡上昇時における各過程の除去速度を評価することでエアロゾルのDFを与えている。



第2図 スクラビングによるエアロゾル捕集効果

## (c) SUPRAコードによる計算結果と実験結果の比較について

SUPRAコードによる計算結果については、電力共同研究<sup>※1</sup>にて実験結果との比較検討が行われている。試験条件及び試験装置の概要を第1表及び第3図に示す。また、試験結果を第4図から第10図に示す。

試験結果より、SUPRAコードによる計算結果と実験結果について、キャリアガス流量等のパラメータ値の増減によるDF値の傾向は概ね一致していることを確認した。

また、粒径 $\square$   $\mu\text{m}$ までの粒子について、SUPRAコードによる計算結果が実験結果より小さいDF値を示しており、保守的な評価であることを確認した。

一方、粒径 $\square$   $\mu\text{m}$ の粒子について、SUPRAコードによる計算結果が実験結果より大きいDF値を示しているが、これは実験とSUPRAコードで用いている粒子の違い（実験：LATEX粒子（密度 $\square$   $\text{g}/\text{cm}^3$ ）、SUPRAコード：CsOH（密度 $\square$   $\text{g}/\text{cm}^3$ ））が影響しているためである。SUPRAコードの計算結果を密度補正<sup>※2</sup>した第7図及び第9図では、SUPRAコードによる計算結果は実験結果より概ね小さいDF値を示すことが確認できる。

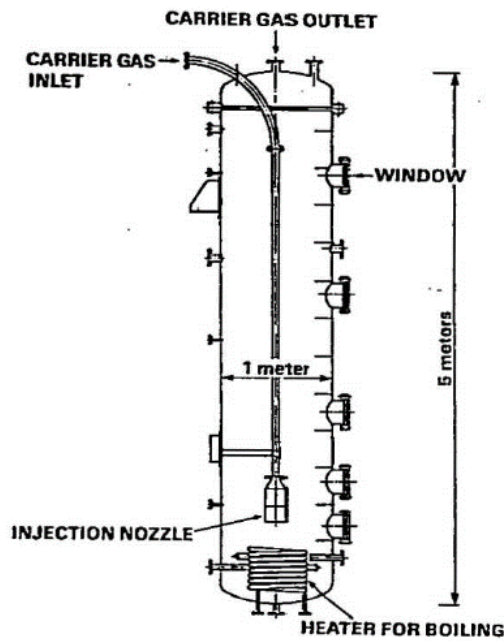
以上より、SUPRAコードにより計算されたDF値を用いることは妥当と考える。

※1 共同研究報告書「放射能放出低減装置に関する開発研究」（PHASE 2）最終報告書  
平成5年3月

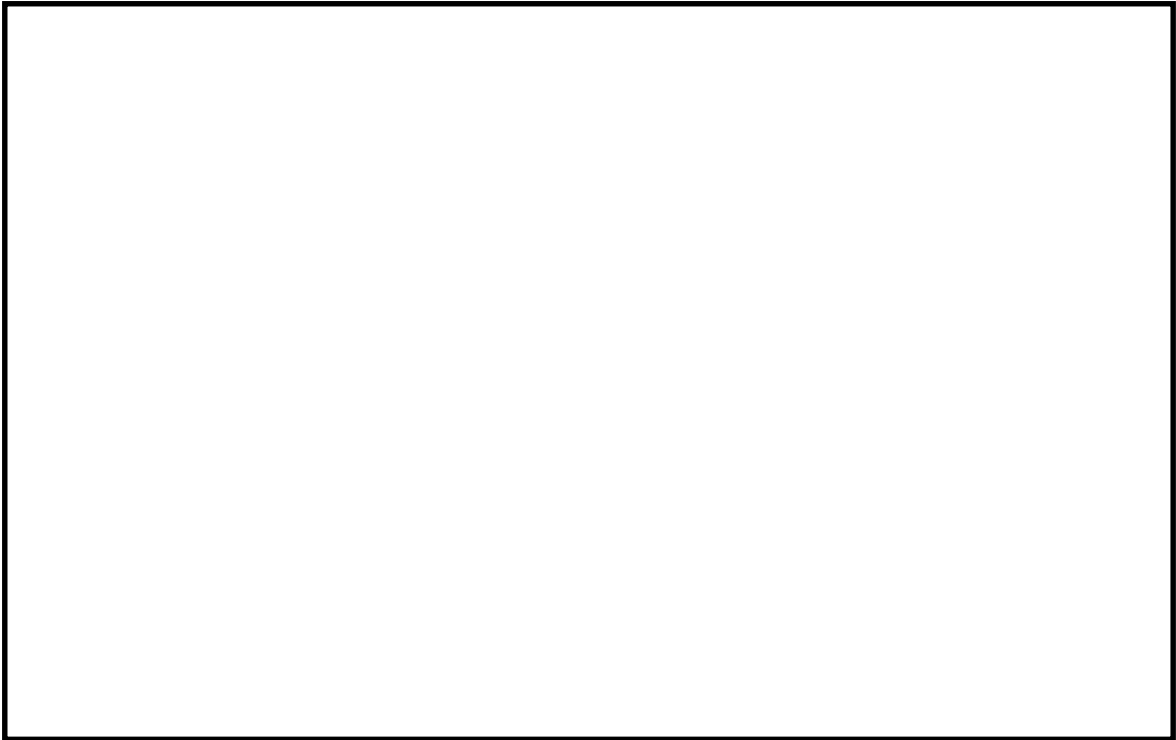
※2 実験ではL A T E X粒子を用いているため、その粒径は [ ] となる。一方、S U P R AコードではC s O Hの粒径を基にしているため、粒径に粒子密度 [ g/cm<sup>3</sup> ] の平方根を乗じることにより [ ] に換算する。

第1表 試験条件

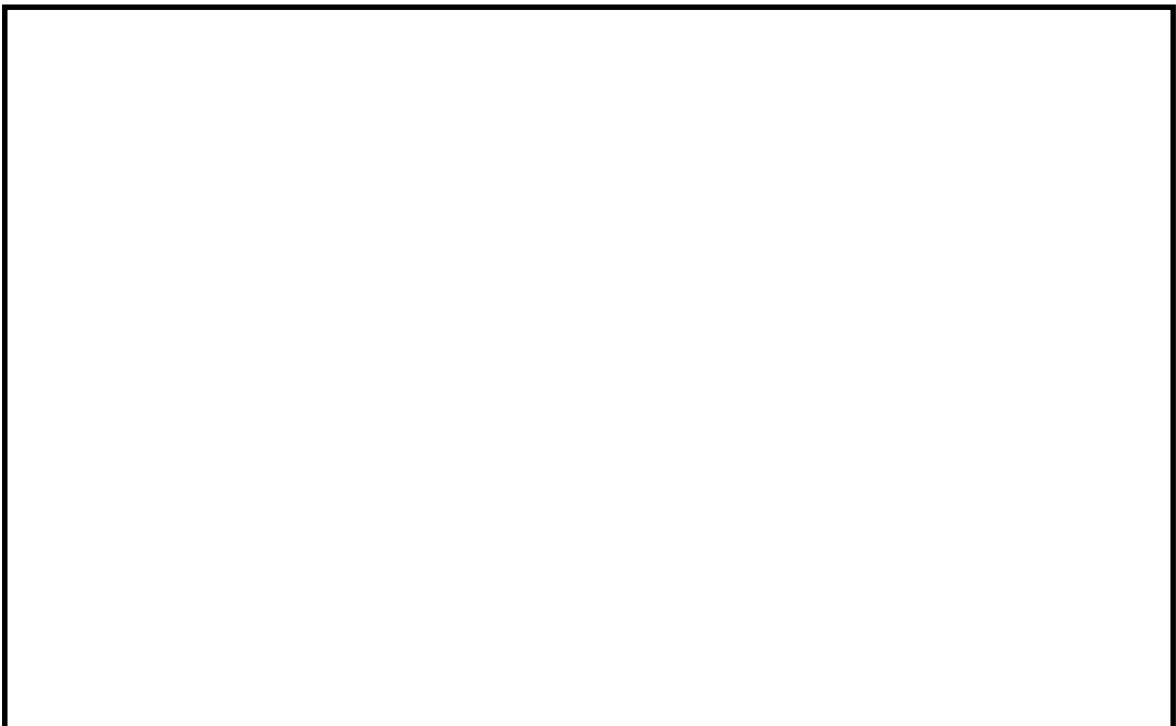
Parameter		Standard Value	Range
Geometric property	injection nozzle diameter (cm)	15	1~15
	scrubbing depth (meters)	2.7	0~3.8
Hydraulic property	pool water temperature (°C)	80	20~110
	carrier gas temperature (°C)	150	20~300
	steam fraction (vol.%)	50	0~80
	carrier gas flow rate (L/min)	500	300~2000
Aerosol property	particle diameter (μm)	0.21~1.1	0.1~1.9
	material	LATEX	LATEX, CsI



第3図 試験装置の概要



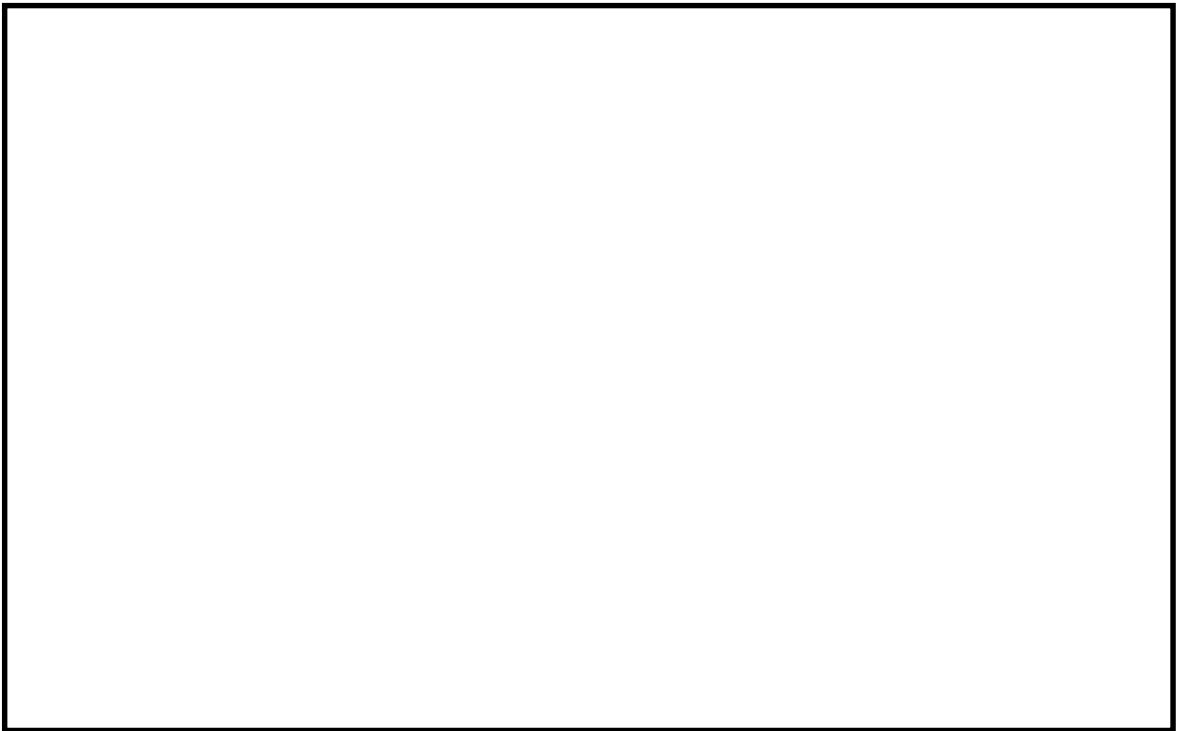
第4図 キャリアガス流量に対するDFの比較



第5図 プール水温に対するDFの比較



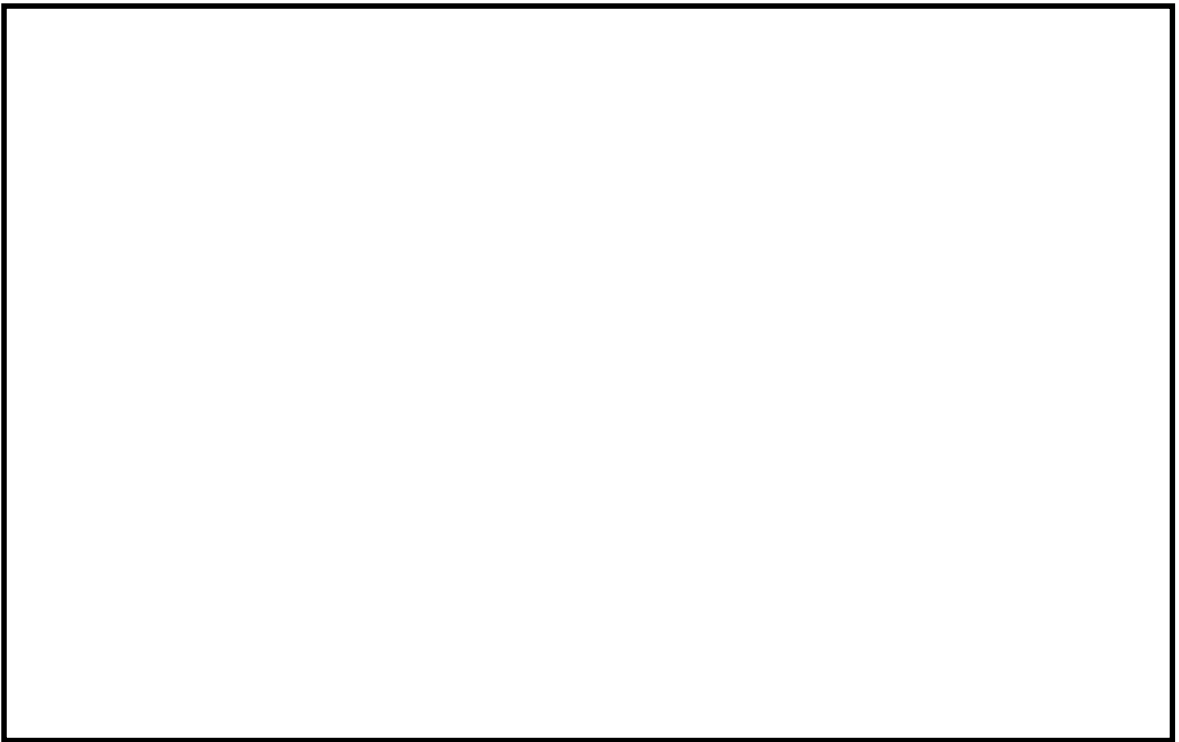
第6図 水蒸気割合に対するDFの比較



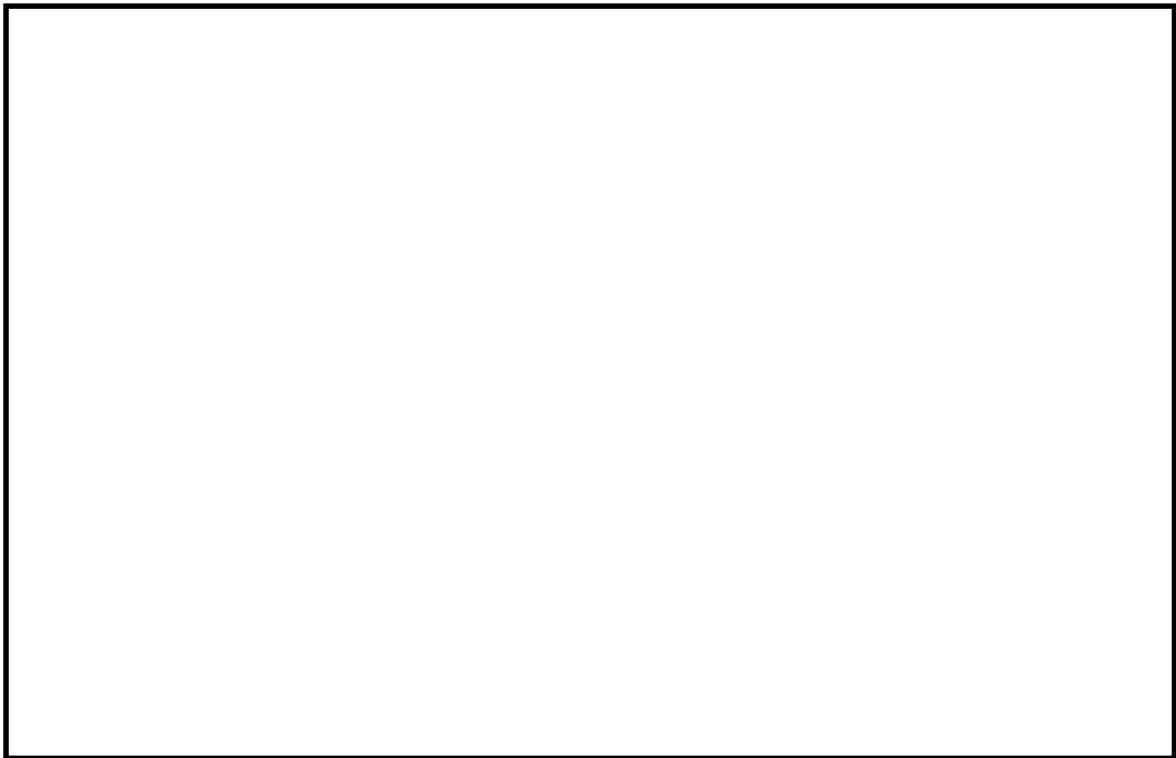
第7図 水蒸気割合に対するDFの比較 (密度補正)



第8図 スクラビング水深に対するDFの比較



第9図 スクラビング水深に対するDFの比較（密度補正）



第10図 ガス温度に対するDFの比較

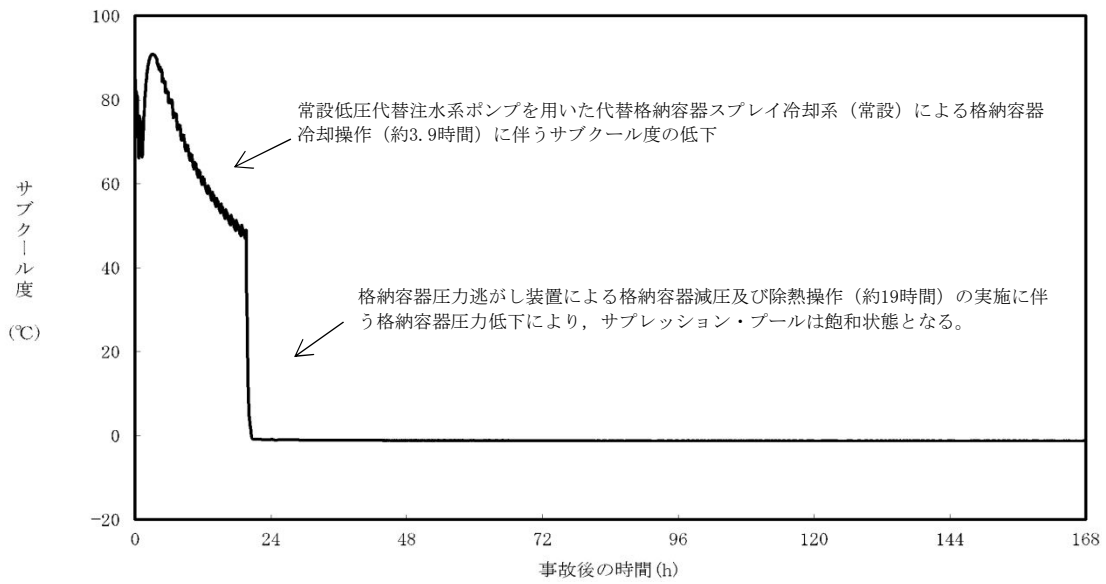
## (d) 沸騰による除去効果への影響について

「雰囲気圧力・温度による静的負荷（格納容器過圧・過温破損）」の代替循環冷却系を使用できない場合における事故シーケンスでは、第11図のとおり、格納容器圧力逃がし装置による格納容器減圧及び除熱の実施に伴いサプレッション・プールは飽和状態（沸騰状態）になるため、サプレッション・プールの沸騰による除去効果への影響を確認した。MAAP解析条件及び評価結果を第2表及び第3表に示す。なお、エアロゾルの粒径については、スクラビング前後でそれぞれ最も割合の多い粒径について除去効果への影響を確認した。その結果、第3表のとおり沸騰時の除去効果は非沸騰時に比べて小さいことを確認した。

ただし、「雰囲気圧力・温度による静的負荷（格納容器過圧・過温破損）」の代替循環冷却系を使用できない場合における事故シーケンスでは、第12図のとおり、原子炉圧力容器内のCs-137は、大破断LOCAにより生じた破断口より格納容器内気相部へ移行し、その後重力沈降等により、事象発生5時間程度で大部分が原子炉格納容器内液相部へ移行するため、本評価においてサプレッション・プールの沸騰による除去効果の減少の影響はほとんどないと考える。

なお、CsI、CsOHの沸点はそれぞれ1,280℃、272.3℃以上<sup>※3</sup>であり、シビアアクシデント時に原子炉格納容器内でCsI、CsOHが揮発することは考えにくいですが、サプレッション・プールの沸騰に伴い液相部中のCsI、CsOHの一部が気相部へ移行する可能性がある。ただし、その場合でも、ドライウェルから格納容器圧力逃がし装置を介した場合のCs-137放出量（事象発生7日間で約18 TBq）に包絡されると考えられる。

※3 化合物の辞典 高本 進・稲本直樹・中原勝儼・山崎 昶[編集] 1997年11月20日



第11図 サプレッション・プールのサブクール度の推移

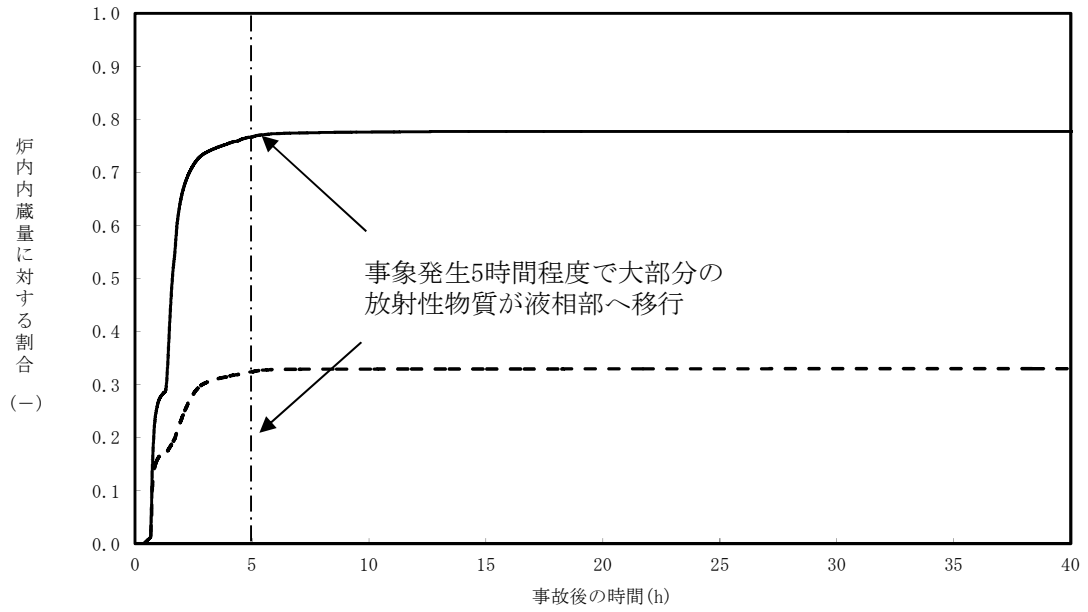
第2表 評価条件

項目	評価条件※	選定理由
蒸気割合	<input type="text"/> %	格納容器ベント実施前のドライウエルにおける蒸気割合（約55 %）相当
格納容器圧力	<input type="text"/> kPa [gage]	格納容器ベント実施前の格納容器圧力（400～465 kPa [gage]）相当
サブプレッション・プール水深	<input type="text"/> m	実機では水深3 m以上のため、設定上限値を採用
サブクール度	<input type="text"/> °C	未飽和状態として設定（設定上限値）
	<input type="text"/> °C	飽和状態として設定（設定下限値）
エアロゾルの粒径（半径）	<input type="text"/> μm	スクラビング前において、最も割合が多い粒径
	<input type="text"/> μm	スクラビング後において、最も割合が多い粒径

※ SUPRAコードにより計算されたデータテーブルの設定値を採用

第3表 評価結果

粒径（半径）	D F	
	未飽和状態 （サブクール度 <input type="text"/> °C）	飽和状態 （サブクール度 <input type="text"/> °C）
<input type="text"/> μm	<input type="text"/>	
<input type="text"/> μm		



第12図 原子炉格納容器内液相部中の存在割合

原子炉格納容器内における無機よう素の自然沈着効果について

(1) 無機よう素の自然沈着率の設定

原子炉格納容器内での無機よう素の除去効果として、自然沈着率 $9.0 \times 10^{-4}$  (1/s) (原子炉格納容器内の最大存在量から1/200まで) を用いている。以下に、自然沈着率の算出に関する概要を示す。

原子炉格納容器内における無機よう素の自然沈着について、財団法人原子力発電技術機構(以下「NUPEC」という。)による検討「平成9年度NUREG-1465のソースタームを用いた放射性物質放出量の評価に関する報告書(平成10年3月)」において、CSE(Containment Systems Experiment) A6実験に基づく値が示されている。

原子炉格納容器内での無機よう素の自然沈着率を $\lambda_d$  ( $\mu\text{g}/\text{m}^3$ ) とすると、原子炉格納容器内における無機よう素濃度 $\rho$ の濃度変化(1/s)は式1で表され、自然沈着率 $\lambda_d$ は時刻 $t_0$ における無機よう素濃度 $\rho_0$ と時刻 $t_1$ における無機よう素濃度 $\rho_1$ を用いて式2のとおりとなる。

$$\frac{d\rho}{dt} = -\lambda_d \rho \quad (\text{式1})$$

$$\lambda_d = -\frac{1}{t_1 - t_0} \log\left(\frac{\rho_1}{\rho_0}\right) \quad (\text{式2})$$

なお、NUPECの報告書では、Nuclear Technology “Removal of Iodine and Particles by Sprays in the Containment Systems Experiment” の記載(CSE A6実験)より、時刻0分における無機よう素の気相濃度 $10^5 \mu\text{g}/\text{m}^3$ 及び時刻30分における無機よう素の気相濃度 $1.995 \times 10^4 \mu\text{g}/\text{m}^3$ を上式に代入することで、式3のとおり、無機よう素の自然沈着率 $9.0 \times 10^{-4}$  (1/s) を算出したとしている。

$$\lambda_d = -\frac{1}{30 \times 60 - 0} \log\left(\frac{1.995 \times 10^4}{10^5}\right) \approx 9.0 \times 10^{-4} \quad (\text{式3})$$

この自然沈着率は、BNWL-1244, “Removal of Iodine and Particles from Containment Atmospheres by Spray-Containment Systems Experiment Interim Report” のCSE A6実験による無機よう素の気相濃度の時間変化を表す図に基づくものである。時刻0分～30分の濃度変化は、よう素の浮遊量が多く、格納容器スプレイを考慮していない事故初期の状態を模擬していると考えられる。(第1図参照)

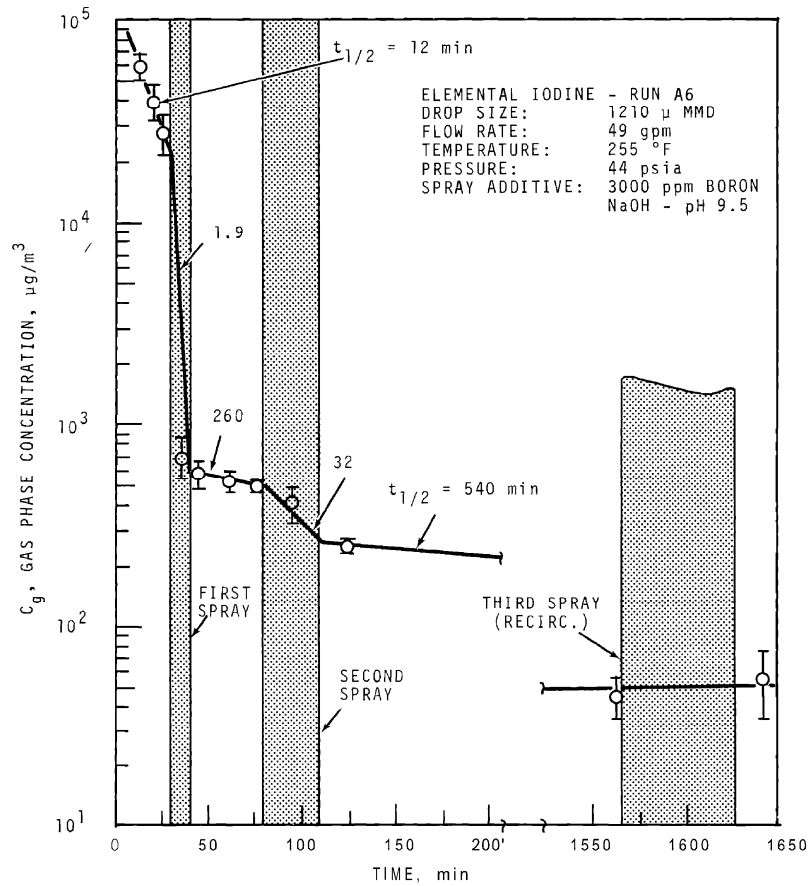


FIGURE 9. Concentration of Elemental Iodine in the Main Room, Run A6

第1図 CSE A6実験による無機よう素の濃度変化図

(2) CSE実験の適用について

CSE実験条件と東海第二発電所の評価条件の比較を第1表に示す。

第1表 CSE実験と東海第二発電所の評価条件の比較

	CSE実験のRun No.			東海第二発電所
	A 6 ※1, ※2	A 5 ※3	A 1 1 ※3	
雰囲気	蒸気+空気	同左	同左	同左
雰囲気圧力 (MPa [gage])	約0.20	約0.22	約0.24	約0.47以下※4
雰囲気温度 (°C)	約120	約120	約120	約200以下※4
格納容器スプレイ	間欠※5	なし	なし	間欠※6

※1 R.K.Hilliard et.al, "Removal of iodine and particles by sprays in the containment systems experiment", Nucl. Technol. Vol 10 pp499-519, 1971

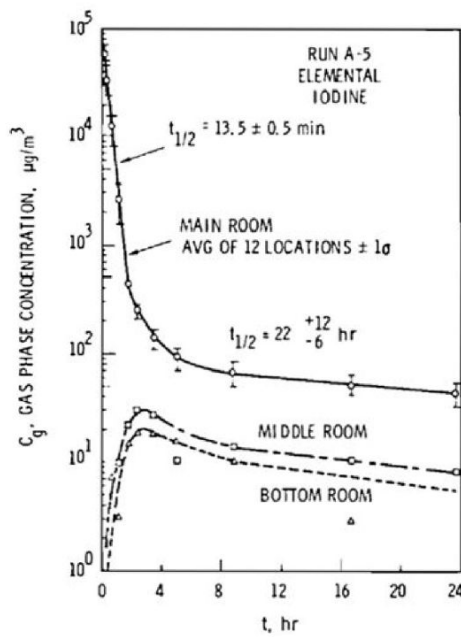
※2 R.K.Hilliard et.al, "Removal of iodine and particles from containment atmospheres by sprays", BNWL-1244

※3 R.K.Hilliard and L.F.Coleman, "Natural transport effects on fission product behavior in the containment systems experiment", BNWL-1457

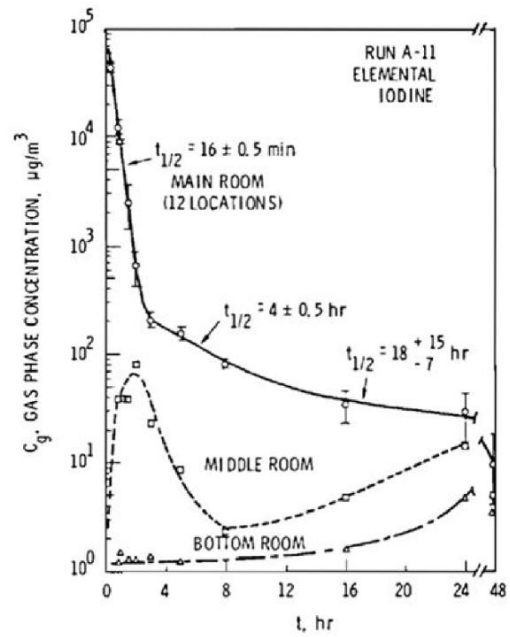
※4 評価事故シーケンスにおける格納容器圧力及び雰囲気温度のMAAP解析結果より記載

- ※5 A6実験はスプレイを伴う実験だが、自然沈着率の算出には1回目のスプレイ実施前における原子炉格納容器内の濃度変化より設定している
- ※6 格納容器スプレイを実施するが、評価上は無機よう素の除去効果に対しては自然沈着のみ考慮し、格納容器スプレイによる除去効果は考慮しない

スプレイを使用していないA 5及びA 1 1における無機よう素の原子炉格納容器内気相部濃度の時間変化を第2図に示す。初期の沈着についてはA6と同様の傾向を示すとともに、初期濃度より数百分の1程度まで低下した後は緩やかとなる傾向が見られる。また、米国SRP6.5.2では、原子炉格納容器内の無機よう素濃度が1/200になるまでは無機よう素の除去が見込まれるとしている。



**FIGURE B-5.**  
Concentration of Elemental Iodine in Gas Space, Run A-5



**FIGURE B-6.**  
Concentration of Elemental Iodine in Gas Space, Run A-11

第2図 C S E A 5及びA 1 1実験における無機よう素の原子炉格納容器内気相部濃度の時間変化

自然沈着率は、評価する体系の体積と内表面積の比である比表面積の影響を受け、比表面積が大きいほど自然沈着率は大きくなると考えられるため、C S E実験における体系と東海第二発電所の比表面積について第2表に示す。表からC S E実験と東海第二発電所の比表面積は同程度となっていることが確認できる。

第2表 C S E実験と東海第二発電所の比表面積の比較

	C S E 実験体系	東海第二発電所
体積 (m <sup>3</sup> )	約600	約5,700
表面積 (m <sup>2</sup> )	約570	約5,900
比表面積 (1/m)	約0.96	約1.04

サプレッション・プールでのスクラビングによる除去効果（無機よう素）について

サプレッション・プールでのスクラビングによる無機よう素の除去効果（以下「DF」という。）として、Standard Review Plan 6.5.5に基づきDF10を設定している。これはStandard Review Plan 6.5.5において、「無機よう素のスクラビングによる除去効果として、Mark - II及びMark - IIIに対してDF10以下、Mark - Iに対してDF5以下を主張する場合は、特に計算を必要とせず容認しても良い」との記載に基づくものであり（抜粋参照）、東海第二発電所はMark - II型原子炉格納容器を採用していることから、サプレッション・プールの沸騰の有無に関わらず、DF10を適用することとしている。

なお、有機よう素についてはガス状の性質であることから、本DFの効果には期待していない。粒子状よう素のDFについては、MAAP解析のスクラビング計算プログラム（SUPRAコード）にて評価している。

「Standard Review Plan 6.5.5」 （抜粋）

- |  |
|--|
| <p>1. <b>Pool Decontamination Factor.</b> The decontamination factor (DF) of the pool is defined as the ratio of the amount of a contaminant entering the pool to the amount leaving. Decontamination factors for each fission product form as functions of time can be calculated by the SPARC code. An applicant may use the SPARC code or other methods to calculate the retention of fission products within the pool, provided that these methods are described in the SAR adequately to permit review. If the time-integrated DF values claimed by the applicant for removal of particulates and elemental iodine are 10 or less for a Mark II or a Mark III containment, or are 5 or less for a Mark I containment, the applicant's values may be accepted without any need to perform calculations. A DF value of one (no retention) should be used for noble gases and for organic iodides. The applicant should provide justification for any DF values greater than those given above.</p> <p>The reviewer has an option to perform an independent confirmatory calculation of the DF. If the SPARC code is used for a confirmatory calculation of fission product decontamination, the review should take care in proper establishment of the input parameters for the calculations.</p> |
|--|

サプレッション・プールでのスクラビングによる  
無機よう素の除去効果に関する他の知見について

サプレッション・プールでのスクラビングによる無機よう素の除去効果に関する他の知見として、S P A R Cコードによる計算結果並びにUKAEA及びPOSEIDONにて行われた実験がある。

なお、選定した事故シーケンスは、原子炉停止機能喪失であり、以下の事故進展を想定している。

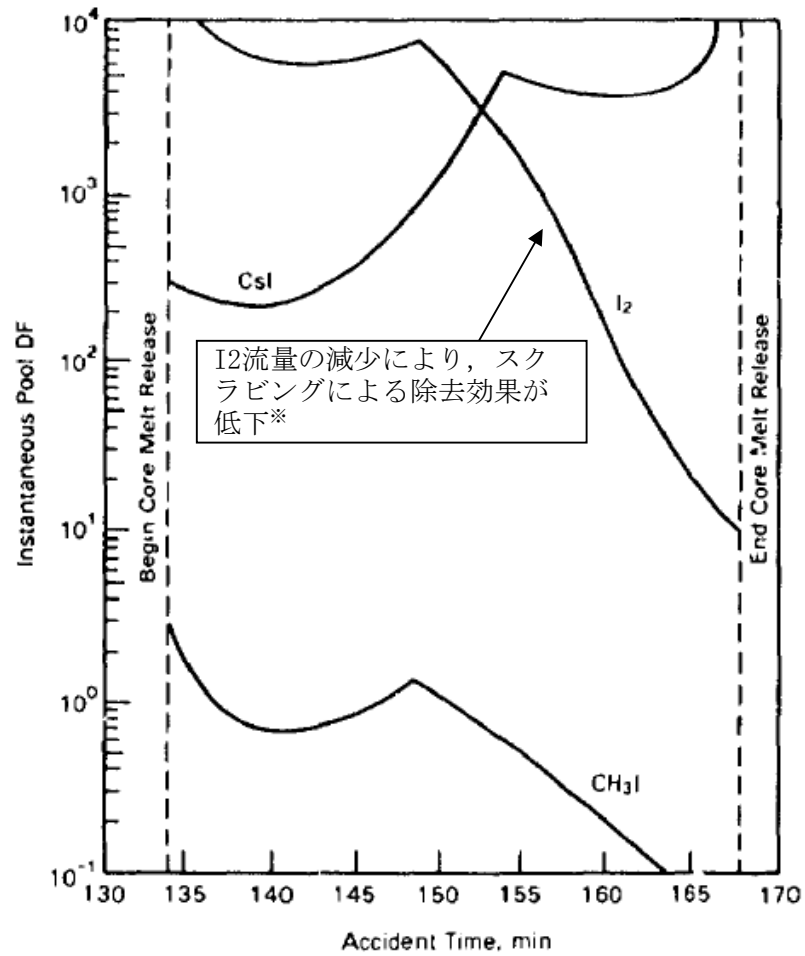
(1) S P A R Cコードによる計算結果

Standard Review Plan 6.5.5の引用文献<sup>※1</sup>において、S P A R Cコードを用いたよう素のスクラビングによる除去効果を計算している。当該文献では、M a r k - I型原子炉格納容器を対象として無機よう素 ( $I_2$ )、粒子状よう素 ( $CsI$ ) 及び有機よう素 ( $CH_3I$ ) に対するスクラビングによる除去効果を計算している。計算結果は第1図のとおりであり、無機よう素に対するDFは最小で10程度である。

なお、選定した事故シーケンスは、原子炉停止機能喪失であり、以下の事故進展を想定している。

- ・ 過渡時において制御棒の挿入不良が発生
- ・ 緊急炉心冷却システムは作動するが、原子炉出力レベルはサプレッション・プールの冷却能力を超過
- ・ 原子炉圧力容器の過圧破損の発生により冷却材が喪失した結果、炉心損傷が発生

※1 P.C.Owczarski and W.K.Winegarder, "Capture of Iodine in Suppression Pools", 19th DOE/NRC Nuclear Air Cleaning Conference.



第1図 SPARC計算結果 (瞬時値DF)

※ 文献中の記載 (抜粋)

“Here the  $I_2$  flow rate is fairly high until 148.5min, then the rate (and incoming  $I_2$  concentration) decreases. These decreases cause the pool scrubbing to become less effective at the iodine concentrations of pool.”

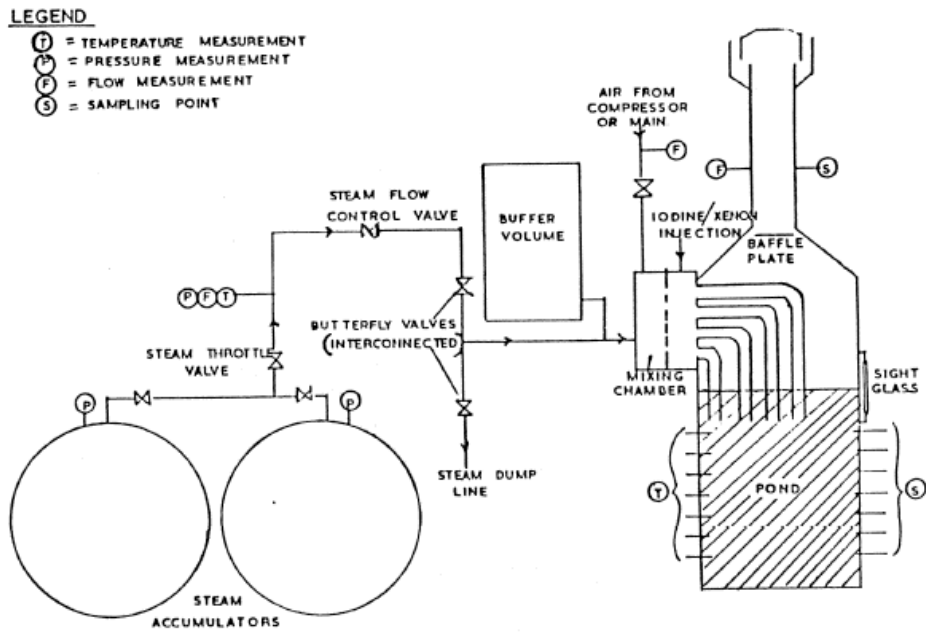
(2) UKAEA及びPOSEIDONにて行われた実験

無機よう素に対するスクラビングによる除去効果について, UKAEA<sup>※2</sup>及びPOSEIDON<sup>※3</sup>において実験が行われている。実験体系を第2図及び第3図, 実験条件及び実験結果を第1表及び第2表に示す<sup>※4</sup>。第2表のとおり, 無機よう素のDFは最小で14である。

※2 イギリスのウィンフリス (重水減速沸騰軽水冷却炉(SGHR)) の蒸気抑制システムにおける核分裂生成物の保持を調べるための実験

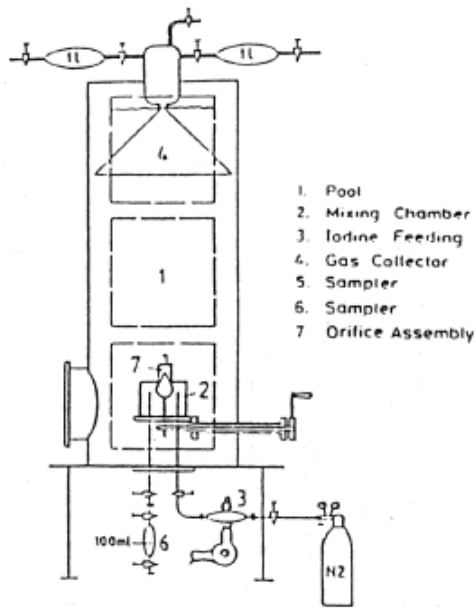
※3 スイスのポール・シェラー研究所で行われた水中へのガス状よう素のスクラビングに関する実験

※4 “State-of-the-art review on fission products aerosol pool scrubbing under severe accident conditions”, 1995



第2図 UKAEA実験体系

NT2 補① 補足-270-4 R0



第3図 POSEIDON実験体系

第1表 実験条件

Program	Aerosol	Aerosol size, $\mu\text{m}$	Carrier fluid	Steam mass fraction	Water temp., $^{\circ}\text{C}$	Pool pressure	Injector
ACE	CsI CsOH MnO	1.7 - 2.7 1.6 - 2.8 1.7 - 2.3	$\text{N}_2$ + steam	0.008 - 0.31	25 83	ambient	sparger
EPRI	CsI $\text{TeO}_2$ Sn	0.2 - 3.0 0.4 - 2.7 2.7	air, $\text{N}_2$ or He + steam	0 - 0.95	- ambient - near saturated	ambient	single orifice
EPSI	CsI CsOH	$\sim 4.5$ (radius)	steam	1	273 (initially)	1.1 MPa 3.1 MPa 6.1 MPa	single orifice
GE	$\text{Eu}_2\text{O}_3$ CsI	0.1 - 40.0 < 0.3	air	0	ambient	ambient	single orifice
JAERI	DOP	0.3 - 10.0	air	0	ambient	ambient	single orifice
LACE - España	CsI	1.7 - 7.2	$\text{N}_2$ + steam	0.07 - 0.85	110	3 bar (abs.)	-single orifice -multior.
SPARTA	CsI	0.7	air + $\text{N}_2$	0	close to saturation	ambient	2 orifices
UKAEA	Cr/Ni	0.06	air + steam	0.25 - 0.96	ambient	ambient	4 orifices (downcomers)
UKAEA	$\text{I}_2$ vapour	-	air and/or steam	0 - 1	ambient	ambient	4 orifices (downcomers)
POSEI- DON	$\text{I}_2$ vapour	-	$\text{N}_2$	0	ambient	ambient	-single orifice - multior.

第2表 実験結果

Experiments	Species tested	DF range
ACE	Cs Mn I DOP	145 - 3000 11 - 260 47 - 1500 6 - 12
EPRI	CsI, $\text{TeO}_2$ Sn	1.4 - 1600 110 - 6800
EPSI	CsI	2100 - 3300
GE	$\text{Eu}_2\text{O}_3$ CsI	68 - 2900 7 - 10
JAERI	DOP	10 - 150
LACE-España	CsI	16 - 3000
SPARTA	CsI	7 *
UKAEA	Ni/Cr $\text{I}_2$	15 - 1680 14 - 240
POSEIDON	$\text{I}_2$	20 - 300 000

\* Only one test performed.

原子炉格納容器外への核分裂生成物の放出割合の設定について

大気への放出量は、炉内蓄積量に原子炉格納容器外への放出割合を乗じることで算出する。（参考1参照）

原子炉格納容器外への放出割合の評価に当たっては、想定事故シナリオ「大破断LOCA+高圧炉心冷却失敗+低圧炉心冷却失敗」（全交流動力電源喪失の重畳を考慮）において原子炉圧力容器が健全な状態で事故収束するため、そのプラント状態を模擬可能なMAAPコードを用いることとするが、以下の考察から、NUREG-1465の知見を用いて一部補正する。MAAP解析結果を第1表、NUREG-1465の知見を用いて一部補正した結果を第2表に示す。

第1表 放出割合の評価結果（MAAP解析）

核種 グループ	原子炉格納容器から原子炉建屋への漏えい割合 <sup>※1</sup>		格納容器圧力逃がし装置への放出割合 <sup>※1</sup>	
	S/Cベント	D/Wベント	S/Cベント	D/Wベント
希ガス類	約 $4.3 \times 10^{-3}$	約 $4.3 \times 10^{-3}$	約 $9.5 \times 10^{-1}$	約 $9.5 \times 10^{-1}$
CsI類	約 $6.2 \times 10^{-5}$	約 $6.2 \times 10^{-5}$	約 $1.0 \times 10^{-6}$	約 $3.9 \times 10^{-3}$
CsOH類	約 $3.1 \times 10^{-5}$	約 $3.2 \times 10^{-5}$	約 $4.0 \times 10^{-7}$	約 $7.5 \times 10^{-3}$
Sb類	約 $7.6 \times 10^{-5}$	約 $7.5 \times 10^{-5}$	約 $2.7 \times 10^{-6}$	約 $1.8 \times 10^{-2}$
TeO <sub>2</sub> 類	約 $4.4 \times 10^{-5}$	約 $4.4 \times 10^{-5}$	約 $3.8 \times 10^{-7}$	約 $9.9 \times 10^{-4}$
SrO類	約 $8.6 \times 10^{-5}$	約 $7.1 \times 10^{-5}$	約 $2.6 \times 10^{-5}$	約 $2.4 \times 10^{-1}$
BaO類	約 $9.1 \times 10^{-5}$	約 $8.3 \times 10^{-5}$	約 $1.5 \times 10^{-5}$	約 $1.4 \times 10^{-1}$
MoO <sub>2</sub> 類	約 $9.1 \times 10^{-5}$	約 $9.0 \times 10^{-5}$	約 $3.5 \times 10^{-6}$	約 $3.0 \times 10^{-2}$
CeO <sub>2</sub> 類	約 $1.6 \times 10^{-5}$	約 $8.3 \times 10^{-6}$	約 $1.1 \times 10^{-5}$	約 $7.1 \times 10^{-2}$
La <sub>2</sub> O <sub>3</sub> 類	約 $1.6 \times 10^{-5}$	約 $8.3 \times 10^{-6}$	約 $1.1 \times 10^{-5}$	約 $7.1 \times 10^{-2}$

※1 小数点第2位を四捨五入

第2表 放出割合の評価結果（中・低揮発性の核種グループに対する補正後）

核種 グループ	原子炉格納容器から原子炉建屋へ の漏えい割合※1		格納容器圧力逃がし装置への 放出割合※1	
	S/Cベント	D/Wベント	S/Cベント	D/Wベント
希ガス類	約 $4.3 \times 10^{-3}$	約 $4.3 \times 10^{-3}$	約 $9.5 \times 10^{-1}$	約 $9.5 \times 10^{-1}$
CsI類	約 $6.2 \times 10^{-5}$	約 $6.2 \times 10^{-5}$	約 $1.0 \times 10^{-6}$	約 $3.9 \times 10^{-3}$
CsOH類	約 $3.1 \times 10^{-5}$	約 $3.2 \times 10^{-5}$	約 $4.0 \times 10^{-7}$	約 $7.5 \times 10^{-3}$
Cs類※2	約 $3.4 \times 10^{-5}$	約 $3.4 \times 10^{-5}$	約 $4.5 \times 10^{-7}$	約 $7.2 \times 10^{-3}$
Sb類	約 $6.7 \times 10^{-6}$	約 $6.8 \times 10^{-6}$	約 $8.9 \times 10^{-8}$	約 $1.4 \times 10^{-3}$
TeO <sub>2</sub> 類	約 $6.7 \times 10^{-6}$	約 $6.8 \times 10^{-6}$	約 $8.9 \times 10^{-8}$	約 $1.4 \times 10^{-3}$
SrO類	約 $2.7 \times 10^{-6}$	約 $2.7 \times 10^{-6}$	約 $3.6 \times 10^{-8}$	約 $5.8 \times 10^{-4}$
BaO類	約 $2.7 \times 10^{-6}$	約 $2.7 \times 10^{-6}$	約 $3.6 \times 10^{-8}$	約 $5.8 \times 10^{-4}$
MoO <sub>2</sub> 類	約 $3.4 \times 10^{-7}$	約 $3.4 \times 10^{-7}$	約 $4.5 \times 10^{-9}$	約 $7.2 \times 10^{-5}$
CeO <sub>2</sub> 類	約 $6.7 \times 10^{-8}$	約 $6.8 \times 10^{-8}$	約 $8.9 \times 10^{-10}$	約 $1.4 \times 10^{-5}$
La <sub>2</sub> O <sub>3</sub> 類	約 $2.7 \times 10^{-8}$	約 $2.7 \times 10^{-8}$	約 $3.6 \times 10^{-10}$	約 $5.8 \times 10^{-6}$

※1 小数点第2位を四捨五入

※2 CsI類及びCsOH類の値から評価（評価式は式1）

① TMI や福島第一原子力発電所事故での観測事実について

第1表によると、高揮発性核種 (CsI, CsOH) の格納容器圧力逃がし装置からの放出割合 (10<sup>-6</sup>~10<sup>-7</sup>オーダー) と比べ、中・低揮発性核種の放出割合の方が大きい (10<sup>-5</sup>オーダー) という結果になっている。

一方、TMI や福島第一原子力発電所事故での観測事実から、事故が発生した場合に最も多く放出される粒子状物質は、よう素やセシウム等の高揮発性の物質であり、中・低揮発性の物質の放出量は高揮発性の物質と比べて少量であることがわかっている。

第3表は、TMI 事故後に評価された放射性核種の場所ごとの存在量であるが、希ガスや高揮発性核種 (セシウムやよう素) が原子炉圧力容器外に炉内蓄積量の半分程度放出される一方で、中・低揮発性核種はほぼ全量が原子炉圧力容器に保持されているという評価となっている。

第3表 TMI 事故後に評価された放射性核種の場所ごとの存在割合※3

核種	低揮発性			中揮発性			高揮発性		
	<sup>144</sup> Ce	<sup>154</sup> Eu	<sup>155</sup> Eu	<sup>90</sup> Sr	<sup>106</sup> Ru	<sup>125</sup> Sb	<sup>137</sup> Cs	<sup>129</sup> I	<sup>85</sup> Kr
原子炉建屋									
原子炉容器	105.4	122.7	109.5	89.7	93.2	117.2	40.1	42	30
原子炉冷却系	-	-	-	1	-	0.2	3	1	-
地階水、気相タンク類	0.01	-	-	2.1	0.5	0.7	47	(47) <sup>†</sup>	54
補助建屋	-	-	-	0.1	-	0.7	5	7	-
合計	105	122	110	93	94	119	95	97	85

† 広範囲のI濃度測定値と多量のデブリ(おもに地下水沈殿物)のため、ここでの保持量は炉心インベントリーを大きく上回る分析結果となってしまふ。したがって、ここに保持されたIのインベントリーはCsと同等であると考えられる。

※3 存在割合=サンプル試料の分析結果/ORIGEN2コード解析結果

出典：「TMI-2号機の調査研究成果(渡会偵祐,井上康,榎田藤夫 日本原子力学会誌 Vol. 32, No. 4 (1990))」

また、第4表は、福島第一原子力発電所事故後に実施された発電所敷地内の土壌中放射性核種のサンプリング結果であるが、最も多く検出されているのは高揮発性核種 (セシウムやよう素) であり、多くの中・低揮発性核種は不検出 (ND) という結果となっている。

第4表 福島第一原子力発電所事故後に検出された土壌中の放射性核種

試料採取場所	【定点①】*1 グランド (西北西約500m)*2		【定点②】*1 野島の森 (西約500m)*2		【定点③】*1 産廃処分場近傍 (南南西約500m)*2		④5.6号機サーベ ィル前 (北約1,000m)*2	⑤固体廃棄物貯 蔵庫12棟近傍 (北約500m)*2	⑥南南西 約500m*2	⑦南南西 約750m*2	⑧南南西 約1,000m*2		
	3/21	3/25	3/28	3/25	3/28	3/25	3/28	3/25	3/22	3/22	3/22		
試料採取日	3/21	3/25	3/28	3/25	3/28	3/25	3/28	3/25	3/22	3/22	3/22		
分析機関	JAEA	JAEA	日本分析 センター*3	JAEA	日本分析 センター*3	JAEA	日本分析 センター*3	JAEA	JAEA	JAEA	JAEA		
測定日	3/24	3/28	3/30	3/28	3/30	3/28	3/30	3/28	3/25	3/25	3/24		
核種	I-131(約8日)	5.8E+06	5.7E+06	3.8E+06	3.0E+06	3.9E+04	1.2E+07	2.6E+06	4.6E+05	3.1E+06	7.9E+05	2.2E+06	5.4E+06
I-132(約2時間)	*4	*4	2.3E+05	*4	1.3E+02	*4	1.5E+05	*4	*4	*4	*4	*4	*4
Cs-134(約2年)	3.4E+05	4.9E+05	5.3E+05	7.7E+04	3.2E+02	3.5E+06	9.7E+05	6.8E+04	9.5E+05	8.7E+03	1.7E+04	1.6E+05	
Cs-136(約13日)	7.2E+04	6.1E+04	3.3E+04	1.0E+04	2.8E+01	4.6E+05	6.9E+04	8.6E+03	1.1E+05	1.9E+03	2.2E+03	2.5E+04	
Cs-137(約30年)	3.4E+05	4.8E+05	5.1E+05	7.6E+04	3.2E+02	3.5E+06	9.3E+05	6.7E+04	1.0E+06	2.0E+04	1.8E+04	1.6E+05	
Te-129m(約34日)	2.5E+05	2.9E+05	8.5E+05	5.3E+04	ND	2.7E+06	6.0E+05	2.8E+04	8.9E+05	9.5E+03	1.9E+04	1.7E+05	
Te-132(約3日)	6.1E+05	3.4E+05	3.0E+05	6.5E+04	1.4E+02	3.1E+06	2.0E+05	3.2E+04	1.9E+06	2.1E+04	3.9E+04	3.8E+05	
Ba-140(約13日)	1.3E+04	1.5E+04	ND	2.5E+03	ND	ND	ND	ND	8.0E+04	ND	ND	ND	
Nb-95(約35日)	1.7E+03	2.4E+03	ND	ND	ND	5.3E+03	ND	ND	8.1E+03	ND	ND	7.9E+02	
Ru-106(約37日)	5.3E+04	ND	ND	6.4E+03	ND	2.7E+05	ND	ND	6.8E+04	1.9E+03	ND	3.2E+04	
Mo-99(約66時間)	2.1E+04	ND	ND	ND	ND	6.6E+04	ND	ND	ND	ND	ND	ND	
Tc-99m(約6時間)	2.3E+04	2.0E+04	ND	ND	ND	4.5E+04	ND	1.8E+03	2.3E+04	ND	ND	8.3E+03	
La-140(約2日)	3.3E+04	3.7E+04	ND	2.3E+03	ND	9.7E+04	ND	2.5E+03	2.1E+05	4.2E+02	6.2E+02	7.8E+03	
Be-7(約53日)	ND	ND	ND	ND	ND	ND	ND	ND	3.2E+04	ND	ND	ND	
Ag-110m(約250日)	1.1E+03	2.6E+03	ND	ND	ND	ND	ND	1.7E+02	1.8E+04	ND	ND	ND	

出典：東京電力株式会社 HP (<http://www.tepco.co.jp/cc/press/11040609-j.html>)

## ②各元素の放出挙動について

燃料からの核分裂生成物の放出及び移行挙動に関する研究結果より、各元素の放出挙動は以下のように整理されており<sup>※4</sup>、高揮発性核種が高温でほぼ全量放出されるのに対し、中・低揮発性核種は雰囲気条件に大きく左右される。

希ガス：高温にてほぼ全量放出される。

I, Cs：高温にてほぼ全量放出される。放出速度は希ガスと同等。

Sb, Te：被覆管と反応した後、被覆管の酸化に伴い放出される。

Sr, Mo, Ru, Rh, Ba：雰囲気条件（酸化条件or還元条件）に大きな影響を受ける。

Ce, Np, Pu, Y, Zr, Nb：高温状態でも放出速度は低い。

※4 「化学形に着目した破損燃料からの核分裂生成物及びアクチノイドの放出挙動評価のための研究（JAEA-Review 2013-034, 2013年12月）」

## ③補正について

①及び②より、第1表の中・低揮発性核種の放出割合が高揮発性核種よりも大きいという結果は実態に即しておらず、これは、MAAP解析において、中・低揮発性核種の放出割合が過度に大きく評価されたためと考えられ、要因としては、熔融燃料が再冠水し熔融燃料の外周部が固化した後も、燃料デブリ表面からの放射性物質の放出評価において熔融燃料の平均温度を参照して放出量を評価していることや、熔融燃料上部の水によるスクラビング効果を考慮していないことが挙げられる。なお、MAAPコードの開発元であるEPRIからも、以下の報告がなされている。

- ・炉心が再冠水した場合の低揮発性核種（Ru及びMo）の放出について、低温の熔融燃料表面付近ではなく、熔融燃料の平均温度を基に放出速度を算出しているため、MAAP解析が保守的な結果を与える場合がある。
- ・Moの放出量評価について、NUREG-1465よりもMAAPの方が放出量を多く評価する。

したがって、TMI事故や福島第一原子力発電所事故の実態により見合った、環境中への放出量を評価するため、中・低揮発性核種の放出割合を補正することとした。補正するに当たり、TMI事故を契機として行われたシビアアクシデントに係るソースターム研究を踏まえ、被覆管材であるジルコニウムの酸化量の違い等により核分裂生成物の放出量や放出タイミングに相違が生じることを考慮し、BWR及びPWRそれぞれに対して放出割合を設定する等、より現実的なソースタームの設定を目的として制定されたNUREG-1465の知見を利用する。事象発生後、炉心損傷が開始し、原子炉圧力容器が破損するまでのMAAP解析とNUREG-1465の想定と比較は第5表のとおりであり、想定事故シーケンスでは重大事故等対処設備による原子炉注水により原子炉圧力容器破損には至らないが、NUREG-1465の想定とMAAP解析の事象進展に大きな差はなく、本評価においてNUREG-1465の知見は利用可能と判断している。

第5表 MAA P事象進展とNUREG-1465の想定と比較

	燃料被覆管損傷が開始し、ギャップから放射性物質が放出される期間	炉心溶融が開始し、溶融燃料が原子炉压力容器破損するまでの期間
MAAP	約4分～約27分 <sup>※5</sup>	約27分～約3.3時間 <sup>※6</sup>
NUREG-1465	～30分	30分～2時間

※5 炉心損傷開始（燃料被覆管1000 K）～燃料溶融開始（燃料温度2500 K）

※6 原子炉注水をしない場合における原子炉压力容器破損時間（本評価においては原子炉注水により原子炉压力容器破損には至らない）

以下、各核種グループにおける放出割合の具体的な評価手法を示す。

(1) 希ガスグループ、CsIグループ、CsOHグループ

希ガスを含めた高揮発性の核種グループについては、MAAP解析結果から得られた放出割合を採用する。

なお、Csの放出割合については、CsIグループ及びCsOHグループの放出割合、I元素とCs元素の原子炉停止直後の炉内蓄積重量より、式1を用いて評価する。（式1の導出過程は、参考2参照）

$$F_{Cs}(T) = F_{CsOH}(T) + \frac{M_I}{M_{Cs}} \times \frac{W_{Cs}}{W_I} \times (F_{CsI}(T) - F_{CsOH}(T)) \quad (式1)$$

- $F_{Cs}(T)$  : 時刻TにおけるCsの放出割合
- $F_{CsOH}(T)$  : 時刻TにおけるCsOHグループの放出割合
- $F_{CsI}(T)$  : 時刻TにおけるCsIグループの放出割合
- $M_I$  : 停止直後のIの炉内蓄積重量
- $M_{Cs}$  : 停止直後のCsの炉内蓄積重量
- $W_I$  : Iの分子量
- $W_{Cs}$  : Csの分子量

(2) 中・低揮発性の核種グループ

中・低揮発性の核種グループについては、MAAP解析から得られた放出割合は採用せず、MAAP解析の結果から得られたCsの放出割合、希ガスグループの放出割合及びNUREG-1465の知見を利用して放出割合を評価する。

ここで、中・低揮発性の核種における放出割合の経時的な振る舞いは、格納容器圧力逃がし装置への放出については希ガス、原子炉建屋への漏えいについてはCsと同一になるものとし<sup>※7</sup>、事象発生から168時間経過時点におけるCsの放出割合に対する当該核種グループの放出割合の比率はNUREG-1465で得られた比率に等しいとして、式2及び式3に基づき評価する。また、第6表に、NUREG-1465で評価された格納容器内への放出割合を示す。

【格納容器圧力逃がし装置への放出】

$$F_i(T) = F_{Cs}(168h) \times \frac{\gamma_i}{\gamma_{Cs}} \times \frac{F_{NG}(T)}{F_{NG}(168h)} \quad (\text{式2})$$

【原子炉格納容器から原子炉建屋への漏えい】

$$F_i(T) = F_{Cs}(T) \times \frac{\gamma_i}{\gamma_{Cs}} \quad (\text{式3})$$

$F_i(T)$  : 時刻Tにおけるi番目のMAAP核種グループの放出割合

$F_{NG}(T)$  : 時刻Tにおける希ガスグループの放出割合

$F_{Cs}(T)$  : 時刻TにおけるCsの放出割合

$\gamma_i$  : NUREG-1465におけるi番目のMAAP核種グループに相当する核種グループの原子炉格納容器への放出割合

$\gamma_{Cs}$  : NUREG-1465におけるCsに相当する核種グループの原子炉格納容器への放出割合

※7 格納容器内に放出された中・低揮発性の核種グループは、粒子状として振る舞い、沈着やドライウェルスプレイ等による除去効果を受けると考えられる。したがって、中・低揮発性の核種グループの原子炉建屋への漏えいについては、沈着等による除去効果を受けるCsの振る舞いに近いと考えられる。

また、中・低揮発性の核種グループは、Csに比べて原子炉格納容器内に放出される量が少なく、壁面等への付着量も少ない。したがって、格納容器圧力逃がし装置への放出については、格納容器ベントに伴い大気に放出された後も、壁面等に付着した放射性物質の再浮遊に伴い大気への放出が生じるCsではなく、原子炉格納容器気相部に浮遊し、壁面等からの追加放出がない希ガスの放出割合の振る舞いに近いと考えられる。

以上のことから、中・低揮発性の核種グループの「各時刻における放出割合」は、「各時刻における希ガスグループ又はCsの放出割合」に比例するものとする。

第6表 NUREG-1465での原子炉格納容器内への放出割合

核種グループ	原子炉格納容器への放出割合※8
Cs	0.25
TeO <sub>2</sub> , Sb	0.05
SrO, BaO	0.02
MoO <sub>2</sub>	0.0025
CeO <sub>2</sub>	0.0005
La <sub>2</sub> O <sub>3</sub>	0.0002

※8 NUREG-1465のTable3.12「Gap Release」及び「Early In-Vessel」の値の和（NUREG-1465では、「Gap Release」, 「Early In-Vessel」, 「Ex-Vessel」及び「Late In-Vessel」の各事象進展フェーズに対して原子炉格納容器内への放出割合を与えている。本評価事象は原子炉圧力容器が健全な状態で事故収束するため、原子炉圧力容器損傷前までの炉心からの放出を想定する「Gap Release」及び「Early In-Vessel」の値を用いる。）

参考1 大気への放出量評価過程について

大気への放出量は、「核種ごとに評価した炉内蓄積量」に「MAAPにより評価した核種グループごとの格納容器外への放出割合」を乗じることで算出する。本評価において考慮したMAAPにおける核種グループと各グループの核種を第7表に示す。なお、MAAPにおける核種グループとNUREG-1465における核種グループの比較は第1図のとおりであり、分類数に違いはあるが、取り扱っている核種は同等である。

第7表 MAAPにおける核種グループと各グループの核種

核種グループ	核種 <sup>※1</sup>
希ガス類	Kr, Xe
CsI類	I
CsOH類	Cs, Rb
Sb類	Sb
TeO <sub>2</sub> 類	Te
SrO類	Sr
BaO類	Ba
MoO <sub>2</sub> 類	Mo, Co, Tc, Ru, Rh
CeO <sub>2</sub> 類	Ce, Np, Pu
La <sub>2</sub> O <sub>3</sub> 類	La, Y, Zr, Nb, Pr, Nd, Am, Cm

※1 本評価において「Te<sub>2</sub>類」及び「UO<sub>2</sub>類」の核種グループに対するMAAP解析結果がゼロのため、対象外とした。

[FPの核種グループ]

(NUREG-1465)

(MAAP)

グループ	核種	グループ	核種
1	希ガス/Xe, Kr	1	希ガス
2	ハロゲン/I, Br	2	CsI
3	アルカリ金属/Cs, Rb	3	TeO <sub>2</sub>
4	テルルグループ/ Te, Sb, Se	4	SrO
5	バリウム・ストロンチウム/ Ba, Sr	5	MoO <sub>2</sub>
6	貴金属/ Ru, Rh, Pd, Mo, Tc, Co	6	CsOH
7	ランタノイド/ La, Zr, Nd, Eu, Nb, Pm, Pr, Sm, Y, Cm, Am	7	BaO
8	セリウムグループ/ Ce, Pu, Np	8	La <sub>2</sub> O <sub>3</sub>
		9	CeO <sub>2</sub>
		10	Sb
		11	Te <sub>2</sub>
		12	UO <sub>2</sub>

第1図 MAAP及びNUREG-1465における核種グループの比較（「重大事故等対策の有効性評価に係るシビアアクシデント解析コードについて」の「第5部 MAAP」（抜粋））

参考2 Csの放出割合の評価式について

Csの放出割合については、Cs Iグループ及びCs OHグループの放出割合、I及びCsの原子炉停止直後の炉内蓄積重量並びにI及びCsの分子量を用いて、下記の式1により評価している。ここでは、式1の導出過程について示す。

$$F_{Cs}(T) = F_{CsOH}(T) + \frac{M_I}{M_{Cs}} \times \frac{W_{Cs}}{W_I} \times (F_{CsI}(T) - F_{CsOH}(T)) \quad (式1)$$

$F_{Cs}(T)$  : 時刻TにおけるCsの放出割合

$F_{CsOH}(T)$  : 時刻TにおけるCs OHグループの放出割合

$F_{CsI}(T)$  : 時刻TにおけるCs Iグループの放出割合

$M_I$  : 停止直後のIの炉内蓄積重量

$M_{Cs}$  : 停止直後のCsの炉内蓄積重量

$W_I$  : Iの分子量

$W_{Cs}$  : Csの分子量

1. Cs Iに含まれるCs

Iは全てCs Iとして存在しているため、Cs I中に含まれるCsは、Cs I中に含まれるIの重量にI及びCsの分子量の比を乗ずることで算出する。

$$M_{Cs(CsI)}(T) = M_I \times \frac{W_{Cs}}{W_I} \times F_{CsI}(T)$$

$M_{Cs(CsI)}(T)$  : 時刻TにおけるCs I中に含まれるCsの放出量

2. Cs OHに含まれるCs

CsはCs I又はCs OHのいずれかの形態で存在しているため、Cs OH中に含まれるCsは、1. で算出したCs I中に含まれるCsを差引くことで算出する。

$$M_{Cs(CsOH)}(T) = (M_{Cs} - M_I \times \frac{W_{Cs}}{W_I}) \times F_{CsOH}(T)$$

$M_{Cs(CsOH)}(T)$  : 時刻TにおけるCs OH中に含まれるCsの放出量

3. Cs の放出割合

1. 及び2. で得られたCs の放出量をCs の炉内蓄積重量で除することで、Cs の放出割合を算出する。

$$\begin{aligned}
 F_{Cs}(T) &= \frac{M_{Cs(CsI)}(T) + M_{Cs(CsOH)}(T)}{M_{Cs}} \\
 &= \frac{M_I \times \frac{W_{Cs}}{W_I} \times F_{CsI}(T) + (M_{Cs} - M_{Cs(CsI)}) \times F_{CsOH}(T)}{M_{Cs}} \\
 &= \frac{M_I \times \frac{W_{Cs}}{W_I} \times F_{CsI}(T) + (M_{Cs} - M_I \times \frac{W_{Cs}}{W_I}) \times F_{CsOH}(T)}{M_{Cs}} \\
 &= F_{CsOH}(T) + \frac{M_I}{M_{Cs}} \times \frac{W_{Cs}}{W_I} \times (F_{CsI}(T) - F_{CsOH}(T))
 \end{aligned}$$

参考3 M A A P解析結果及びN U R E G - 1465の放出割合について

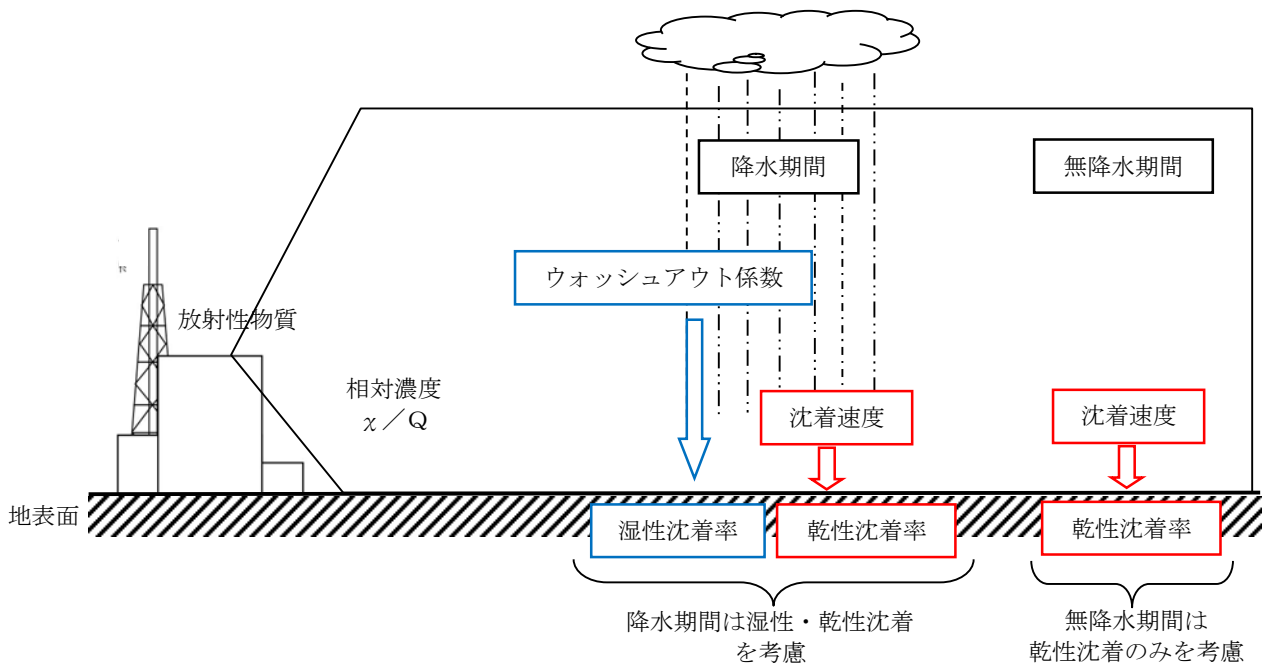
被ばく評価への寄与が大きい核種に対するM A A P解析結果及びN U R E G - 1465の放出割合を第8表に示す。第8表のとおり，C s及びIについてはM A A P解析結果の方が大きい。また，希ガスについては，N U R E G - 1465の放出割合の方が大きい，これは東海第二の想定事故シナリオでは，原子炉注水により炉心が再冠水することで炉心内に健全な状態の燃料が一部存在するためと考える。

第8表 M A A P解析結果及びN U R E G - 1465の放出割合

	M A A P	N U R E G - 1465
希ガス	約0.95	1
I	約0.78	0.30
C s	約0.37	0.25

地表面への沈着速度の設定について

地表面への放射性物質の沈着は、第1図に示すように乾性沈着と湿性沈着によって発生する。乾性沈着は地上近くの放射性物質が、地面状態等によって決まる沈着割合（沈着速度）に応じて地表面に沈着する現象であり、放射性物質の地表面濃度に沈着速度をかけることで計算される。湿性沈着は降水によって放射性物質が雨水に取り込まれ、地表面に落下・沈着する現象であり、大気中の放射性物質の濃度分布と降水強度及び沈着の割合を示すウォッシュアウト係数によって計算される。



第1図 地表面沈着のイメージ

現場作業の線量影響評価においては、地表面の放射性物質の沈着速度として、乾性沈着及び降雨による湿性沈着を考慮した地表面沈着速度として0.5 cm/sを用いる。

以下では、無機よう素の湿性沈着を考慮した地表面沈着速度として0.5 cm/s<sup>※1</sup>を用いることの適用性について確認した。

※1 有機よう素の地表面への沈着速度としては $1.7 \times 10^{-3}$  cm/s

(1) 評価手法

湿性沈着を考慮した地表面沈着速度（0.5 cm/s）の適用性は、乾性沈着率と湿性沈着率を合計した沈着率の累積出現頻度97%値を求め、乾性沈着率の累積出現頻度97%値との比を求める。その比と乾性沈着速度（0.3 cm/s、補足8参照）の積が0.5 cm/sを超えていないことを確認する。乾性沈着率及び湿性沈着率は以下のように定義される。

(a) 乾性沈着率

乾性沈着率は、「日本原子力学会標準 原子力発電所の確率論的安全評価に関する実施基準（レベル3PSA編）：2008」（社団法人 日本原子力学会）（以下「学会標準」という。）解説4.7を参考

に評価した。学会標準解説 4.7 では、使用する相対濃度は地表面高さ付近としているが、ここでは「原子力発電所中央制御室の居住性に係る被ばく評価手法について（内規）」【解説 5.3】(1) に従い、放出経路ごとの相対濃度を用いて評価した。

$$(\chi/Q)_D(x,y,z)_i = V_d \cdot \chi/Q(x,y,z)_i \quad \dots \dots \textcircled{1}$$

- $(\chi/Q)_D(x,y,z)_i$  : 時刻 i での乾性沈着率 [1/m<sup>2</sup>]
- $\chi/Q(x,y,z)_i$  : 時刻 i での相対濃度 [s/m<sup>3</sup>]
- $V_d$  : 沈着速度 [m/s] (0.003 NUREG/CR-4551 Vol.2 より)

(b) 湿性沈着率

降雨時には、評価点上空の放射性核種の地表への沈着は、降雨による影響を受ける。湿性沈着率  $(\chi/Q)_w(x,y)_i$  は学会標準解説 4.11 より以下のように表される。

$$(\chi/Q)_w(x,y)_i = \Lambda \cdot \int_0^{\infty} \chi/Q(x,y,z)_i dz = \chi/Q(x,y,0)_i \Lambda_i \sqrt{\frac{\pi}{2}} \Sigma_{zi} \exp\left[-\frac{h^2}{2\Sigma_{zi}}\right] \dots \dots \textcircled{2}$$

- $(\chi/Q)_w(x,y)_i$  : 時刻 i での湿性沈着率 [1/m<sup>2</sup>]
- $\chi/Q(x,y,0)_i$  : 時刻 i での地表面高さでの相対濃度 [s/m<sup>3</sup>]
- $\Lambda_i$  : 時刻 i でのウォッシュアウト係数 [1/s]  
(=  $9.5 \times 10^{-5} \times Pr_i^{0.8}$  学会標準より)
- $Pr_i$  : 時刻 i での降水強度 [mm/h]
- $\Sigma_{zi}$  : 時刻 i での建屋影響を考慮した放射性雲の鉛直方向の拡散幅 [m]
- $h$  : 放出高さ [m]

乾性沈着率と湿性沈着率を合計した沈着率の累積出現頻度 97 % 値と、乾性沈着率の累積出現頻度 97 % 値の比は以下で定義される。

乾性沈着率と湿性沈着率を合計した沈着率の累積出現頻度 97 % 値 (①+②)

$$\frac{\text{乾性沈着率の累積出現頻度 97 \% 値 (①)}}{\left( V_d \cdot \chi/Q(x,y,z)_i + \chi/Q(x,y,0)_i \Lambda_i \sqrt{\frac{\pi}{2}} \Sigma_{zi} \exp\left[-\frac{h^2}{2\Sigma_{zi}}\right] \right)_{97\%}} \dots \dots \textcircled{3}$$

## (2) 地表面沈着率の累積出現頻度 97 %値の求め方

地表面沈着率の累積出現頻度は、気象指針に記載されている  $\chi/Q$  の累積出現頻度 97 %値の求め方<sup>※2</sup>に基づいて計算した。具体的には以下の手順で計算を行った（第2図参照）。

- (a) 各時刻における気象条件から、式①及び式②を用いて  $\chi/Q$ 、乾性沈着率、湿性沈着率を1時間ごとに算出する。なお、評価対象方位以外に風が吹いた時刻については、評価対象方位における  $\chi/Q$  がゼロとなるため、地表面沈着率（乾性沈着率+湿性沈着率）もゼロとなる。

第2図の例は、評価対象方位をSWとした場合であり、 $\chi/Q$ による乾性沈着率及び降水による湿性沈着率から地表面沈着率を算出する。評価対象方位SW以外の方位に風が吹いた時刻については、地表面沈着率はゼロとなる。

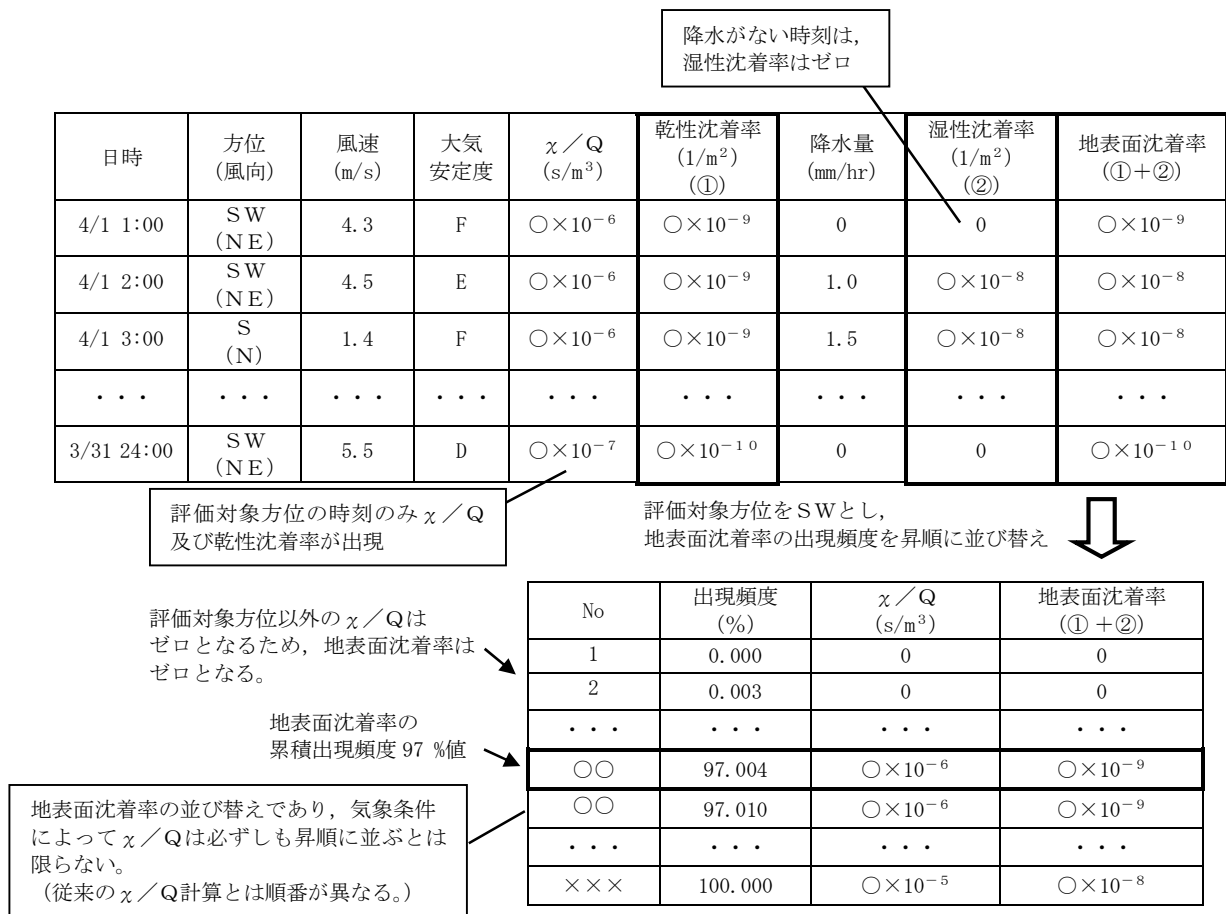
- (b) 上記(1)で求めた1時間ごとの地表面沈着率を値の大きさ順に並びかえ、小さい方から数えて累積出現頻度が97%値を超えたところの沈着率を、地表面沈着率の97%値とする（地表面沈着率の累積出現頻度であるため、 $\chi/Q$ の累積出現頻度と異なる）。

## ※2（気象指針解説抜粋）

## VI. 想定事故時等の大気拡散の解析方法

## 1. 線量計算に用いる相対濃度

- (2) 着目地点の相対濃度は、毎時刻の相対濃度を年間について小さい方から累積した場合、その累積出現頻度が97%に当たる相対濃度とする。


 地表面沈着率の並び替えであり、気象条件  
によって  $\chi/Q$  は必ずしも昇順に並ぶとは  
限らない。  
(従来の  $\chi/Q$  計算とは順番が異なる。)
 

第 2 図 地表面沈着率の累積出現頻度 97 % 値の求め方  
(評価対象方位が SW の場合)

(3) 評価結果

各放出点の地表面沈着率の評価結果を第 1 表、地表面沈着率の累積出現頻度 97 % 値付近の値を第 2 表～第 4 表に示す。

気象指針では、大気拡散評価においてめったに遭遇しないと思われる厳しい気象条件として累積出現頻度 97 % 値を採用<sup>※3</sup>している。このことから、地表面沈着率の評価においても同様に、実際の降雨を考慮してめったに遭遇しないと思われる気象条件として累積出現頻度 97 % 値を評価した。その結果、各地表面沈着率（乾性+湿性）は乾性沈着率の約 1.22 倍～1.34 倍程度となった。なお、風速、風向、大気安定度、降雨状況等様々な条件から計算を行うため、厳しい気象条件として選定される地表面沈着率の累積出現頻度 97 % 値は、必ずしも降雨があるとは限らない。

以上より、無機よう素の湿性沈着を考慮した沈着速度として、乾性沈着速度 (0.3 cm/s) の 1.34 倍 (約 0.4 cm/s) から保守的に 0.5 cm/s と設定することは適切であると考えられる。また、有機よう素の湿性沈着を考慮した沈着速度は、NRPB-B322 レポートから乾性沈着速度  $10^{-3}$  (cm/s) を引用 (補足 7 参照) し、乾性沈着速度 ( $10^{-3}$  cm/s) に対して上記と同じ倍率 (=0.5 / 0.3) から  $1.7 \times 10^{-3}$  cm/s を採用した。

なお、中央制御室の居住性評価及び緊急時対策所の居住性評価においては、更に保守性を持た

せ、沈着速度として 1.2 cm/s を採用している。

※3 (気象指針解説抜粋)

I. 指針作成の考え方

想定事故時における安全解析は、想定事故期間中の線量を評価するものであるため、この場合には、想定事故が任意の時刻に起こること及び実効的な放出継続時間が短いことを考慮して、平均的な気象条件よりもむしろ出現頻度からみてめったに遭遇しないと思われる厳しい気象条件を用いる必要がある。このため、指針では、気象観測資料を基に出現確率的観点から想定事故期間中の相対濃度を解析し、その出現頻度が極めて小さいものを選ぶことによって、放射性物質の濃度が厳しい気象条件に相当するものとなるように考慮することとした。

VI. 想定事故時の大気拡散の解析方法

1. 相対濃度

指針では、想定事故時においてめったに遭遇しない気象条件下の濃度を導くため、相対濃度の出現確率は過去の経験に照らして 97 % を採用して解析することとした。

第 1 表 沈着率評価結果

放出点	相対濃度 (s/m <sup>3</sup> )	乾性沈着率 (①) (1/m <sup>2</sup> )	地表面沈着率 (①+②) (1/m <sup>2</sup> )	③比 ((①+②) /①)	湿性沈着を考慮 した沈着速度 (cm/s)
原子炉建屋	約 8.3×10 <sup>-4</sup>	約 2.5×10 <sup>-6</sup>	約 3.0×10 <sup>-6</sup>	約 1.22	約 0.36
原子炉 建屋屋上	約 4.2×10 <sup>-4</sup>	約 1.2×10 <sup>-6</sup>	約 1.5×10 <sup>-6</sup>	約 1.22	約 0.36
排気筒	約 3.0×10 <sup>-6</sup>	約 8.9×10 <sup>-9</sup>	約 1.2×10 <sup>-8</sup>	約 1.34	約 0.40

第2表 東海第二発電所における地表面沈着率（放出点：原子炉建屋）

No	方位 <sup>※4</sup> (風向)	降水量 (mm/hr)	$\chi/Q$ (s/m <sup>3</sup> )	地表面沈着率 (1/m <sup>2</sup> ) (①+②)	乾性沈着率の累積出現 頻度 97 %値との比率 (③)	累積出現頻度 (%)
...	...	...	...	...	...	...
8497	SW (NE)	14.0	約 6.4×10 <sup>-5</sup>	約 2.9×10 <sup>-6</sup>	約 1.22	96.990
<b>8498</b>	<b>SW</b> <b>(NE)</b>	<b>5.0</b>	<b>約 1.4×10<sup>-4</sup></b>	<b>約 3.0×10<sup>-6</sup></b>	<b>約 1.22</b>	<b>97.001</b>
8499	SW (NE)	3.0	約 2.0×10 <sup>-4</sup>	約 3.0×10 <sup>-6</sup>	約 1.22	97.013
...	...	...	...	...	...	...

※4 評価対象方位（E, ESE, SE, SSE, S, SSW, SW, WSW, W）

第3表 東海第二発電所における地表面沈着率（放出点：原子炉建屋屋上）

No	方位 <sup>※5</sup> (風向)	降水量 (mm/hr)	$\chi/Q$ (s/m <sup>3</sup> )	地表面沈着率 (1/m <sup>2</sup> ) (①+②)	乾性沈着率の累積出現 頻度 97 %値との比率 (③)	累積出現頻度 (%)
...	...	...	...	...	...	...
8497	SW (NE)	14.0	約 3.2×10 <sup>-5</sup>	約 1.5×10 <sup>-6</sup>	約 1.22	96.990
<b>8498</b>	<b>SW</b> <b>(NE)</b>	<b>5.0</b>	<b>約 7.0×10<sup>-5</sup></b>	<b>約 1.5×10<sup>-6</sup></b>	<b>約 1.22</b>	<b>97.001</b>
8499	SW (NE)	3.0	約 1.0×10 <sup>-4</sup>	約 1.5×10 <sup>-6</sup>	約 1.22	97.013
...	...	...	...	...	...	...

※5 評価対象方位（E, ESE, SE, SSE, S, SSW, SW, WSW, W）

第4表 東海第二発電所における地表面沈着率（放出点：排気筒）

No	方位 <sup>※6</sup> (風向)	降水量 (mm/hr)	$\chi/Q$ (s/m <sup>3</sup> )	地表面沈着率 (1/m <sup>2</sup> ) (①+②)	乾性沈着率の累積出現 頻度 97 %値との比率 (③)	累積出現頻度 (%)
...	...	...	...	...	...	...
8497	SW (NE)	0.5	約 7.1×10 <sup>-7</sup>	約 1.2×10 <sup>-8</sup>	約 1.33	96.983
<b>8498</b>	<b>SW</b> <b>(NE)</b>	<b>0</b>	<b>約 4.0×10<sup>-6</sup></b>	<b>約 1.2×10<sup>-8</sup></b>	<b>約 1.34</b>	<b>97.006</b>
8499	SW (NE)	0	約 4.0×10 <sup>-6</sup>	約 1.2×10 <sup>-8</sup>	約 1.34	97.018
...	...	...	...	...	...	...

※6 評価対象方位（SW）

(4) 降雨時における被ばく低減について

事故発生後は、原子炉建屋を取り囲むようにモニタリング・ポスト又は可搬型モニタリング・ポストを設置し、敷地内の放射線環境状況を監視するとともに、作業の際は個人線量計を着用し、作業員の被ばく線量を管理することとしている。

降雨時においては、屋外の移動又は作業をする場合には、現場作業員はアノラック、ゴム手袋及び長靴を着用することにより、体表面の汚染を防止する。

また、実際には、事故時の降雨や風向といった気象条件によって、敷地内の放射性物質の沈着の濃淡ができると考えられることから、モニタリング・ポスト等の測定値より著しい線量率の上昇がある方位や作業時及び移動時に携行するサーベイメータ等により高線量となる場所を把握し、著しく線量率が高くなると想定されるルート等を避けて移動することやルート上の高線量物の移動などの運用により、被ばく低減を図ることが可能である。

有機よう素の乾性沈着速度について

原子炉建屋から放出されるよう素のうち、無機よう素はエアロゾルと同じ沈着速度を用いる。有機よう素についてはエアロゾルと別に設定した。以下にその根拠を示す。

## (1) 英国放射線防護庁 (NRPB) による報告

英国放射線防護庁 大気拡散委員会による年次レポート (NRPB-R322<sup>※1</sup>) に沈着速度に関する報告がなされている。本レポートでは、有機よう素について、植物に対する沈着速度に関する知見が整理されており、以下のとおり報告されている。

- ・植物に対する沈着速度の “best judgement” として  $10^{-5}$  m/s ( $10^{-3}$  cm/s) を推奨

## (2) 日本原子力学会による報告

日本原子力学会標準レベル 3PSA 解説 4.8 に沈着速度に関する以下の報告がなされている。

- ・ヨウ化メチルは非反応性の化合物であり、沈着速度が小さく、実験で  $10^{-4}$  cm/s $\sim$  $10^{-2}$  cm/s の範囲である。
- ・ヨウ化メチルの沈着は、公衆のリスクに対し僅かな寄与をするだけであり、事故影響評価においてはその沈着は無視できる。

以上のことから、有機よう素の乾性沈着速度はエアロゾルの乾性沈着速度 0.3 cm/s に比べて小さいことがいえる。

また、原子力発電所内は、コンクリート、道路、芝生及び木々で構成されているがエアロゾルへの沈着速度の実験結果 (NUREG/CR-4551) によると、沈着速度が大きいのは芝生や木々であり、植物に対する沈着速度が大きくなる傾向であった。

したがって、有機よう素の乾性沈着速度として、NRPB-R322 の植物に対する沈着速度である  $10^{-3}$  cm/s を用いるのは妥当と判断した。

※1 NRPB-R322-Atmospheric Dispersion Modelling Liaison Committee Annual Report, 1998-99

### 2.2.2 Meadow grass and crops

#### *Methyl iodide*

There are fewer data for methyl iodide than for elemental iodine, but all the data indicate that it is poorly absorbed by vegetation, such that surface resistance is by far the dominant resistance component. The early data have been reviewed elsewhere (Underwood, 1988; Harper *et al.*, 1994) and no substantial body of new data is available. The measured values range between  $10^{-6}$  and  $10^{-4}$   $\text{m s}^{-1}$  approximately. Again, there are no strong reasons for taking  $r_s$  to be a function of windspeed, so it is recommended that  $v_d$  is taken to be a constant. Based on the limited data available, the 'best judgement' value of  $v_d$  is taken as  $10^{-5}$   $\text{m s}^{-1}$  and the 'conservative' value as  $10^{-4}$   $\text{m s}^{-1}$ . Where there is uncertainty as to the chemical species of the iodine, it is clearly safest to assume that it is all in elemental form from the viewpoint of making a conservative estimate of deposition flux.

### 2.2.3 Urban

#### *Methyl iodide*

There appear to be no data for the deposition of methyl iodide to building surfaces: the deposition velocity will be limited by adsorption processes and chemical reactions (if any) at the surface, for which specific data are required. No recommendations are given in this case. For vegetation within the urban area (lawns and parks etc), it is recommended that the values for extended grass surfaces be used.

エアロゾルの乾性沈着速度について

現場作業の線量影響評価では、地表面への放射性物質の沈着速度として乾性沈着及び降水による湿性沈着を考慮した沈着速度（0.5 cm/s，補足 6 参照）を用いており，沈着速度の評価に当たっては，乾性沈着速度として 0.3 cm/s を用いている。以下に，乾性沈着速度の設定の考え方を示す。

エアロゾルの乾性沈着速度は，NUREG/CR-4551<sup>\*1</sup>に基づき 0.3 cm/s と設定した。NUREG/CR-4551 では郊外を対象としており，郊外とは道路，芝生及び木々で構成されるとしている。原子力発電所内も同様の構成であるため，この沈着速度が適用できると考えられる。また，NUREG/CR-4551 では 0.5  $\mu\text{m}$ ～5  $\mu\text{m}$  の粒径に対して検討されているが，格納容器内の除去過程で，相対的に粒子径の大きなエアロゾルは格納容器内に十分捕集されるため，粒径の大きなエアロゾルの放出はされにくいと考えられる。

また，W.G.N. Slimm の検討<sup>\*2</sup>によると，草や水，小石といった様々な材質に対する粒径に応じた乾性の沈着速度を整理しており，これによると 0.1  $\mu\text{m}$ ～5  $\mu\text{m}$  の粒径では沈着速度は 0.3 cm/s 程度（第 1 図）である。以上のことから，現場作業の線量影響評価におけるエアロゾルの乾性の沈着速度として 0.3 cm/s を適用できると判断した。

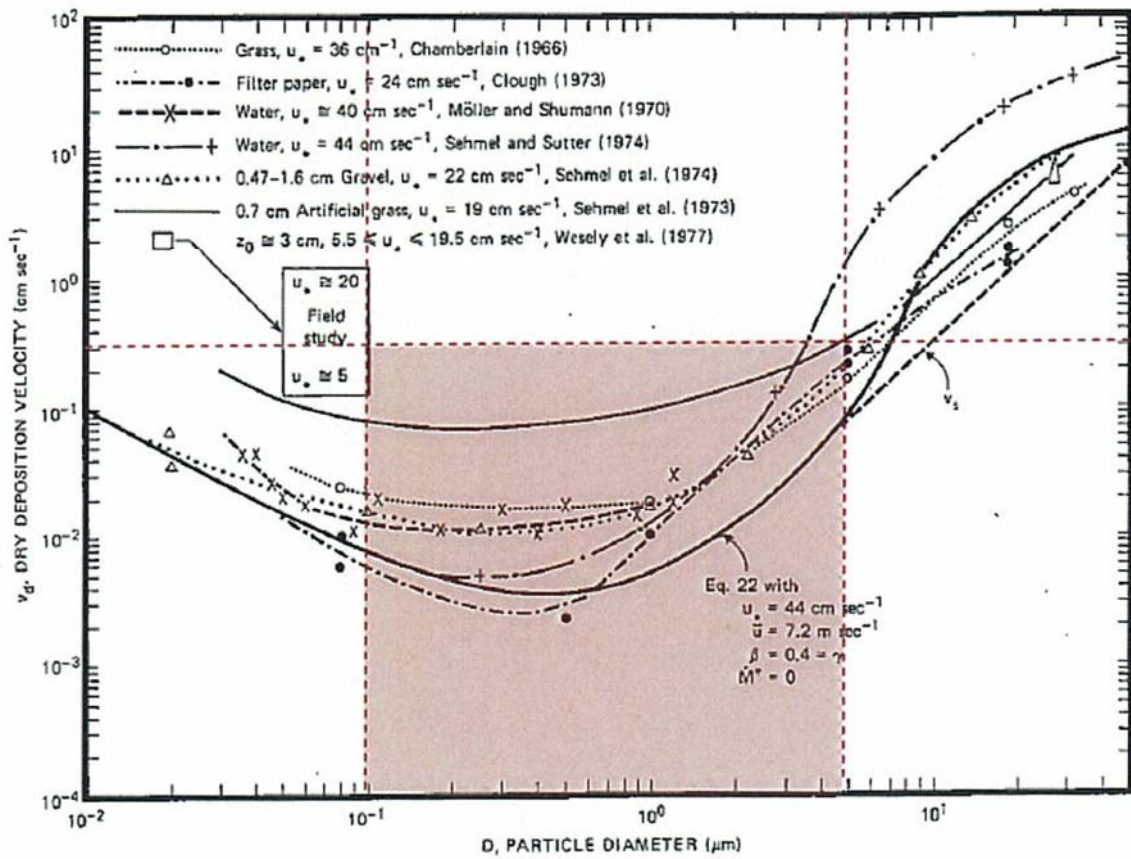


Fig. 4 Dry deposition velocity as a function of particle size. Data were obtained from a number of publications.<sup>1,9-23</sup> The theoretical curve appropriate for a smooth surface is shown for comparison. Note that the theoretical curve is strongly dependent on the value for  $u_*$  and that Eq. 22 does not contain a parameterization for surface roughness. For a preliminary study of the effect of surface roughness and other factors, see Ref. 5.

第1図 様々な粒径における地表沈着速度 (Nuclear Safety Vol.19<sup>\*2</sup>)

- ※1 J.L. Sprung 等 : Evaluation of severe accident risk : quantification of major input parameters, NUREG/CR-4451 Vol.2 Rev.1 Part 7, 1990
- ※2 W.G.N. Slinn : Environmental Effects, Parameterizations for Resuspension and for Wet and Dry Deposition of Particles and Gases for Use in Radiation Dose. Calculations, Nuclear Safety Vol.19 No.2, 1978

## シビアアクシデント時のエアロゾルの粒径について

シビアアクシデント時に格納容器内で発生する放射性物質を含むエアロゾル粒径分布として「 $0.1 \mu\text{m}$ ～ $5 \mu\text{m}$ 」の範囲であることは、粒径分布に関して実施されている研究を基に設定している。

シビアアクシデント時には格納容器内にスプレイ等による注水が実施されることから、シビアアクシデント時の粒径分布を想定し、「格納容器内でのエアロゾルの挙動」及び「格納容器内の水の存在の考慮」といった観点で実施された第1表の②、⑤に示す試験等を調査した。さらに、シビアアクシデント時のエアロゾルの粒径に対する共通的な知見とされている情報を得るために、海外の規制機関（NRC等）や各国の合同で実施されているシビアアクシデント時のエアロゾルの挙動の試験等（第1表の①、③、④）を調査した。以上の調査結果を第1表に示す。

この表で整理した試験等は、想定するエアロゾル発生源、挙動範囲（格納容器、原子炉冷却材配管等）、水の存在等に違いがあるが、エアロゾル粒径の範囲に大きな違いはなく、格納容器内環境でのエアロゾル粒径はこれらのエアロゾル粒径と同等な分布範囲を持つものと推定できる。

したがって、過去の種々の調査・研究により示されている範囲をカバーする値として、 $0.1 \mu\text{m}$ ～ $5 \mu\text{m}$ のエアロゾルを想定することは妥当である。

第1表 シビアアクシデント時のエアロゾル粒径についての文献調査結果

番号	試験名又は 報告書名等	エアロゾル粒径 ( $\mu\text{m}$ )	備考
①	LACE LA2 <sup>※1</sup>	約0.5~5 (第1図参照)	シビアアクシデント時の評価に使用されるコードでの格納容器閉じ込め機能喪失を想定した条件とした比較試験
②	NUREG/CR-5901 <sup>※2</sup>	0.25~2.5 (参考1-1)	格納容器内に水が存在し、熔融炉心を覆っている場合のスクラビング効果のモデル化を紹介したレポート
③	AECLが実施した試験 <sup>※3</sup>	0.1~3.0 (参考1-2)	シビアアクシデント時の炉心損傷を考慮した1次系内のエアロゾル挙動に着目した実験
④	PBF-SFD <sup>※3</sup>	0.29~0.56 (参考1-2)	シビアアクシデント時の炉心損傷を考慮した1次系内のエアロゾル挙動に着目した実験
⑤	PHEBUS-FP <sup>※3</sup>	0.5~0.65 (参考1-2)	シビアアクシデント時のFP挙動の実験(左記のエアロゾル粒径はPHEBUS FP実験の格納容器内のエアロゾル挙動に着目した実験の結果)

※1 J. H. Wilson and P. C. Arwood, Summary of Pretest Aerosol Code Calculations for LWR Aerosol Containment Experiments (LACE) LA2, ORNL A. L. Wright, J. H. Wilson and P.C. Arwood, PRETEST AEROSOL CODE COMPARISONS FOR LWR AEROSOL CONTAINMENT TESTS LA1 AND LA2

※2 D. A. Powers and J. L. Sprung, NUREG/CR-5901, A Simplified Model of Aerosol Scrubbing by a Water Pool Overlying Core Debris Interacting With Concrete

※3 STATE-OF-THE-ART REPORT ON NUCLEAR AEROSOLS, NEA/CSNI/R (2009)

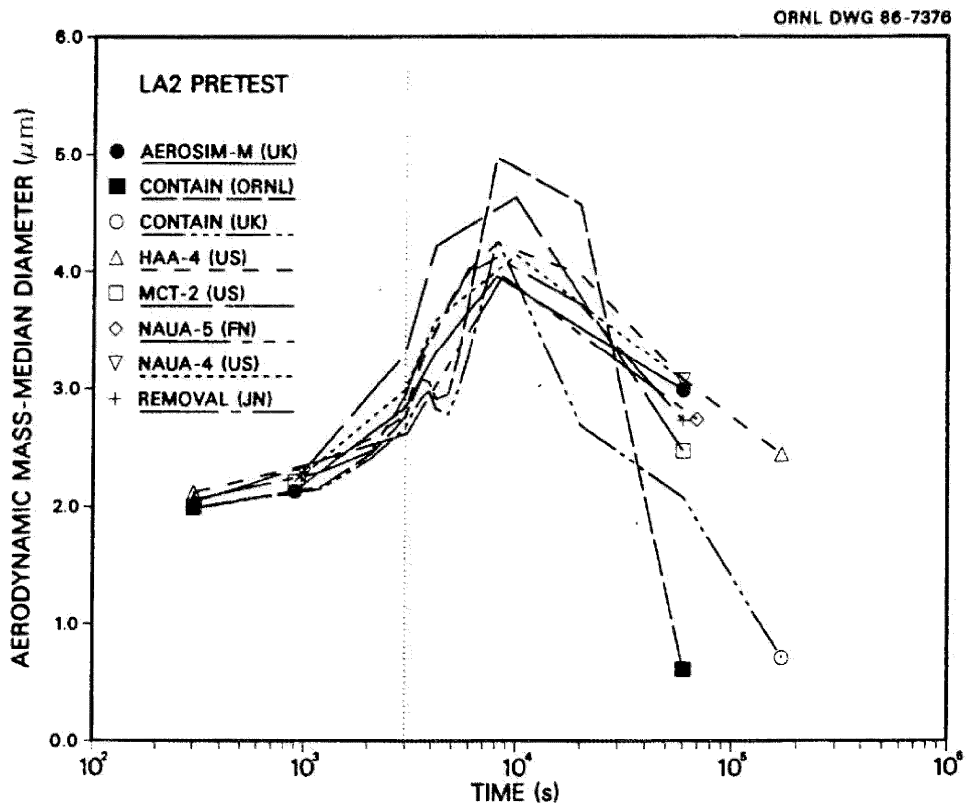


Fig. 11. LA2 pretest calculations — aerodynamic mass median diameter vs time.

第1図 LACE LA2でのコード比較試験で得られたエアロゾル粒径の時間変化グラフ

so-called "quench" temperature. At temperatures below this quench temperature the kinetics of gas phase reactions among CO, CO<sub>2</sub>, H<sub>2</sub>, and H<sub>2</sub>O are too slow to maintain chemical equilibrium on useful time scales. In the sharp temperature drop created by the water pool, very hot gases produced by the core debris are suddenly cooled to temperatures such that the gas composition is effectively "frozen" at the equilibrium composition for the "quench" temperature. Experimental evidence suggest that the "quench" temperature is 1300 to 1000 K. The value of the quench temperature was assumed to be uniformly distributed over this temperature range for the calculations done here.

(6) Solute Mass. The mass of solutes in water pools overlying core debris attacking concrete has not been examined carefully in the experiments done to date. It is assumed here that the logarithm of the solute mass is uniformly distributed over the range of  $\ln(0.05 \text{ g/kilogram H}_2\text{O}) = -3.00$  to  $\ln(100 \text{ g/kilogram H}_2\text{O}) = 4.61$ .

(7) Volume Fraction Suspended Solids. The volume fraction of suspended solids in the water pool will increase with time. Depending on the available facilities for replenishing the water, this volume fraction could become quite large. Models available for this study are, however, limited to volume fractions of 0.1. Consequently, the volume fraction of suspended solids is taken to be uniformly distributed over the range of 0 to 0.1.

(8) Density of Suspended Solids. Among the materials that are expected to make up the suspended solids are Ca(OH)<sub>2</sub> ( $\rho = 2.2 \text{ g/cm}^3$ ) or SiO<sub>2</sub> ( $\rho = 2.2 \text{ g/cm}^3$ ) from the concrete and UO<sub>2</sub> ( $\rho = 10 \text{ g/cm}^3$ ) or ZrO<sub>2</sub> ( $\rho = 5.9 \text{ g/cm}^3$ ) from the core debris or any of a variety of aerosol materials. It is assumed here that the material density of the suspended solids is uniformly distributed over the range of 2 to 6 g/cm<sup>3</sup>. The upper limit is chosen based on the assumption that suspended UO<sub>2</sub> will hydrate, thus reducing its effective density. Otherwise, gas sparging will not keep such a dense material suspended.

(9) Surface Tension of Water. The surface tension of the water can be increased or decreased by dissolved materials. The magnitude of the change is taken here to be  $S\sigma(w)$  where S is the weight fraction of dissolved solids. The sign of the change is taken to be minus or plus depending on whether a random variable  $\epsilon$  is less than 0.5 or greater than or equal to 0.5. Thus, the surface tension of the liquid is:

$$\sigma_1 = \begin{cases} \sigma(w) (1-S) & \text{for } \epsilon < 0.5 \\ \sigma(w) (1+S) & \text{for } \epsilon \geq 0.5 \end{cases}$$

where  $\sigma(w)$  is the surface tension of pure water.

(10) Mean Aerosol Particle Size. The mass mean particle size for aerosols produced during melt/concrete interactions is known only for situations in which no water is present. There is reason to believe smaller particles will be produced if a water pool is present. Examination of aerosols produced during melt/concrete interactions shows that the primary particles are about 0.1  $\mu\text{m}$  in diameter. Even with a water pool present, smaller particles would not be expected.

Consequently, the natural logarithm of the mean particle size is taken here to be uniformly distributed over the range from  $\ln(0.25 \mu\text{m}) = -1.39$  to  $\ln(2.5 \mu\text{m}) = 0.92$ .

(11) Geometric Standard Deviation of the Particle Size Distribution. The aerosols produced during core debris-concrete interactions are assumed to have lognormal size distributions. Experimentally determined geometric standard deviations for the distributions in cases with no water present vary between 1.6 and 3.2. An argument can be made that the geometric standard deviation is positively correlated with the mean size of the aerosol. Proof of this correlation is difficult to marshal because of the sparse data base. It can also be argued that smaller geometric standard deviations will be produced in situations with water present. It is unlikely that data will ever be available to demonstrate this contention. The geometric standard deviation of the size distribution is assumed to be uniformly distributed over the range of 1.6 to 3.2. Any correlation of the geometric standard deviation with the mean size of the aerosol is neglected.

(12) Aerosol Material Density. Early in the course of core debris interactions with concrete,  $\text{UO}_2$  with a solid density of around  $10 \text{ g/cm}^3$  is the predominant aerosol material. As the interaction progresses, oxides of iron, manganese and chromium with densities of about  $5.5 \text{ g/cm}^3$  and condensed products of concrete decomposition such as  $\text{Na}_2\text{O}$ ,  $\text{K}_2\text{O}$ ,  $\text{Al}_2\text{O}_3$ ,  $\text{SiO}_2$ , and  $\text{CaO}$  with densities of  $1.3$  to  $4 \text{ g/cm}^3$  become the dominant aerosol species. Condensation and reaction of water with the species may alter the apparent material densities. Coagglomeration of aerosolized materials also complicates the prediction of the densities of materials that make up the aerosol. As a result the material density of the aerosol is considered uncertain. The material density used in the calculation of aerosol trapping is taken to be an uncertain parameter uniformly distributed over the range of  $1.5$  to  $10.0 \text{ g/cm}^3$ .

Note that the mean aerosol particle size predicted by the VANESA code [6] is correlated with the particle material density to the  $-1/3$  power. This correlation of aerosol particle size with particle material density was taken to be too weak and insufficiently supported by experimental evidence to be considered in the uncertainty analyses done here.

(13) Initial Bubble Size. The initial bubble size is calculated from the Davidson-Schular equation:

$$D_b = \epsilon \left( \frac{6}{\pi} \right)^{1/3} \frac{V_s^{0.4}}{g^{0.2}} \text{ cm}$$

where  $\epsilon$  is assumed to be uniformly distributed over the range of 1 to 1.54. The minimum bubble size is limited by the Fritz formula to be:

$$D_b = 0.0105 \Psi[\sigma_l / g(\rho_l - \rho_g)]^{1/2}$$

where the contact angle is assumed to be uniformly distributed over the range of  $20$  to  $120^\circ$ . The maximum bubble size is limited by the Taylor instability model to be:

参考1-2 STATE-OF-THE-ART REPORT ON NUCLEAR AEROSOLS,  
NEA/CSNI/R(2009)5の抜粋及び試験の概要

9.2.1 *Aerosols in the RCS*

9.2.1.1 *AECL*

The experimenters conclude that spherical particles of around 0.1 to 0.3  $\mu\text{m}$  formed (though their composition was not established) then these agglomerated giving rise to a mixture of compact particles between 0.1 and 3.0  $\mu\text{m}$  in size at the point of measurement. The composition of the particles was found to be dominated by Cs, Sn and U: while the Cs and Sn mass contributions remained constant and very similar in mass, U was relatively minor in the first hour at 1860 K evolving to be the main contributor in the third (very approximately: 42 % U, 26 % Sn, 33 % Cs). Neither break down of composition by particle size nor statistical size information was measured.

9.2.1.2 *PBF-SFD*

Further interesting measurements for purposes here were six isokinetic, sequential, filtered samples located about 13 m from the bundle outlet. These were used to follow the evolution of the aerosol composition and to examine particle size (SEM). Based on these analyses the authors state that particle geometrical-mean diameter varied over the range 0.29-0.56  $\mu\text{m}$  (elimination of the first filter due to it being early with respect to the main transient gives the range 0.32-0.56  $\mu\text{m}$ ) while standard deviation fluctuated between 1.6 and 2.06. In the images of filter deposits needle-like forms are seen. Turning to composition, if the first filter sample is eliminated and “below detection limit” is taken as zero, for the structural components and volatile fission products we have in terms of percentages the values given in Table 9.2-1.

9.2.2 *Aerosols in the containment*

9.2.2.1 *PHÉBUS FP*

The aerosol size distributions were fairly lognormal with an average size (AMMD) in FPT0 of 2.4  $\mu\text{m}$  at the end of the 5-hour bundle-degradation phase growing to 3.5  $\mu\text{m}$  before stabilizing at 3.35  $\mu\text{m}$ ; aerosol size in FPT1 was slightly larger at between 3.5 and 4.0  $\mu\text{m}$ . Geometric-mean diameter ( $d_{50}$ ) of particles in FPT1 was seen to be between 0.5 and 0.65  $\mu\text{m}$ ; a SEM image of a deposit is shown in Fig. 9.2-2. In both tests the geometric standard deviation of the lognormal distribution was fairly constant at a value of around 2.0. There was clear evidence that aerosol composition varied very little as a function of particle size except for the late settling phase of the FPT1 test: during this period, the smallest particles were found to be cesium-rich. In terms of chemical speciation, X-ray techniques were used on some deposits and there also exist many data on the solubilities of the different elements in numerous deposits giving a clue as to the potential forms of some of the elements. However, post-test oxidation of samples cannot be excluded since storage times were long (months) and the value of speculating on potential speciation on the basis of the available information is debatable. Nevertheless, there is clear evidence that some elements reached higher states of oxidation in the containment when compared to their chemical form in the circuit.

試験名又は報告書名等	試験の概要
AFCLが実施した実験	CANDUのジルカロイ被覆管燃料を使用した、1次系でも核分裂生成物の挙動についての試験
PBF-SFD	米国アイダホ国立工学環境研究所で実施された炉心損傷状態での燃料棒及び炉心のふるまい並びに核分裂生成物及び水素の放出についての試験
PHEBUS FP	フランスカダラッシュ研究所のPHEBUS研究炉で実施された、シビアアクシデント条件下での炉心燃料から1次系を経て格納容器に至るまでの核分裂生成物の挙動を調べる実機燃料を用いた総合試験

補足 8-8

NT2 補① 補足-270-4 R0

### 実効放出継続時間の設定について

大気拡散評価に用いる実効放出継続時間は、「発電用原子炉施設の安全解析に関する気象指針」※1に従い、事故期間中の放射性物質の全放出量を1時間当たりの最大放出量で除した値として計算する。実効放出継続時間は、大気拡散評価で放出継続時間を考慮した単位時間当たりの拡散係数を求めるために設定するものであり、被ばく評価においては、評価対象期間の放出率に拡散係数を乗じることにより大気拡散を考慮した評価を行う。

実効放出継続時間は放出経路ごとに設定しており、原子炉建屋、非常用ガス処理系排気筒及び格納容器圧力逃がし装置排気口のそれぞれの放出経路について実効放出継続時間を計算した結果を第1表～第2表に示す。

原子炉建屋及び格納容器圧力逃がし装置からの放出の実効放出継続時間は1時間程度であり、非常用ガス処理系排気筒からの放出の実効放出継続時間は20時間～30時間程度となっている。

大気拡散評価に用いる風速、風向などの気象データは、1時間ごとのデータとして整理されており、実効放出継続時間として設定できる最小単位は1時間である。

また、実効放出継続時間を2時間以上で設定した場合、その期間に同一風向の風が吹き続けることを想定し、その期間の拡散係数の平均を単位時間当たりの拡散係数としている。なお、平均する期間に異なる風向が含まれる場合は、拡散係数を0として平均を計算する。このため、実効放出継続時間が長くなるほど平均される期間が長くなり拡散係数は小さい傾向となる。

このことから、ベント実施に伴う被ばく評価では、保守的に被ばく評価上の影響が大きい原子炉建屋及び格納容器圧力逃がし装置からの放出における実効放出継続時間である1時間を適用し大気拡散評価を行った。

なお、参考として実効放出継続時間の違いによる拡散係数（相対濃度、相対線量）の変化について第3表に示す。

また、評価対象期間の放出率及び拡散係数（相対線量）から行う被ばく評価の例として、第二弁開操作後（S/Cからベントを行う場合）に大気中へ放出された放射性物質による屋外移動時の外部被ばく評価結果について第4表に示す。

#### ※1 （気象指針解説抜粋）

- (3) 実効放出継続時間（T）は、想定事故の種類によって放出率に変化があるので、放出モードを考慮して適切に定めなければならないが、事故期間中の放射性物質の全放出量を1時間当たりの最大放出量で除した値を用いることもひとつの方法である。

第1表 S/Cからベントを行う場合の実効放出継続時間

放出経路	① 放出量 (Bq)			② 最大放出率 (Bq/h)			①÷② 実効放出継続時間 (h)		
	原子炉建屋 放出分	非常用ガス処理 系排気筒放出分	ベント 放出分	原子炉建屋 放出分	非常用ガス処理 系排気筒放出分	ベント 放出分	原子炉建屋 放出分	非常用ガス処理 系排気筒放出分	ベント 放出分
希ガス	約 $4.6 \times 10^{15}$	約 $3.1 \times 10^{16}$	約 $8.9 \times 10^{18}$	約 $3.1 \times 10^{15}$	約 $1.2 \times 10^{15}$	約 $8.7 \times 10^{18}$	約 1.5	約 25.1	約 1.0
希ガス以外	約 $1.3 \times 10^{15}$	約 $1.6 \times 10^{15}$	約 $7.2 \times 10^{15}$	約 $9.2 \times 10^{14}$	約 $6.2 \times 10^{13}$	約 $7.1 \times 10^{15}$	約 1.4	約 26.3	約 1.0

第2表 D/Wからベントを行う場合の実効放出継続時間

放出経路	① 放出量 (Bq)			② 最大放出率 (Bq/h)			①÷② 実効放出継続時間 (h)		
	原子炉建屋 放出分	非常用ガス処理 系排気筒放出分	ベント 放出分	原子炉建屋 放出分	非常用ガス処理 系排気筒放出分	ベント 放出分	原子炉建屋 放出分	非常用ガス処理 系排気筒放出分	ベント 放出分
希ガス	約 $4.6 \times 10^{15}$	約 $3.1 \times 10^{16}$	約 $8.8 \times 10^{18}$	約 $3.1 \times 10^{15}$	約 $1.2 \times 10^{15}$	約 $7.4 \times 10^{18}$	約 1.5	約 25.2	約 1.2
希ガス以外	約 $1.3 \times 10^{15}$	約 $1.7 \times 10^{15}$	約 $7.5 \times 10^{15}$	約 $9.2 \times 10^{14}$	約 $6.3 \times 10^{13}$	約 $6.4 \times 10^{15}$	約 1.4	約 26.4	約 1.2

第3表 実効放出継続時間の違いによる拡散係数の変更

	相対濃度 (s/m <sup>3</sup> )	相対線量 (Gy/Bq)
1 時間	約 3.0×10 <sup>-6</sup>	約 1.2×10 <sup>-19</sup>
5 時間	約 2.9×10 <sup>-6</sup>	約 8.8×10 <sup>-20</sup>
10 時間	約 1.7×10 <sup>-6</sup>	約 7.5×10 <sup>-20</sup>
20 時間	約 1.2×10 <sup>-6</sup>	約 6.2×10 <sup>-20</sup>

第4表 第二弁開操作後（S/Cからベントを行う場合）に大気に放出された放射性物質による屋外移動時の外部被ばく評価結果

項目	ベント実施後に大気中へ放出された放射性物質による屋外移動時の外部被ばく評価		備考
放出経路	非常用ガス処理系 排気筒	格納容器圧力逃がし装置 排気口	ベント実施後の放出経路
放出率 (Bq/h)	約 3.3×10 <sup>14</sup>	約 8.3×10 <sup>13</sup>	(①) 事故後約 22 時間～約 23 時間の放出率
相対線量 (Gy/Bq)	約 1.2×10 <sup>-19</sup>	約 8.7×10 <sup>-19</sup>	(②) 実効放出継続時間 1 時間の相対線量 (拡散係数)
線量率 <sup>※1</sup> (mSv/h)	約 3.8×10 <sup>-2</sup>	約 7.1×10 <sup>-2</sup>	(①×②×10 <sup>3</sup> ) 評価対象期間の線量率
屋外移動時 線量率 (mSv/h)	約 1.1×10 <sup>-1</sup>		

※1 事故時においては換算係数を 1 Sv/Gy として計算

ベント実施に伴うベント操作時の作業員の被ばく評価で考慮している線源の選定について

ベント実施に伴うベント操作時の作業員の被ばく評価では、放出される放射性物質による被ばく経路として以下の被ばく経路を考慮している。

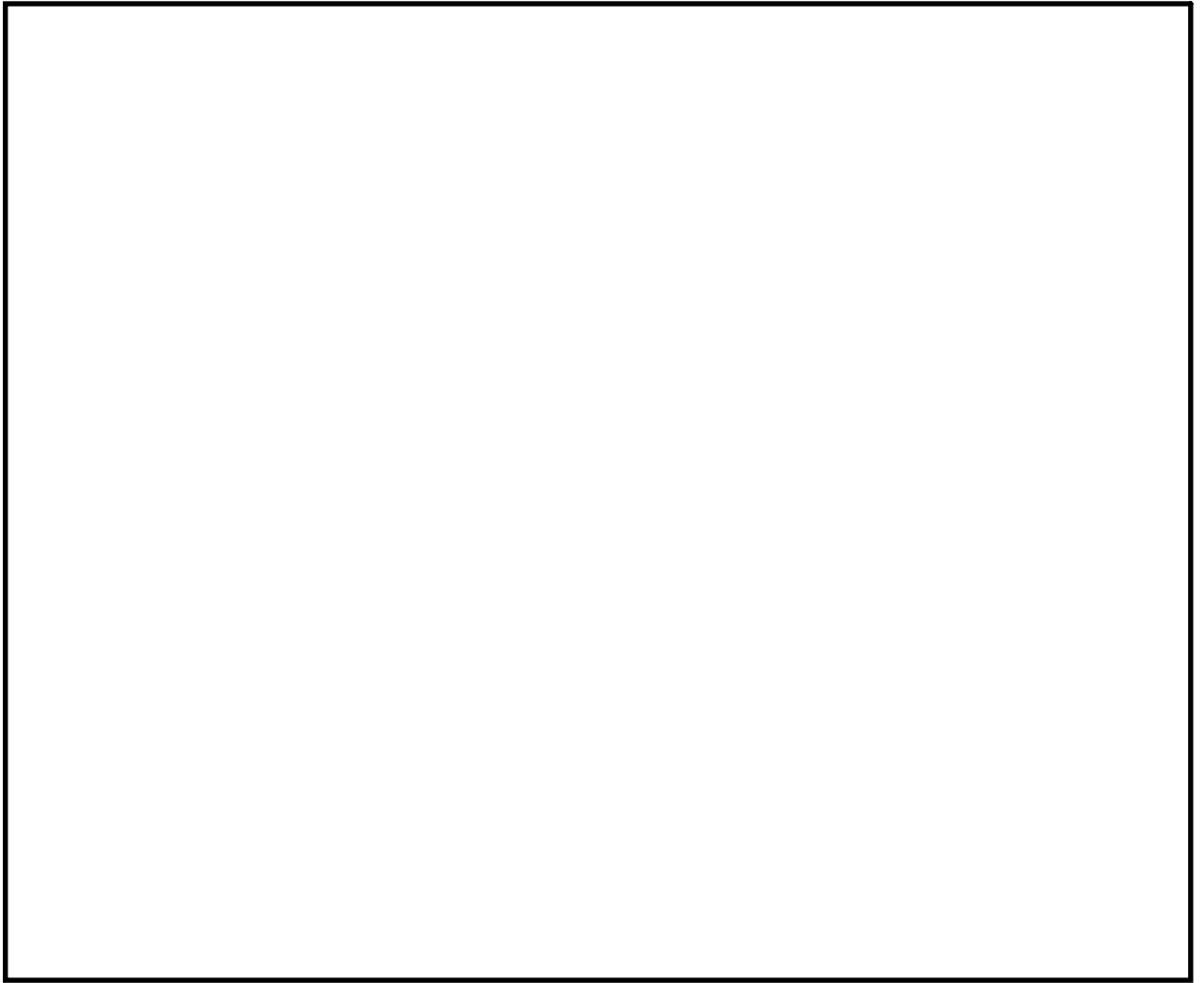
- ・ 大気中へ放出された放射性物質からのガンマ線による被ばく
- ・ 原子炉建屋内の放射性物質からのガンマ線による被ばく
- ・ 外気から作業場所に流入した放射性物質による被ばく
- ・ ベント系配管内の放射性物質からのガンマ線による外部被ばく
- ・ 地表面に沈着した放射性物質からのガンマ線による被ばく

上記の被ばく経路以外にアクセスルート等には、第1表に示すとおり、換気系フィルタ、貯蔵タンク等の線源となる設備があるが、設備からアクセスルート等が十分に離れていること、設備とアクセスルートの間壁に十分な遮蔽効果が得られること、移動時間を考慮すると設備からの影響は短時間であることなどから、被ばく評価への影響が小さいため評価上考慮していない。設備とアクセスルート等の関係を第1図～第7図に示す。

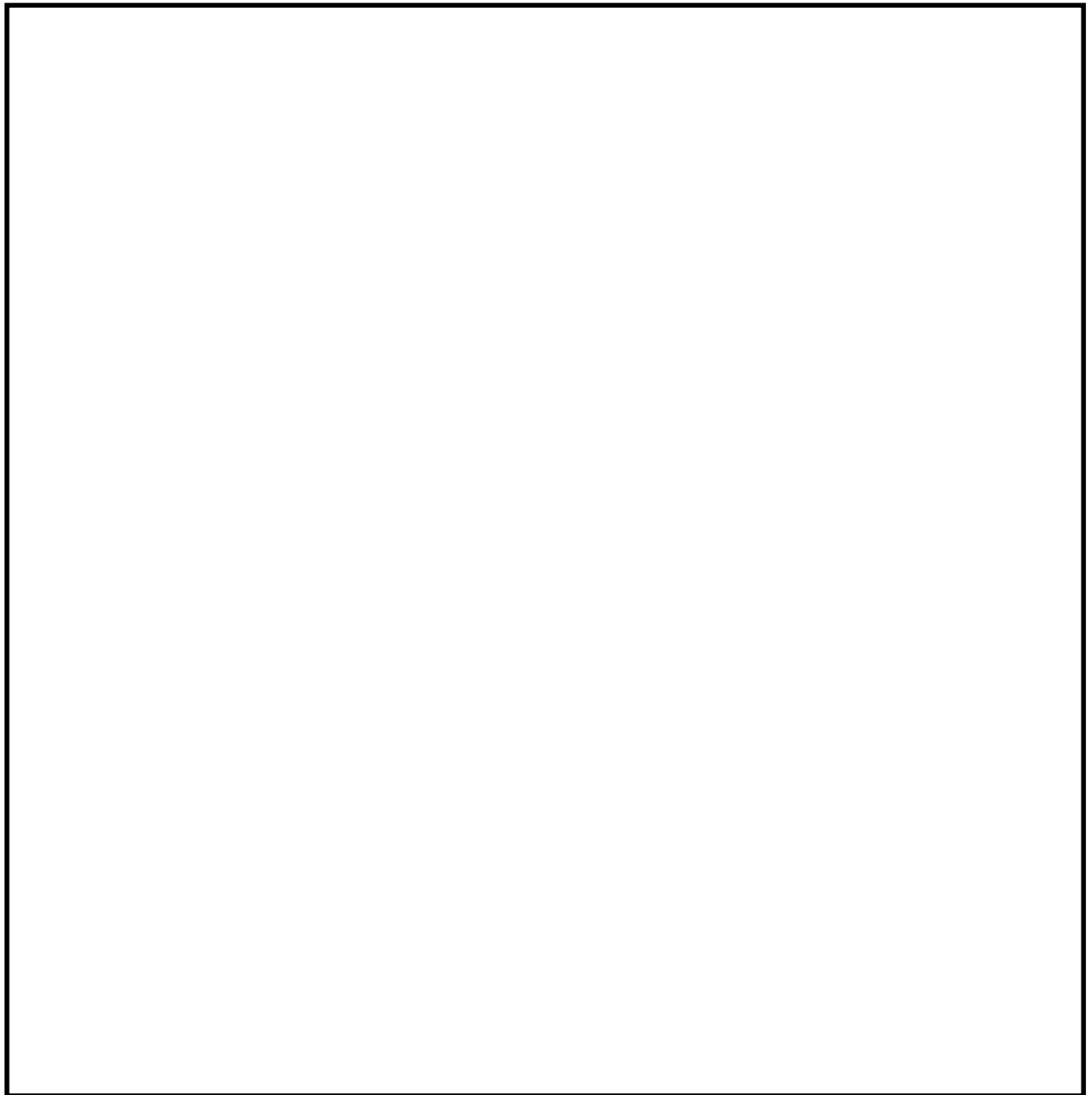
第1表 線源となる設備とアクセスルート等への影響について

設 備 <sup>※1</sup>	考慮していない理由	離隔距離, 遮蔽厚等	アクセスルート等 における線量率	設備位置
非常用ガス処理系フィルタ, 非常用ガス再循環系フィルタ	原子炉建屋原子炉棟 5F の設備であり, アクセスルート等から十分離れており, 設備とアクセスルートの間には原子炉建屋原子炉棟の壁, 床があり十分な遮蔽効果に期待でき, 被ばく評価への影響は小さいため。	遮蔽厚 (床, 壁) : 約 100 cm 距 離: 10 m 以上	$10^{-1}$ mSv/h 以下	① (第 6 図)
中央制御室換気系フィルタ	アクセスルートから十分に離れており, 移動時における影響は短時間であり被ばく評価への影響は小さいため。	遮蔽厚: なし 距 離: 10 m 以上	0.5 mSv/h 以下	② (第 4 図)
凝集沈殿装置供給ポンプ	アクセスルートから十分に離れており, アクセスルート等の間には補助遮蔽がある。また, 移動時における影響は短時間であることから被ばく評価への影響は小さいため。	遮蔽厚: 約 100 cm 距 離: 20 m 以上	$10^{-2}$ mSv/h 以下	③ (第 3 図)
凝集沈殿装置供給タンク	アクセスルートから十分に離れており, アクセスルート等の間には補助遮蔽がある。また, 移動時における影響は短時間であることから被ばく評価への影響は小さいため。	遮蔽厚: 約 100 cm 距 離: 10 m 以上	$10^{-2}$ mSv/h 以下	④ (第 3 図)
廃液濃縮機	アクセスルートから十分に離れており, アクセスルートとの間には補助遮蔽がある。また, 移動時における影響は短時間であることから被ばく評価への影響は小さいため。	遮蔽厚: 約 80 cm 距 離: 10 m 以上	$10^{-2}$ mSv/h 以下	⑤ (第 3 図)
廃液濃縮機循環ポンプ	アクセスルート等の間には補助遮蔽があり, 移動時における影響は短時間であることから被ばく評価への影響は小さいため。	遮蔽厚: 約 80 cm 距 離: 1 m 以上	$10^{-2}$ mSv/h 以下	⑥ (第 4 図)
格納容器圧力逃がし装置 格納槽	アクセスルートから十分に離れており, 格納容器圧力逃がし装置格納槽からの直接線等は遮蔽設備により十分に低い線量となるため。	遮蔽厚: 160 cm 以上 距 離: 40 m 以上	$10^{-2}$ mSv/h 以下	⑦ (第 1 図)

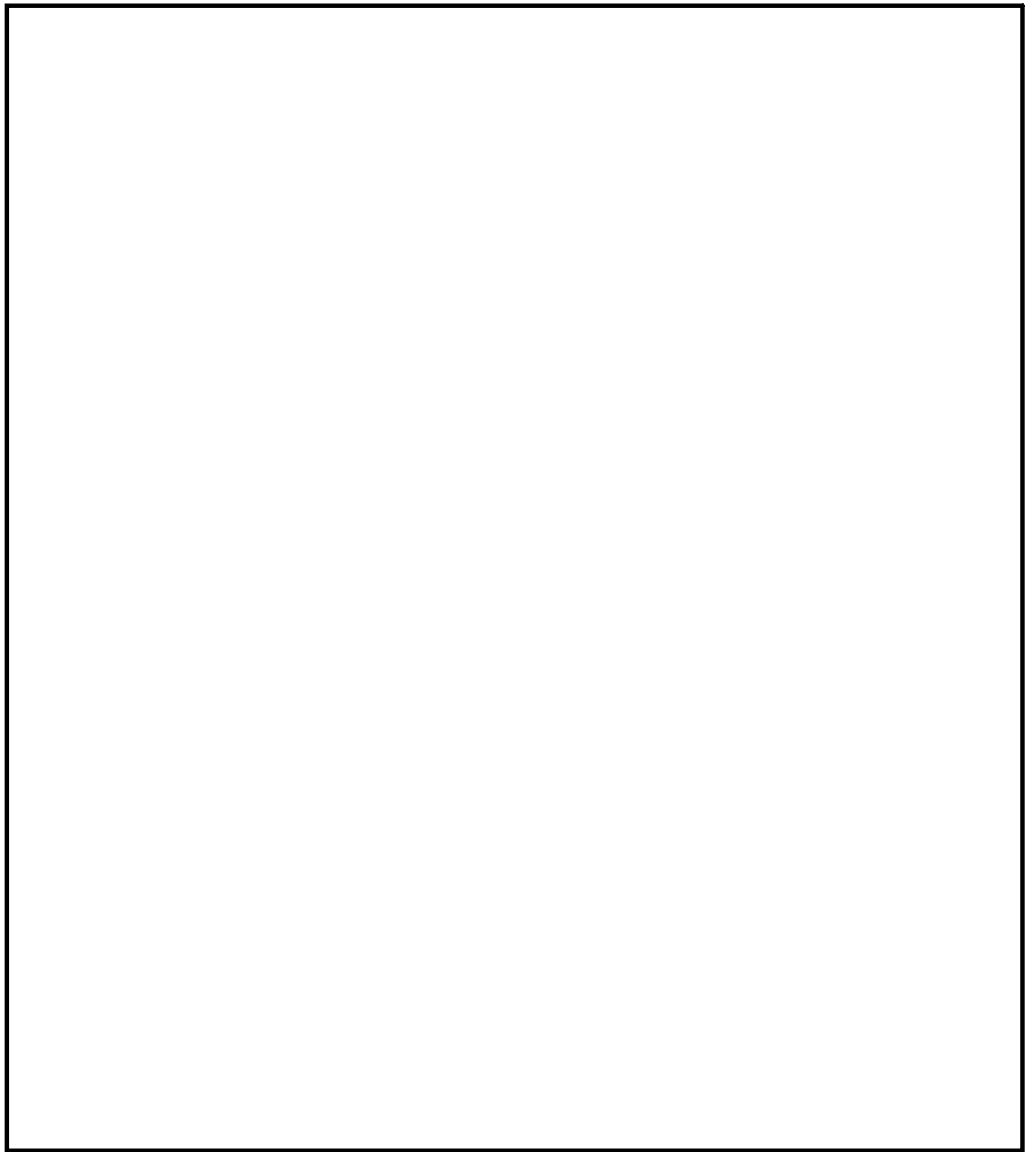
※1 表の設備以外にも貯蔵タンク等があるが, 管理区域の区域区分 I 又は II ( $0.1$  mSv/h 未満) にある設備であり, 被ばく評価上影響は小さい。



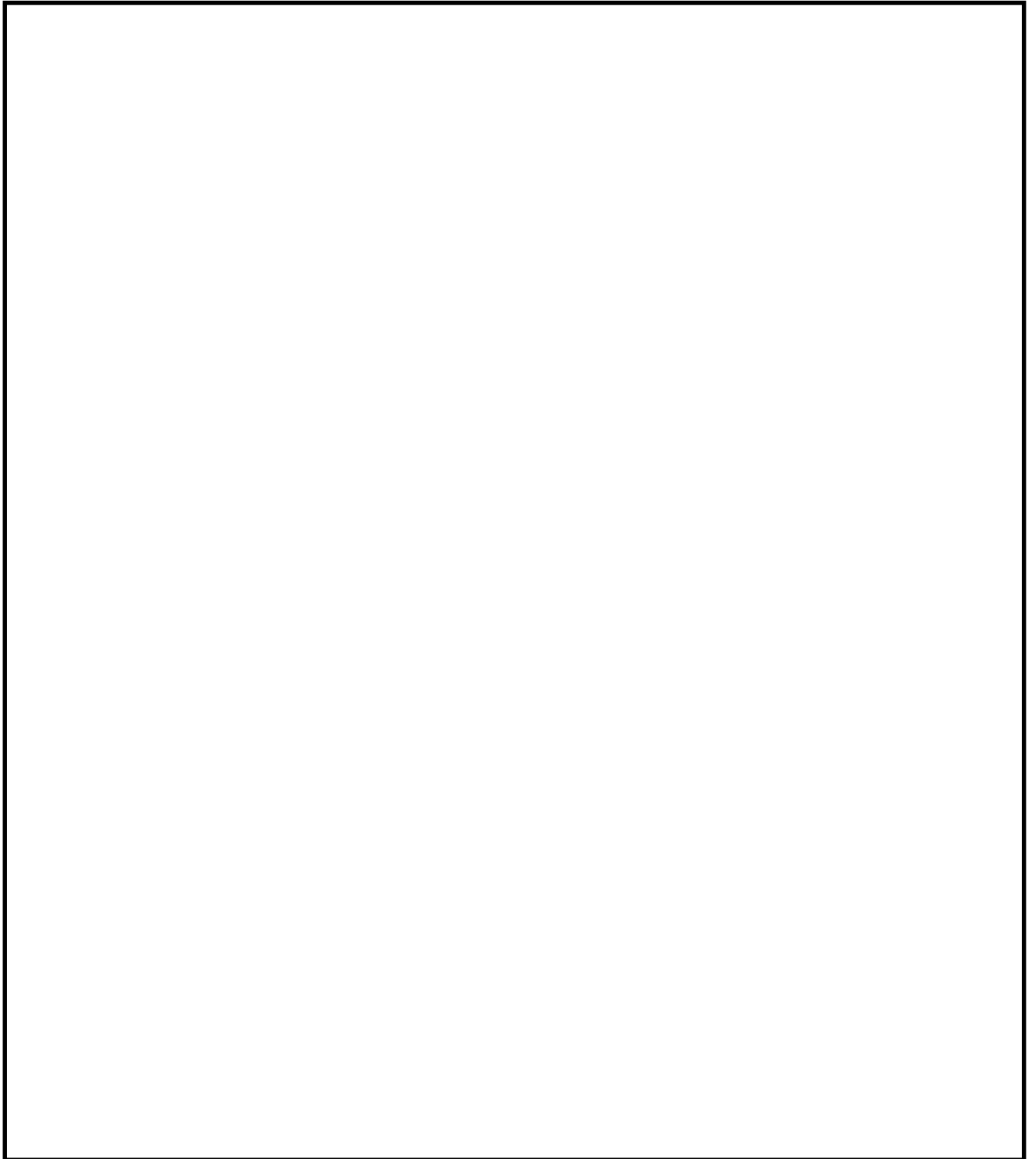
第1図 屋外アクセスルート



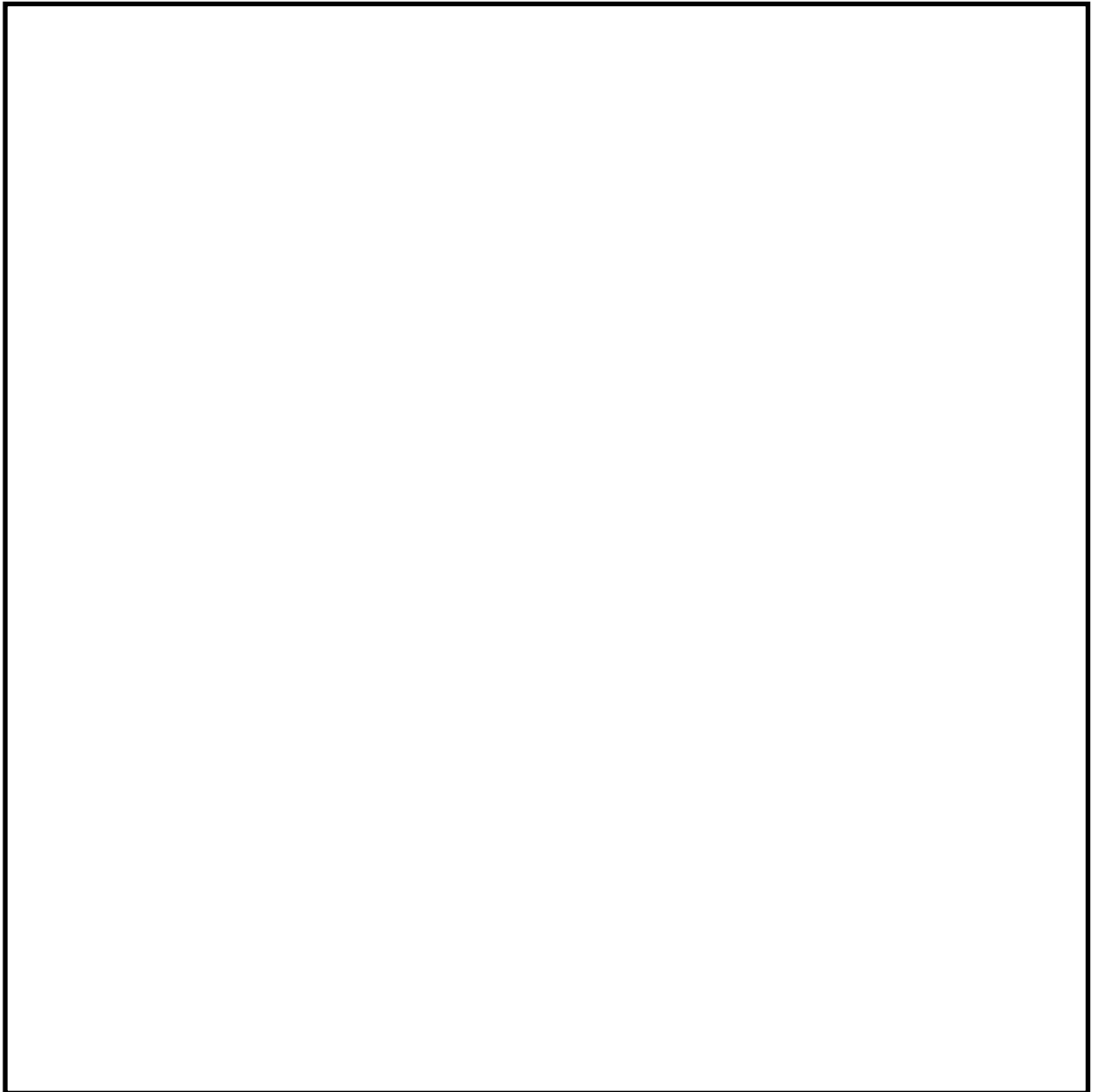
第2図 原子炉建屋1階の操作場所及びアクセスルート



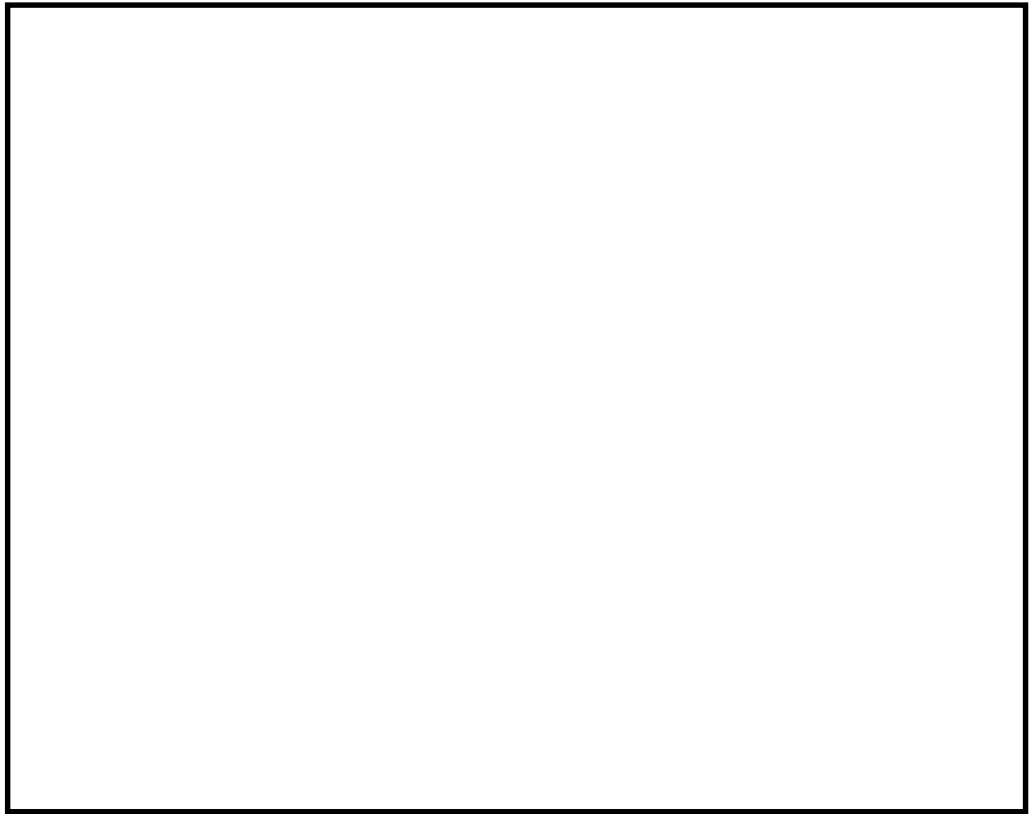
第3図 原子炉建屋2階の操作場所及びアクセスルート



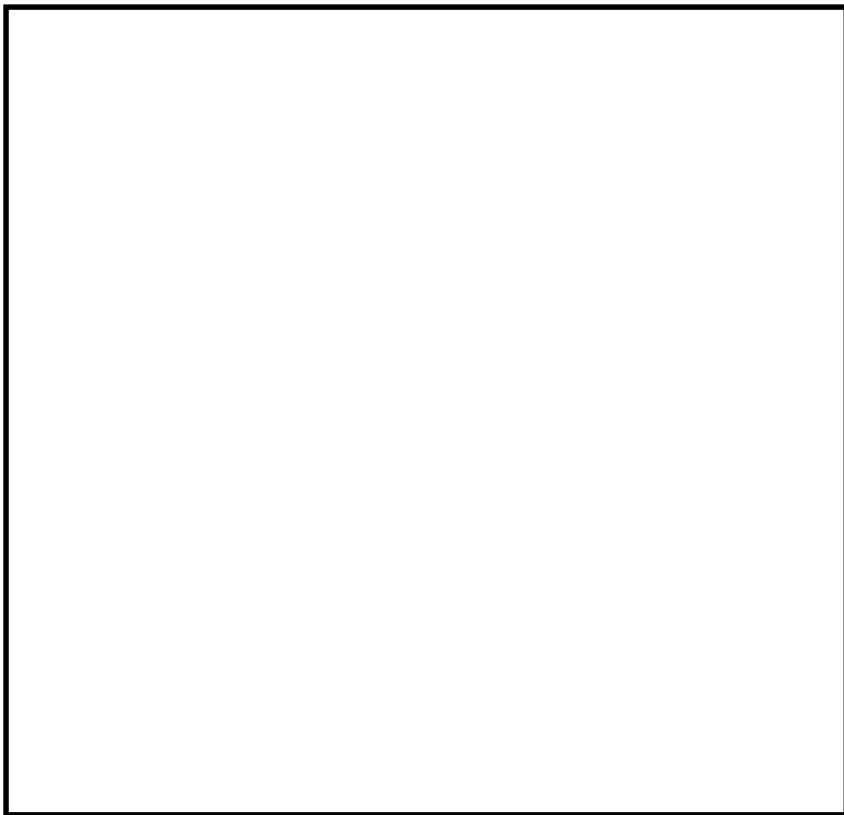
第4図 原子炉建屋3階及び原子炉建屋付属棟4階の  
操作場所及びアクセスルート



第5図 原子炉建屋4階の操作場所及びアクセスルート



第 6 図 原子炉建屋 5 階



第 7 図 原子炉建屋 6 階

線量評価に用いた気象データについて

## (1) はじめに

新規制基準適合性に係る設置変更許可申請に当たっては、東海第二発電所敷地内で 2005 年度に観測された風向、風速等を用いて線量評価を行っている。本補足資料では、2005 年度の気象データを用いて線量評価することの妥当性について説明する。

## (2) 設置変更許可申請において 2005 年度の気象データを用いた理由

線量評価には「発電用原子炉施設の安全解析に関する気象指針」（以下、気象指針という。）に基づき統計処理された気象データを用いる。また、気象データのほかに放射性物質の放出量、排気筒高さ等のプラントデータ、評価点までの距離、排気筒有効高さ（風洞実験結果）等のデータが必要となる。

設置変更許可申請における線量評価については、原子炉熱出力向上の検討の一環で準備していた、敷地の気象の代表性が確認された 2005 年度の気象データを用いた風洞実験結果<sup>※1</sup>を用いている。

新規制基準適合性に係る設置変更許可申請に当たり、添付書類十に新たに追加された炉心損傷防止対策の有効性評価で、格納容器圧力逃がし装置を使用する場合の敷地境界における実効線量の評価が必要となった。その際、添付書類六に記載している 1981 年度の気象データの代表性について、申請準備時点の最新気象データを用いて確認したところ、代表性が確認できなかった。このため、平常時線量評価用の風洞実験結果が整備されている 2005 年度の気象データについて、申請時点での最新気象データにて代表性を確認した上で、安全解析に用いる気象条件として適用することにした。これに伴い、添付書類九（通常運転時の線量評価）、添付書類十（設計基準事故時の線量評価）の安全解析にも適用し、評価を見直すこととした。

※1 風洞実験は平常時、事故時の放出源高さで平地実験、模型実験を行い排気筒の有効高さを求めている。平常時の放出源高さの設定に当たっては、吹上げ高さを考慮しており、吹上げ高さの計算に 2005 年度の気象データ（風向別風速逆数の平均）を用いている。

これは、2011 年 3 月以前、東海第二発電所において、次のように 2005 年度の気象データを用いて原子炉熱出力の向上について検討していたことによる。

原子炉熱出力向上に伴い添付書類九の通常運転時の線量評価条件が変更になること（主蒸気流量の 5 % 増による冷却材中のよう素濃度減少により、換気系からの気体状よう素放出量の減少等）、また、南南東方向（常陸那珂火力発電所方向）、北東方向（海岸方向）の線量評価地点の追加も必要であったことから、新規制定された「(社) 日本原子力学会標準 発電用原子炉施設の安全解析における放出源の有効高さを求めるための風洞実験実施基準：2003」に基づき、使用済燃料乾式貯蔵建屋、固体廃棄物作業建屋等の当初の風洞実験（1982 年）以降に増設された建屋も反映し、2005 年度の気象データを用いて風洞実験を実施した。

(3) 2005 年度の気象データを用いて線量評価することの妥当性

線量評価に用いる気象データについては、気象指針に従い統計処理された 1 年間の気象データを使用している。気象指針（参考参照）では、その年の気象がとくに異常であるか否かを最寄の気象官署の気象資料を用いて調査することが望ましいとしている。

以上のことから、2005 年度の気象データを用いることの妥当性を最新の気象データと比較し、以下について確認する。

- ・ 想定事故時の線量計算に用いる相対濃度
- ・ 異常年検定

(4) 想定事故時の線量計算に用いる相対濃度と異常年検定の評価結果

(a) 想定事故時の線量計算に用いる相対濃度の最新の気象との比較

想定事故時の線量計算に用いる相対濃度について、線量評価に用いる気象（2005 年度）と最新の気象（2015 年度）との比較を行った。その結果、2005 年度気象での相対濃度<sup>※2</sup>は  $2.01 \times 10^{-6} \text{ s/m}^3$ 、2015 年度気象では  $2.04 \times 10^{-6} \text{ s/m}^3$  である。2005 年度に対し 2015 年度の相対濃度は約 1 % の増加（気象指針に記載の相対濃度の年変動の範囲 30 % 以内）であり、2005 年度の気象データに特異性はない。

※2 排気筒放出における各方位の 1 時間ごとの気象データを用いた年間の相対濃度を小さい方から累積し、その累積頻度が 97 % に当たる相対濃度を算出し、各方位の最大値を比較

(b) 異常年検定

a. 検定に用いた観測記録

検定に用いた観測記録は第 1 表のとおりである。

なお、参考として、最寄の気象官署（水戸地方気象台、小名浜特別地域気象観測所）の観測記録についても使用した。

第 1 表 検定に用いた観測記録

検定年	統計年 <sup>※3</sup>	観測地点 <sup>※4</sup>
2005 年度： 2005 年 4 月 ～ 2006 年 3 月	① 2001 年 4 月～2013 年 3 月 (申請時最新 10 年の気象データ)	・ 敷地内観測地点 (地上高 10 m, 81 m, 140 m)
	② 2004 年 4 月～2016 年 3 月 (最新 10 年の気象データ)	<参考> ・ 水戸地方気象台 ・ 小名浜特別地域気象観測所

※3 2006 年度は気象データの欠測率が高いため統計年から除外

※4 敷地内観測地点地上 81m は東海発電所の排気筒付近のデータであるが、気象の特異性を確認するため評価

b. 検定方法

不良標本の棄却検定に関するF分布検定の手順により異常年検定を行った。

c. 検定結果（①～⑩ 棄却検定表参照）

検定結果は第2表のとおりであり、最新の気象データ（2004年4月～2016年3月）を用いた場合でも、有意水準（危険率）5%での棄却数は少なく、有意な増加はない。また、最寄の気象官署の気象データにおいても、有意水準（危険率）5%での棄却数は少なく、2005年度の気象データは異常年とは判断されない。

第2表 検定結果

検定年	統計年 <sup>※5</sup>	棄却数				
		敷地内観測地点			参 考	
		地上高10 m	地上高81 m <sup>※6</sup>	地上高140 m	水戸地方気象台	小名浜特別地域気象観測所
2005年度	①	1個	0個	3個	—	—
	②	3個	1個	4個	1個	3個

※5 ①：2001年4月～2013年3月（申請時最新10年の気象データ）

②：2004年4月～2016年3月（最新10年の気象データ）

2006年度は気象データの欠測率が高いため統計年から除外

※6 敷地内観測地点地上81 mは東海発電所の排気筒付近のデータであるが、気象の特異性を確認するため評価

(5) 異常年検定による棄却項目の線量評価に与える影響

異常年検定については、風向別出現頻度 17 項目、風速階級別出現頻度 10 項目についてそれぞれ検定を行っている。

線量評価に用いる気象（2005 年度）を最新の気象データ（2004 年 4 月～2016 年 3 月）にて検定した結果、最大の棄却数は地上高 140 m の観測地点で 27 項目中 4 個であった。棄却された項目について着目すると、棄却された項目は全て風向別出現頻度であり、その方位は ENE, E, ESE, SSW である。

ここで、最新の気象データを用いた場合の線量評価への影響を確認するため、棄却された各風向の相対濃度について、2005 年度と 2015 年度を第 3 表のとおり比較した。

ENE, E, ESE については 2005 年度に対し 2015 年度は 0.5 倍～0.9 倍程度の相対濃度となり、2005 年度での評価は保守的な評価となっており、線量評価結果への影響を与えない。なお、SSW については 2005 年度に対し 2015 年度は約 1.1 倍の相対濃度とほぼ同等であり、また、SSW は頻度が比較的 low 相対濃度の最大方位とはならないため線量評価への影響はない。

第 3 表 棄却された各風向の相対濃度の比較結果

風向	相対濃度 <sup>※7</sup> (s/m <sup>3</sup> ) (2005 年度) : A	相対濃度 <sup>※7</sup> (s/m <sup>3</sup> ) (2015 年度) : B	比 (B/A)
ENE	1.456×10 <sup>-6</sup>	1.258×10 <sup>-6</sup>	0.864
E	1.982×10 <sup>-6</sup>	1.010×10 <sup>-6</sup>	0.510
ESE	1.810×10 <sup>-6</sup>	1.062×10 <sup>-6</sup>	0.587
SSW	1.265×10 <sup>-6</sup>	1.421×10 <sup>-6</sup>	1.123

※7 燃料集合体落下事故を想定した排気筒放出における、各方位の 1 時間ごとの気象データを用いた年間の相対濃度を小さい方から累積し、その累積頻度が 97 % に当たる相対濃度を算出

(6) 結 論

2005 年度の気象データを用いることの妥当性を最新の気象データとの比較により評価した結果は以下のとおり。

- (a) 想定事故時の線量計算に用いる相対濃度について、線量評価に用いる気象（2005 年度）と最新の気象（2015 年度）での計算結果について比較を行った結果、気象指針に記載されている相対濃度の年変動（30 % 以内）の範囲に収まり、2005 年度の気象データに特異性はない。
  - (b) 2005 年度の気象データについて申請時の最新気象データ（2001 年 4 月～2013 年 3 月）及び最新気象データ（2004 年 4 月～2016 年 3 月）で異常年検定を行った結果、棄却数は少なく、有意な増加はない。また、気象指針にて調査することが推奨されている最寄の気象官署の気象データにおいても、2005 年度の気象データは棄却数は少なく、異常年とは判断されない。
  - (c) 異常年検定にて棄却された風向の相対濃度については、最新気象データと比べて保守的、あるいは、ほぼ同等となっており、線量評価結果への影響を与えない。
- 以上より、2005 年度の気象データを線量評価に用いることは妥当である。

① 棄却検定表（風向）（標高148m）

観測場所：敷地内A地点（標高148m，地上高140m）（％）

統計年 風向	2001	2002	2003	2004	2007	2008	2009	2010	2011	2012	平均値	検定年 2005	棄却限界(5%)		判定 ○採択 ×棄却
													上限	下限	
N	3.96	5.85	3.78	3.40	5.01	4.27	4.11	4.62	4.43	4.50	4.39	3.52	6.02	2.77	○
NNE	8.89	8.15	6.91	6.22	11.41	13.51	18.30	14.74	15.31	14.20	11.76	6.67	21.42	2.11	○
NE	19.71	24.49	23.29	18.45	18.06	20.80	16.75	14.99	14.71	13.60	18.49	18.41	27.13	9.84	○
ENE	8.31	8.38	10.04	8.97	7.09	6.97	5.51	5.25	5.40	4.10	7.00	9.80	11.55	2.46	○
E	4.39	3.76	4.56	4.42	4.59	4.14	3.49	3.17	3.13	1.70	3.74	5.55	5.88	1.59	○
ESE	2.79	2.86	2.93	2.99	2.32	2.85	2.26	2.26	2.22	2.20	2.57	3.66	3.37	1.76	×
SE	2.90	2.61	2.95	2.66	2.15	2.85	2.59	2.74	2.82	3.00	2.73	3.09	3.31	2.14	○
SSE	3.35	3.34	3.74	3.54	3.69	3.73	4.18	4.89	4.68	5.50	4.06	3.32	5.80	2.33	○
S	5.00	4.13	5.02	6.63	6.33	5.38	5.19	6.03	5.83	7.00	5.65	4.99	7.72	3.59	○
SSW	3.79	3.56	4.35	5.02	4.54	4.55	4.43	5.35	4.76	5.70	4.61	3.13	6.15	3.06	○
SW	4.32	4.90	4.93	5.16	3.92	3.40	4.53	5.16	5.76	5.40	4.75	3.67	6.44	3.06	○
WSW	4.38	4.09	3.53	4.31	4.66	3.29	4.11	4.67	4.07	4.70	4.18	4.25	5.31	3.05	○
W	5.44	4.16	4.23	4.65	3.89	3.81	4.47	5.55	4.26	4.40	4.49	5.13	5.88	3.09	○
WNW	5.95	5.05	6.19	6.71	5.87	6.13	6.26	6.05	6.37	6.30	6.09	7.65	7.12	5.06	×
NW	7.95	7.42	7.60	9.12	9.02	8.06	7.95	7.99	8.94	10.10	8.42	9.54	10.41	6.42	○
NNW	7.63	6.60	5.19	6.97	7.03	5.86	4.90	5.27	5.98	6.60	6.20	6.53	8.35	4.05	○
CALM	1.24	0.65	0.75	0.76	0.42	0.39	0.98	1.26	1.32	1.2	0.90	1.10	1.73	0.06	○

注1) 1996年9月までは超音波風向風速計，1996年10月からはドップラーソーダの観測値である。

注2) 2006年度は標高148mのデータにノイズの影響があったため除外し，2001年度を追加した。

② 棄却検定表（風速）（標高148m）

観測場所：敷地内A地点（標高148m，地上高140m）（％）

統計年 風速(m/s)	2001	2002	2003	2004	2007	2008	2009	2010	2011	2012	平均値	検定年 2005	棄却限界(5%)		判定 ○採択 ×棄却
													上限	下限	
0.0~0.4	1.24	0.65	0.75	0.76	0.42	0.39	0.98	1.26	1.32	1.20	0.90	1.10	1.73	0.06	○
0.5~1.4	6.70	5.19	5.56	6.43	5.00	4.91	6.14	6.91	6.97	7.40	6.12	6.99	8.26	3.98	○
1.5~2.4	10.58	8.92	9.61	11.42	8.63	9.44	10.82	11.16	10.43	11.00	10.20	11.28	12.53	7.87	○
2.5~3.4	12.17	11.15	12.55	13.72	11.36	12.24	11.61	12.66	12.49	12.40	12.24	14.10	13.99	10.48	×
3.5~4.4	12.57	12.25	12.80	13.58	12.63	13.41	13.26	12.52	12.24	12.10	12.74	13.85	13.97	11.51	○
4.5~5.4	11.54	10.97	11.30	12.07	13.08	12.09	12.67	13.40	12.60	11.00	12.07	12.03	14.11	10.03	○
5.5~6.4	10.66	9.62	10.10	9.68	11.98	10.33	10.78	10.64	10.24	10.00	10.40	9.92	12.02	8.79	○
6.5~7.4	7.67	8.18	8.82	7.95	8.74	8.28	8.19	8.89	8.08	8.60	8.34	7.40	9.30	7.38	○
7.5~8.4	6.17	7.68	7.35	5.34	6.97	7.05	5.91	6.39	6.28	7.30	6.64	5.51	8.40	4.89	○
8.5~9.4	5.14	6.84	6.01	5.03	5.60	4.77	5.03	4.82	5.52	6.00	5.48	4.82	7.03	3.92	○
9.5以上	15.56	18.54	15.15	14.02	15.61	17.08	14.61	11.35	13.84	13.00	14.88	13.00	19.70	10.05	○

注1) 1996年9月までは超音波風向風速計，1996年10月からはドップラーソーダの観測値である。

注2) 2006年度は標高148mのデータにノイズの影響があったため除外し，2001年度を追加した。

③ 棄却検定表（風向）（標高89m）

観測場所：敷地内A地点（標高 89m，地上高 81m）（%）

統計年 風向	2001	2002	2003	2004	2007	2008	2009	2010	2011	2012	平均値	検定年 2005	棄却限界(5%)		判定 ○採択 ×棄却
	上限		下限												
N	4.09	4.59	3.42	3.25	4.84	4.64	4.84	5.88	5.68	5.5	4.67	3.79	6.79	2.56	○
NNE	8.41	7.81	7.03	6.03	10.15	12.15	17.45	14.51	16.54	14.50	11.46	6.60	21.28	1.64	○
NE	17.97	21.91	21.50	17.51	16.08	19.04	16.64	13.25	12.20	11.40	16.75	17.88	25.36	8.14	○
ENE	7.76	8.22	9.86	7.84	6.78	7.22	5.33	4.72	3.74	3.30	6.48	8.95	11.52	1.44	○
E	3.34	3.80	4.30	4.02	4.35	4.18	3.00	2.48	2.26	1.80	3.35	4.32	5.55	1.16	○
ESE	2.40	2.79	2.47	2.75	2.29	2.79	2.30	2.05	1.83	1.70	2.34	2.77	3.26	1.42	○
SE	2.74	2.86	2.96	2.80	2.21	2.96	2.89	2.53	2.99	3.20	2.81	2.75	3.47	2.16	○
SSE	3.78	3.48	3.96	3.77	3.74	3.90	4.83	5.80	4.88	6.10	4.42	4.16	6.63	2.22	○
S	4.77	3.66	4.43	6.82	5.76	4.74	4.64	5.94	5.42	5.70	5.19	4.88	7.35	3.03	○
SSW	2.86	2.56	3.20	3.86	3.40	3.06	3.59	4.46	4.16	4.30	3.55	2.43	5.07	2.02	○
SW	3.26	3.62	3.42	3.63	3.07	2.30	2.96	3.33	4.04	4.10	3.37	2.64	4.63	2.11	○
WSW	3.32	3.33	3.11	3.09	3.28	2.75	3.08	3.37	3.10	3.80	3.22	3.08	3.87	2.58	○
W	4.53	4.08	4.57	4.17	4.04	3.59	4.13	5.19	4.29	4.40	4.30	4.58	5.30	3.30	○
WNW	8.29	7.52	8.02	9.03	7.66	7.81	8.17	8.29	8.59	8.70	8.21	9.14	9.34	7.08	○
NW	15.13	13.32	12.41	15.17	15.33	12.82	10.66	11.34	13.08	14.10	13.34	15.31	17.17	9.50	○
NNW	6.67	5.88	4.76	5.67	6.32	5.42	4.60	5.65	6.05	6.30	5.73	6.03	7.32	4.15	○
CALM	0.65	0.58	0.59	0.61	0.68	0.65	0.90	1.21	1.14	1.10	0.81	0.69	1.41	0.21	○

注1) 1996年9月までは超音波風向風速計，1996年10月からはドップラーソーダの観測値である。

注2) 2006年度は標高148mのデータにノイズの影響があったため除外し，2001年度を追加した。

④ 棄却検定表（風速）（標高89m）

観測場所：敷地内A地点（標高 89m，地上高 81m）（%）

統計年 風速(m/s)	2001	2002	2003	2004	2007	2008	2009	2010	2011	2012	平均値	検定年 2005	棄却限界(5%)		判定 ○採択 ×棄却
	上限		下限												
0.0~0.4	0.65	0.58	0.59	0.61	0.68	0.65	0.90	1.21	1.14	1.10	0.81	0.69	1.41	0.21	○
0.5~1.4	4.92	4.95	5.23	5.62	4.89	5.08	6.94	7.56	7.82	7.80	6.08	5.79	9.13	3.03	○
1.5~2.4	10.06	10.15	10.09	11.31	9.38	10.83	12.09	12.36	12.35	12.90	11.15	10.58	14.05	8.25	○
2.5~3.4	13.91	14.28	14.41	14.52	13.35	14.11	14.46	16.20	14.86	14.10	14.42	15.24	16.19	12.65	○
3.5~4.4	15.55	14.93	14.78	16.34	14.98	15.93	15.47	15.05	15.26	14.60	15.29	16.48	16.57	14.01	○
4.5~5.4	13.97	12.98	12.75	13.85	14.76	13.52	13.42	13.75	12.61	12.80	13.44	13.66	15.04	11.84	○
5.5~6.4	11.36	10.40	11.85	10.73	11.54	10.67	10.40	10.51	9.52	10.40	10.74	11.14	12.35	9.13	○
6.5~7.4	8.16	8.38	8.75	7.90	8.66	7.72	7.14	7.22	7.49	8.10	7.95	8.04	9.29	6.62	○
7.5~8.4	6.41	6.50	6.98	5.44	6.25	5.74	5.23	5.40	6.17	6.10	6.02	5.64	7.35	4.70	○
8.5~9.4	4.97	5.31	4.65	4.10	4.85	4.30	4.12	3.20	4.43	4.40	4.43	4.02	5.81	3.06	○
9.5以上	10.04	11.52	9.92	9.58	10.65	11.45	9.84	7.54	8.37	7.80	9.67	8.74	12.98	6.36	○

注1) 1996年9月までは超音波風向風速計，1996年10月からはドップラーソーダの観測値である。

注2) 2006年度は標高148mのデータにノイズの影響があったため除外し，2001年度を追加した。

⑤ 棄却検定表（風向）（標高18m）

観測場所：敷地内A地点（標高 18m，地上高 10m）（%）

統計年 風向	2001	2002	2003	2004	2007	2008	2009	2010	2011	2012	平均値	検定年 2005	棄却限界(5%)		判定 ○採択 ×棄却
													上限	下限	
N	3.29	3.24	2.85	2.50	2.57	2.17	2.52	2.81	2.62	2.40	2.70	2.15	3.54	1.85	○
NNE	12.39	12.29	12.11	10.30	7.29	9.57	11.21	9.18	11.62	8.50	10.45	9.93	14.64	6.26	○
NE	12.70	15.12	17.57	13.28	15.17	17.51	16.15	12.25	12.18	11.60	14.35	15.15	19.68	9.02	○
ENE	3.27	3.57	3.90	3.74	5.42	6.41	5.52	5.07	4.14	6.40	4.74	4.49	7.52	1.97	○
E	2.51	2.86	2.84	2.62	3.05	2.44	2.85	2.19	1.78	1.80	2.49	2.60	3.55	1.43	○
ESE	3.04	3.68	3.30	3.81	3.44	3.44	3.98	3.36	3.25	2.30	3.36	3.49	4.46	2.26	○
SE	5.14	5.79	5.80	5.63	4.29	4.37	4.59	5.21	4.53	4.60	5.00	5.73	6.40	3.59	○
SSE	4.00	3.66	3.99	5.62	5.03	4.47	4.63	6.32	5.73	6.00	4.95	4.59	7.16	2.73	○
S	2.41	2.22	2.63	3.85	3.68	3.79	3.25	4.55	3.54	4.20	3.41	2.31	5.25	1.57	○
SSW	3.52	3.26	3.07	3.20	3.19	2.35	3.28	3.64	3.38	3.40	3.23	2.36	4.06	2.40	×
SW	1.37	0.79	1.35	1.08	1.53	1.09	1.06	1.00	1.12	1.30	1.17	1.22	1.68	0.66	○
WSW	2.94	2.70	2.48	2.15	1.44	1.25	2.47	2.66	2.34	1.90	2.23	2.40	3.54	0.92	○
W	12.93	11.05	10.01	11.71	4.73	4.55	6.91	6.99	7.88	6.30	8.31	10.13	15.30	1.31	○
WNW	19.82	18.95	18.46	19.53	24.91	22.81	21.72	22.62	22.60	22.90	21.43	21.68	26.45	16.42	○
NW	6.86	6.86	6.03	6.52	9.65	8.87	6.09	7.67	8.35	10.90	7.78	7.42	11.65	3.91	○
NNW	2.97	2.92	2.33	2.61	3.51	3.10	2.43	2.87	3.04	3.50	2.93	2.65	3.87	1.99	○
CALM	0.82	1.03	1.29	1.85	1.11	1.82	1.35	1.6	1.9	2.00	1.48	1.69	2.46	0.49	○

注1) 2006年度は標高148mのデータにノイズの影響があったため除外し，2001年度を追加した。

⑥ 棄却検定表（風速）（標高18m）

観測場所：敷地内A地点（標高 18m，地上高 10m）（%）

統計年 風速(m/s)	2001	2002	2003	2004	2007	2008	2009	2010	2011	2012	平均値	検定年 2005	棄却限界(5%)		判定 ○採択 ×棄却
													上限	下限	
0.0~0.4	0.82	1.03	1.29	1.85	1.11	1.82	1.35	1.60	1.90	2.00	1.48	1.69	2.46	0.49	○
0.5~1.4	12.24	12.79	13.24	14.96	14.40	15.93	13.88	15.83	15.92	16.70	14.59	15.14	18.20	10.98	○
1.5~2.4	30.43	30.39	28.56	31.22	32.03	33.39	32.69	32.91	33.15	31.40	31.62	32.77	35.24	28.00	○
2.5~3.4	22.23	21.48	21.80	22.97	21.70	21.95	23.48	23.08	23.60	21.90	22.42	20.88	24.29	20.55	○
3.5~4.4	10.85	10.91	11.31	9.77	10.95	10.88	10.69	11.19	10.19	10.70	10.74	10.16	11.83	9.66	○
4.5~5.4	7.69	8.16	9.27	6.25	6.89	6.66	7.22	6.75	6.01	7.10	7.20	7.09	9.49	4.91	○
5.5~6.4	5.21	6.40	6.23	4.34	4.69	4.15	3.91	3.58	4.17	4.50	4.72	4.79	6.97	2.46	○
6.5~7.4	4.20	4.07	3.92	3.30	3.31	2.25	2.60	2.02	2.44	2.60	3.07	3.01	4.96	1.18	○
7.5~8.4	2.84	2.51	2.18	2.34	2.24	1.20	1.70	1.39	1.25	1.60	1.93	2.29	3.28	0.57	○
8.5~9.4	1.77	1.12	1.07	1.33	1.24	0.86	1.20	0.72	0.60	0.70	1.06	1.09	1.90	0.22	○
9.5以上	1.70	1.13	1.13	1.67	1.45	0.90	1.30	0.94	0.75	0.80	1.18	1.10	1.99	0.36	○

注1) 2006年度は標高148mのデータにノイズの影響があったため除外し，2001年度を追加した。

⑦ 棄却検定表（風向）（標高148m）

観測場所：敷地内A地点（標高148m，地上高140m）（%）

統計年 風向	2004	2007	2008	2009	2010	2011	2012	2013	2014	2015	平均値	検定年 2005	棄却限界(5%)		判定 ○採択 ×棄却
	上限		下限												
N	3.40	5.01	4.27	4.11	4.62	4.43	4.50	4.48	4.38	5.20	4.44	3.52	5.60	3.28	○
NNE	6.22	11.41	13.51	18.30	14.74	15.31	14.10	11.42	14.59	20.56	14.02	6.67	23.32	4.72	○
NE	18.45	18.06	20.80	16.75	14.99	14.71	13.66	15.68	13.11	13.60	15.98	18.41	21.91	10.05	○
ENE	8.97	7.09	6.97	5.51	5.25	5.40	4.16	5.74	5.59	4.95	5.96	9.80	9.21	2.72	×
E	4.42	4.59	4.14	3.49	3.17	3.13	1.65	3.02	3.06	3.04	3.37	5.55	5.40	1.34	×
ESE	2.99	2.32	2.85	2.26	2.26	2.22	2.17	2.00	2.36	2.20	2.36	3.66	3.10	1.62	×
SE	2.66	2.15	2.85	2.59	2.74	2.82	2.98	2.99	2.79	2.26	2.69	3.09	3.36	2.01	○
SSE	3.54	3.69	3.73	4.18	4.89	4.68	5.52	4.76	5.29	5.12	4.54	3.32	6.23	2.85	○
S	6.63	6.33	5.38	5.19	6.03	5.83	6.96	6.48	5.87	5.76	6.04	4.99	7.36	4.73	○
SSW	5.02	4.54	4.55	4.43	5.35	4.76	5.68	6.07	4.89	5.45	5.08	3.13	6.37	3.78	×
SW	5.16	3.92	3.40	4.53	5.16	5.76	5.38	4.94	4.64	5.05	4.79	3.67	6.46	3.13	○
WSW	4.31	4.66	3.29	4.11	4.67	4.07	4.63	4.81	5.16	4.10	4.38	4.25	5.62	3.14	○
W	4.65	3.89	3.81	4.47	5.55	4.26	4.40	4.64	5.07	4.24	4.50	5.13	5.74	3.26	○
WNW	6.71	5.87	6.13	6.26	6.05	6.37	6.29	6.75	7.56	5.62	6.36	7.65	7.65	5.07	○
NW	9.12	9.02	8.06	7.95	7.99	8.94	10.14	8.95	9.69	6.99	8.68	9.54	10.90	6.47	○
NNW	6.97	7.03	5.86	4.90	5.27	5.98	6.57	6.52	5.08	4.81	5.90	6.53	7.92	3.88	○
CALM	0.76	0.42	0.39	0.98	1.26	1.32	1.21	0.75	0.88	1.04	0.90	1.10	1.68	0.12	○

注1) 2006年度は標高148mのデータにノイズの影響があったため除外し，2004年度を追加した。

⑧ 棄却検定表（風速）（標高148m）

観測場所：敷地内A地点（標高148m，地上高140m）（%）

統計年 風速(m/s)	2004	2007	2008	2009	2010	2011	2012	2013	2014	2015	平均値	検定年 2005	棄却限界(5%)		判定 ○採択 ×棄却
	上限		下限												
0.0~0.4	0.76	0.42	0.39	0.98	1.26	1.32	1.21	0.75	0.88	1.04	0.90	1.10	1.68	0.12	○
0.5~1.4	6.43	5.00	4.91	6.14	6.91	6.97	7.32	5.92	6.20	6.78	6.26	6.99	8.18	4.33	○
1.5~2.4	11.42	8.63	9.44	10.82	11.16	10.43	10.94	10.58	9.76	10.98	10.42	11.28	12.50	8.33	○
2.5~3.4	13.72	11.36	12.24	11.61	12.66	12.49	12.38	12.89	12.13	13.45	12.49	14.10	14.24	10.75	○
3.5~4.4	13.58	12.63	13.41	13.26	12.52	12.24	12.12	14.22	13.05	13.51	13.05	13.85	14.64	11.47	○
4.5~5.4	12.07	13.08	12.09	12.67	13.40	12.60	11.01	12.52	12.25	11.78	12.35	12.03	13.95	10.75	○
5.5~6.4	9.68	11.98	10.33	10.78	10.64	10.24	10.01	10.35	11.29	9.51	10.48	9.92	12.23	8.73	○
6.5~7.4	7.95	8.74	8.28	8.19	8.89	8.08	8.62	8.57	9.22	7.47	8.40	7.40	9.61	7.19	○
7.5~8.4	5.34	6.97	7.05	5.91	6.39	6.28	7.32	7.01	6.63	5.89	6.48	5.51	7.98	4.98	○
8.5~9.4	5.03	5.60	4.77	5.03	4.82	5.52	6.08	5.01	5.14	4.97	5.20	4.82	6.17	4.22	○
9.5以上	14.02	15.61	17.08	14.61	11.35	13.84	12.98	12.18	13.45	14.63	13.97	13.00	17.90	10.05	○

注1) 2006年度は標高148mのデータにノイズの影響があったため除外し，2004年度を追加した。

⑨ 棄却検定表（風向）（標高89m）

観測場所：敷地内A地点（標高 89m，地上高 81m）（%）

統計年 風向	2004	2007	2008	2009	2010	2011	2012	2013	2014	2015	平均値	検定年 2005	棄却限界（5%）		判定 ○採択 ×棄却
													上限	下限	
N	3.25	4.84	4.64	4.84	5.88	5.68	5.50	5.04	5.05	6.22	5.09	3.79	7.05	3.14	○
NNE	6.03	10.15	12.15	17.45	14.51	16.54	14.50	11.55	14.10	19.46	13.64	6.60	22.84	4.45	○
NE	17.51	16.08	19.04	16.64	13.25	12.20	11.40	14.95	13.31	12.28	14.67	17.88	20.77	8.56	○
ENE	7.84	6.78	7.22	5.33	4.72	3.74	3.30	5.73	4.21	4.52	5.34	8.95	8.97	1.71	○
E	4.02	4.35	4.18	3.00	2.48	2.26	1.80	2.89	2.33	2.47	2.98	4.32	5.11	0.85	○
ESE	2.75	2.29	2.79	2.30	2.05	1.83	1.70	2.17	2.07	1.91	2.19	2.77	3.04	1.33	○
SE	2.80	2.21	2.96	2.89	2.53	2.99	3.20	2.56	3.40	2.60	2.81	2.75	3.64	1.98	○
SSE	3.77	3.74	3.90	4.83	5.80	4.88	6.10	4.79	5.78	5.58	4.92	4.16	7.03	2.81	○
S	6.82	5.76	4.74	4.64	5.94	5.42	5.70	5.01	4.67	4.87	5.36	4.88	7.03	3.68	○
SSW	3.86	3.40	3.06	3.59	4.46	4.16	4.30	4.07	3.53	4.25	3.87	2.43	4.95	2.79	×
SW	3.63	3.07	2.30	2.96	3.33	4.04	4.10	3.45	3.38	3.56	3.38	2.64	4.63	2.13	○
WSW	3.09	3.28	2.75	3.08	3.37	3.10	3.80	3.50	4.06	3.23	3.33	3.08	4.23	2.42	○
W	4.17	4.04	3.59	4.13	5.19	4.29	4.40	4.66	4.76	4.26	4.35	4.58	5.39	3.31	○
WNW	9.03	7.66	7.81	8.17	8.29	8.59	8.70	9.54	10.05	7.43	8.53	9.14	10.51	6.54	○
NW	15.17	15.33	12.82	10.66	11.34	13.08	14.10	13.28	12.90	10.98	12.97	15.31	16.82	9.11	○
NNW	5.67	6.32	5.42	4.60	5.65	6.05	6.30	5.80	5.54	5.08	5.64	6.03	6.90	4.38	○
CALM	0.61	0.68	0.65	0.90	1.21	1.14	1.10	1.01	0.86	1.29	0.95	0.69	1.53	0.37	○

注1) 2006年度は標高148mのデータにノイズの影響があったため除外し，2004年度を追加した。

⑩ 棄却検定表（風速）（標高89m）

観測場所：敷地内A地点（標高 89m，地上高 81m）（%）

統計年 風速(m/s)	2004	2007	2008	2009	2010	2011	2012	2013	2014	2015	平均値	検定年 2005	棄却限界（5%）		判定 ○採択 ×棄却
													上限	下限	
0.0~0.4	0.61	0.68	0.65	0.90	1.21	1.14	1.10	1.01	0.86	1.29	0.95	0.69	1.53	0.37	○
0.5~1.4	5.62	4.89	5.08	6.94	7.56	7.82	7.80	7.41	6.47	7.60	6.72	5.79	9.42	4.01	○
1.5~2.4	11.31	9.38	10.83	12.09	12.36	12.35	12.90	12.41	11.84	13.06	11.85	10.58	14.46	9.24	○
2.5~3.4	14.52	13.35	14.11	14.46	16.20	14.86	14.10	15.47	15.34	15.31	14.77	15.24	16.74	12.80	○
3.5~4.4	16.34	14.98	15.93	15.47	15.05	15.26	14.60	15.94	15.26	14.65	15.35	16.48	16.71	13.98	○
4.5~5.4	13.85	14.76	13.52	13.42	13.75	12.61	12.80	12.85	13.64	12.56	13.38	13.66	15.00	11.75	○
5.5~6.4	10.73	11.54	10.67	10.40	10.51	9.52	10.40	10.94	10.49	9.78	10.50	11.14	11.84	9.16	○
6.5~7.4	7.90	8.66	7.72	7.14	7.22	7.49	8.10	7.38	8.49	7.34	7.74	8.04	9.01	6.48	○
7.5~8.4	5.44	6.25	5.74	5.23	5.40	6.17	6.10	4.94	5.67	5.51	5.64	5.64	6.66	4.63	○
8.5~9.4	4.10	4.85	4.30	4.12	3.20	4.43	4.40	4.20	3.89	4.42	4.19	4.02	5.22	3.16	○
9.5以上	9.58	10.65	11.45	9.84	7.54	8.37	7.80	7.44	8.05	8.47	8.92	8.74	12.21	5.63	○

注1) 2006年度は標高148mのデータにノイズの影響があったため除外し，2004年度を追加した。

⑪ 棄却検定表（風向）（標高18m）

観測場所：敷地内A地点（標高 18m，地上高 10m）（%）

統計年 風向	2004	2007	2008	2009	2010	2011	2012	2013	2014	2015	平均値	検定年 2005	棄却限界(5%)		判定 ○採択 ×棄却
													上限	下限	
N	2.50	2.57	2.17	2.52	2.81	2.62	2.39	2.26	2.16	2.70	2.47	2.15	2.99	1.95	○
NNE	10.30	7.29	9.57	11.21	9.18	11.62	8.49	8.24	8.84	11.06	9.58	9.93	12.98	6.18	○
NE	13.28	15.17	17.51	16.15	12.25	12.18	11.58	12.60	12.33	13.45	13.65	15.15	18.32	8.98	○
ENE	3.74	5.42	6.41	5.52	5.07	4.14	6.39	7.34	6.61	7.12	5.78	4.49	8.65	2.90	○
E	2.62	3.05	2.44	2.85	2.19	1.78	1.78	2.84	2.14	3.40	2.51	2.60	3.79	1.23	○
ESE	3.81	3.44	3.44	3.98	3.36	3.25	2.38	3.01	3.47	2.82	3.30	3.49	4.40	2.19	○
SE	5.63	4.29	4.37	4.59	5.21	4.53	4.58	4.04	4.56	4.03	4.58	5.73	5.76	3.40	○
SSE	5.62	5.03	4.47	4.63	6.32	5.73	6.01	4.96	4.74	5.63	5.31	4.59	6.81	3.82	○
S	3.85	3.68	3.79	3.25	4.55	3.54	4.20	3.69	3.42	3.50	3.75	2.31	4.66	2.84	×
SSW	3.20	3.19	2.35	3.28	3.64	3.38	3.39	3.47	3.14	3.32	3.23	2.36	4.05	2.42	×
SW	1.08	1.53	1.09	1.06	1.00	1.12	1.27	1.47	1.34	1.78	1.27	1.22	1.88	0.67	○
WSW	2.15	1.44	1.25	2.47	2.66	2.34	1.91	1.97	2.52	1.97	2.07	2.40	3.16	0.97	○
W	11.71	4.73	4.55	6.91	6.99	7.88	6.34	5.87	6.41	5.74	6.71	10.13	11.52	1.91	○
WNW	19.53	24.91	22.81	21.72	22.62	22.60	22.88	22.63	24.11	20.77	22.46	21.68	26.09	18.83	○
NW	6.52	9.65	8.87	6.09	7.67	8.35	10.93	9.78	9.37	7.93	8.51	7.42	12.10	4.93	○
NNW	2.61	3.51	3.10	2.43	2.87	3.04	3.49	4.17	3.20	3.09	3.15	2.65	4.32	1.98	○
CALM	1.85	1.11	1.82	1.35	1.60	1.90	2.00	1.68	1.64	1.70	1.66	1.69	2.30	1.03	○

注1) 2006年度は標高148mのデータにノイズの影響があったため除外し，2004年度を追加した。

⑫ 棄却検定表（風速）（標高18m）

観測場所：敷地内A地点（標高 18m，地上高 10m）（%）

統計年 風速(m/s)	2004	2007	2008	2009	2010	2011	2012	2013	2014	2015	平均値	検定年 2005	棄却限界(5%)		判定 ○採択 ×棄却
													上限	下限	
0.0~0.4	1.85	1.11	1.82	1.35	1.60	1.90	2.00	1.68	1.64	1.70	1.66	1.69	2.30	1.03	○
0.5~1.4	14.96	14.40	15.93	13.88	15.83	15.92	16.73	15.60	15.63	16.08	15.50	15.14	17.51	13.48	○
1.5~2.4	31.22	32.03	33.39	32.69	32.91	33.15	31.38	32.64	33.04	31.24	32.37	32.77	34.35	30.39	○
2.5~3.4	22.97	21.70	21.95	23.48	23.08	23.60	21.94	22.79	24.23	23.94	22.97	20.88	25.05	20.88	×
3.5~4.4	9.77	10.95	10.88	10.69	11.19	10.19	10.67	11.34	11.65	11.54	10.89	10.16	12.28	9.49	○
4.5~5.4	6.25	6.89	6.66	7.22	6.75	6.01	7.06	7.04	6.89	7.48	6.83	7.09	7.87	5.79	○
5.5~6.4	4.34	4.69	4.15	3.91	3.58	4.17	4.48	3.78	3.36	4.17	4.06	4.79	5.04	3.09	○
6.5~7.4	3.30	3.31	2.25	2.60	2.02	2.44	2.63	2.19	1.59	1.93	2.43	3.01	3.75	1.10	○
7.5~8.4	2.34	2.24	1.20	1.70	1.39	1.25	1.55	1.37	0.94	1.05	1.50	2.29	2.62	0.39	○
8.5~9.4	1.33	1.24	0.86	1.20	0.72	0.60	0.72	0.71	0.47	0.49	0.83	1.09	1.58	0.09	○
9.5以上	1.67	1.45	0.90	1.30	0.94	0.75	0.84	0.86	0.56	0.37	0.96	1.10	1.91	0.01	○

注1) 2006年度は標高148mのデータにノイズの影響があったため除外し，2004年度を追加した。

⑬ 棄却検定表（風向）（水戸地方気象台）

観測場所：水戸地方気象台(%)

統計年 風向	2004	2007	2008	2009	2010	2011	2012	2013	2014	2015	平均値	検定年 2005	棄却限界(5%)		判定 ○採択 ×棄却
													上限	下限	
N	15.34	17.09	18.48	14.84	16.36	17.58	14.82	13.31	12.53	11.75	15.21	13.38	20.47	9.95	○
NNE	6.78	6.87	8.19	7.57	7.63	7.52	7.05	7.07	6.68	7.83	7.32	6.68	8.51	6.13	○
NE	6.22	6.14	8.14	9.37	6.51	7.25	6.82	6.01	6.65	8.23	7.13	7.36	9.76	4.51	○
ENE	8.70	8.79	9.94	10.20	7.40	7.33	7.71	9.20	8.31	8.81	8.64	9.50	10.97	6.30	○
E	9.92	9.38	10.94	9.26	8.55	7.28	6.49	9.98	8.95	8.87	8.96	10.92	12.05	5.87	○
ESE	4.37	3.22	5.08	3.38	4.19	3.72	4.02	3.43	3.79	3.81	3.90	4.41	5.21	2.60	○
SE	3.11	3.02	3.38	3.05	2.99	3.05	3.74	2.82	2.95	3.07	3.12	2.91	3.74	2.50	○
SSE	1.30	1.50	1.12	1.15	1.29	1.47	1.36	1.10	1.28	1.17	1.27	1.43	1.61	0.94	○
S	2.99	2.43	1.56	2.49	2.82	2.74	2.98	2.96	2.17	2.47	2.56	1.96	3.62	1.50	○
SSW	5.32	5.83	4.64	5.28	6.78	6.32	6.22	5.78	5.79	6.40	5.84	4.24	7.34	4.33	×
SW	5.47	4.84	3.40	3.77	4.86	5.08	4.00	4.01	3.92	3.97	4.33	4.20	5.93	2.73	○
WSW	2.97	3.28	2.61	2.74	3.62	2.91	3.41	3.21	3.66	3.56	3.20	3.26	4.09	2.31	○
W	3.18	2.86	2.83	2.84	3.49	3.07	3.70	3.27	4.34	2.82	3.24	3.81	4.40	2.08	○
WNW	2.75	2.57	2.17	1.72	1.84	2.24	2.89	2.56	2.54	1.59	2.29	3.17	3.35	1.22	○
NW	6.63	5.69	3.15	4.59	4.86	4.11	6.10	6.47	7.06	5.48	5.41	7.67	8.34	2.49	○
NNW	13.20	14.77	12.63	16.29	15.44	16.86	17.84	17.99	18.01	19.29	16.23	13.36	21.45	11.01	○
CALM	1.75	1.73	1.74	1.45	1.36	1.47	0.83	0.85	1.38	0.87	1.34	1.74	2.22	0.46	○

注1) 2006年度は標高148mのデータにノイズの影響があったため除外し、2004年度を追加した。

⑭ 棄却検定表（風速）（水戸地方気象台）

観測場所：水戸地方気象台(%)

統計年 風速(m/s)	2004	2007	2008	2009	2010	2011	2012	2013	2014	2015	平均値	検定年 2005	棄却限界(5%)		判定 ○採択 ×棄却
													上限	下限	
0.0~0.4	1.75	1.73	1.74	1.45	1.36	1.47	0.83	0.85	1.38	0.87	1.34	1.74	2.22	0.46	○
0.5~1.4	33.41	35.08	36.96	37.22	32.05	33.83	31.50	32.61	32.82	26.35	33.18	35.02	40.51	25.85	○
1.5~2.4	29.63	29.88	30.31	28.20	30.41	29.79	31.92	31.80	30.66	35.10	30.77	29.14	35.18	26.36	○
2.5~3.4	16.75	17.72	16.28	15.96	17.80	16.66	16.03	16.83	16.86	17.36	16.83	16.52	18.36	15.29	○
3.5~4.4	9.81	9.42	8.08	8.85	9.43	9.50	9.63	9.81	10.24	11.26	9.60	10.01	11.57	7.63	○
4.5~5.4	4.93	3.73	3.76	4.08	4.11	4.18	5.29	4.44	4.23	4.93	4.37	4.93	5.61	3.13	○
5.5~6.4	2.05	1.30	1.53	2.14	2.59	2.17	2.47	1.80	1.97	2.78	2.08	1.84	3.18	0.98	○
6.5~7.4	0.96	0.63	0.51	1.14	1.19	1.13	1.25	0.82	1.14	0.98	0.98	0.46	1.57	0.38	○
7.5~8.4	0.41	0.26	0.31	0.46	0.53	0.56	0.67	0.39	0.43	0.20	0.42	0.19	0.76	0.08	○
8.5~9.4	0.18	0.15	0.18	0.21	0.29	0.37	0.24	0.21	0.18	0.08	0.21	0.09	0.40	0.02	○
9.5以上	0.11	0.11	0.34	0.30	0.25	0.34	0.16	0.43	0.08	0.09	0.22	0.06	0.52	0.00	○

注1) 2006年度は標高148mのデータにノイズの影響があったため除外し、2004年度を追加した。

⑮ 棄却検定表（風向）（小名浜気象観測所）

観測場所：小名浜気象観測所(%)

統計年 風向	2004	2007	2008	2009	2010	2011	2012	2013	2014	2015	平均値	検定年 2005	棄却限界(5%)		判定 ○採択 ×棄却
													上限	下限	
N	15.61	18.08	19.49	16.90	17.05	16.58	16.86	16.92	16.52	18.76	17.28	14.97	20.03	14.53	○
NNE	9.51	9.46	11.94	13.36	9.44	11.36	9.70	10.37	9.91	12.46	10.75	9.71	14.14	7.36	○
NE	5.07	5.21	5.40	6.15	5.19	4.83	5.89	5.79	5.13	5.70	5.44	4.45	6.44	4.43	○
ENE	1.70	2.19	2.22	2.20	2.22	1.88	2.00	2.43	2.69	2.79	2.23	1.89	3.03	1.43	○
E	2.15	2.92	2.36	2.48	2.38	2.37	1.90	2.42	2.68	2.52	2.42	2.17	3.07	1.76	○
ESE	1.32	1.95	2.02	1.75	1.78	1.60	1.68	2.15	2.14	1.88	1.83	1.77	2.44	1.22	○
SE	2.96	2.68	2.94	2.19	2.64	2.86	2.81	2.98	2.96	2.60	2.76	3.36	3.35	2.18	×
SSE	5.80	4.93	4.51	4.91	5.09	5.79	5.05	4.80	4.77	4.66	5.03	6.02	6.07	3.99	○
S	11.32	9.73	8.58	9.45	11.91	10.63	10.26	8.92	9.93	12.47	10.32	10.33	13.33	7.31	○
SSW	7.56	5.71	5.88	6.43	7.42	6.79	7.04	7.74	6.28	7.56	6.84	4.77	8.59	5.09	×
SW	2.13	1.79	1.58	2.68	2.70	2.29	2.70	2.79	3.04	1.79	2.35	1.69	3.55	1.15	○
WSW	0.95	0.82	1.05	1.13	0.97	0.97	1.18	1.11	1.07	1.15	1.04	0.95	1.30	0.78	○
W	1.80	1.70	1.58	1.70	1.44	1.71	1.50	1.42	1.75	1.46	1.61	1.89	1.94	1.27	○
WNW	4.70	4.69	3.84	3.98	3.98	4.36	4.28	4.43	4.94	2.88	4.21	6.05	5.60	2.82	×
NW	9.27	8.70	7.85	7.77	7.62	8.06	10.22	9.14	9.83	6.42	8.49	10.63	11.23	5.75	○
NNW	15.51	17.31	16.04	14.80	15.83	15.60	16.16	16.05	15.40	13.91	15.66	16.88	17.78	13.54	○
CALM	2.64	2.15	2.73	2.11	2.33	2.34	0.80	0.56	0.94	1.00	1.76	2.47	3.74	0.00	○

注1) 2006年度は標高148mのデータにノイズの影響があったため除外し、2004年度を追加した。

⑯ 棄却検定表（風速）（小名浜気象観測所）

観測場所：小名浜気象観測所(%)

統計年 風速(m/s)	2004	2007	2008	2009	2010	2011	2012	2013	2014	2015	平均値	検定年 2005	棄却限界(5%)		判定 ○採択 ×棄却
													上限	下限	
0.0~0.4	2.64	2.15	2.73	2.11	2.33	2.34	0.80	0.56	0.94	1.00	1.76	2.47	3.74	0.00	○
0.5~1.4	21.92	21.13	22.45	22.79	22.30	22.11	16.85	18.40	18.83	18.49	20.53	20.97	25.64	15.41	○
1.5~2.4	28.61	30.72	31.17	29.65	30.58	28.79	30.61	29.38	32.17	31.56	30.32	30.33	33.13	27.52	○
2.5~3.4	17.92	18.99	17.19	18.04	20.06	19.71	21.00	20.11	20.21	20.27	19.35	18.36	22.32	16.38	○
3.5~4.4	11.69	11.62	10.66	12.27	11.79	12.18	12.28	13.73	12.06	12.35	12.06	10.84	13.89	10.23	○
4.5~5.4	7.47	7.33	6.90	7.80	7.11	6.84	7.96	7.82	7.11	7.86	7.42	7.32	8.42	6.42	○
5.5~6.4	5.06	3.87	4.62	3.81	3.73	3.96	5.41	5.02	3.85	4.28	4.36	4.91	5.83	2.89	○
6.5~7.4	2.45	2.43	2.27	1.93	1.32	2.23	2.79	2.55	2.47	2.17	2.26	2.56	3.22	1.30	○
7.5~8.4	1.11	1.08	0.99	0.96	0.48	1.03	1.21	1.45	1.37	1.05	1.07	1.14	1.70	0.45	○
8.5~9.4	0.75	0.34	0.70	0.43	0.15	0.50	0.59	0.45	0.63	0.60	0.51	0.72	0.94	0.09	○
9.5以上	0.39	0.34	0.32	0.21	0.15	0.31	0.50	0.54	0.37	0.36	0.35	0.39	0.63	0.07	○

注1) 2006年度は標高148mのデータにノイズの影響があったため除外し、2004年度を追加した。

「発電用原子炉施設の安全解析に関する気象指針」の解説 X. での記載

1. 気象現象の年変動

気象現象は、ほぼ1年周期で繰り返されているが、年による変動も存在する。このため、想定事故時の線量計算に用いる相対濃度についてその年変動を比較的長期にわたって調査してみると、相対濃度の平均値に対する各年の相対濃度の偏差の比は、30 % 以内であった。

このことから、1年間の気象資料にもとづく解析結果は、気象現象の年変動に伴って変動するものの、その程度はさほど大きくないので、まず、1年間の気象資料を用いて解析することとした。

その場合には、その年がとくに異常な年であるか否かを最寄の気象官署の気象資料を用いて調査することが望ましい。また、2年以上の気象資料が存在する場合には、これを有効に利用することが望ましい。

コンクリート密度の根拠について

## (1) はじめに

日本建築学会 建築工事標準仕様書・同解説「原子力発電所施設における鉄筋コンクリート工事」(以下「JASS 5N」という。)に基づき、コンクリート密度を乾燥単位容積質量として計算を実施した。

## (2) 乾燥単位容積質量の推定方法

JASS 5Nに記載されている予測式(解3.6)を用いて、以下の手順で推定した。

- ① 骨材(砂, 砂利)試験記録より絶乾比重最小値と表乾比重最大値の割合を求め、調合表上の骨材重量を表乾から絶乾に変換
- ② JASS 5Nの予測式(解3.6)により、含水率を0とした場合の乾燥単位容積質量  $\rho_p$  を算出
- ③ コンクリートのばらつきを考慮して、 $\rho_p$ から  $3\sigma_d$ を差し引く。(解説図3.10)  
標準偏差  $\sigma_d$ はJASS 5Nに記載されている既往の原子力発電所工事の品質管理試験の結果から  $0.024 \text{ t/m}^3$ (最大値)を採用

$$\rho_p = G_0 + S_0 + 1.2C_0 + w \quad (\text{解3.6より})$$

$\rho_p$  : 乾燥単位容積質量 ( $\text{kg/m}^3$ )

$G_0$  : 調合計画における粗骨材量(絶乾) ( $\text{kg/m}^3$ ) ※参考参照

$S_0$  : 調合計画における細骨材量(絶乾) ( $\text{kg/m}^3$ ) ※参考参照

$C_0$  : 調合計画におけるセメント量 ( $\text{kg/m}^3$ ) ※参考参照

$w$  : コンクリート中の含水量 ( $\text{kg/m}^3$ ) ※安全側に0とする。

## 3. 推定乾燥単位容積質量について(参考参照)

推定乾燥単位容積質量の最小値は  $2.016 \text{ g/cm}^3$ となり、遮蔽計算に使用するコンクリート密度はこれを包絡する  $2.00 \text{ g/cm}^3$ とする。

コンクリート調合（東海第二発電所建設記録より）からの推定乾燥容積質量

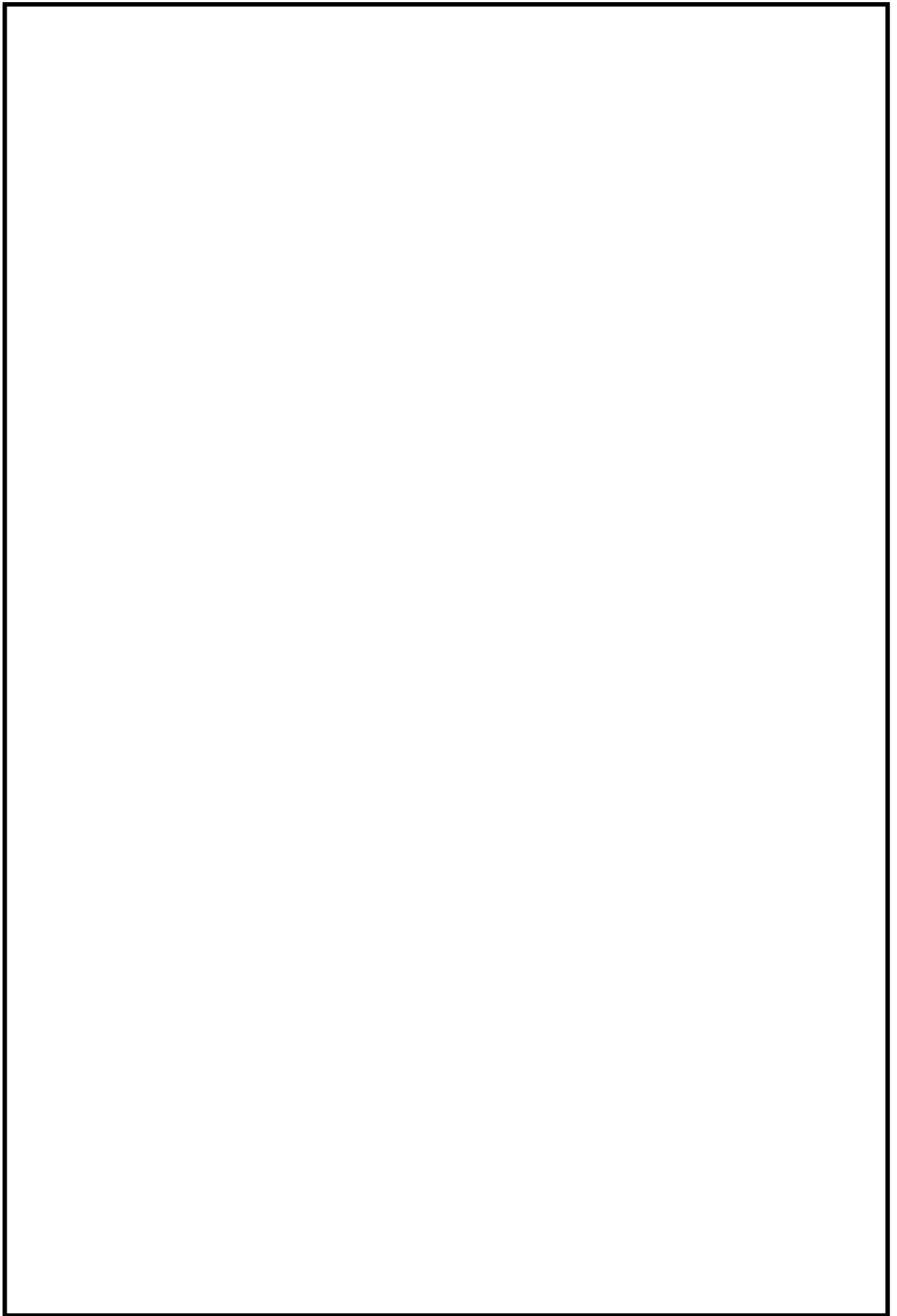
No.	打設場所	重量調合[kg/m <sup>3</sup> ]					砂 (絶乾)	砂利 (絶乾)	σ d = <span style="border: 1px solid black; padding: 2px;">          </span> (JASS5Nより)	
		水	セメント	砂(表乾)	砂利(表乾)	混和材			ρ <sub>p</sub>	ρ <sub>p-3σd</sub>
1	一次遮蔽壁							2.209	2.137	
2								2.218	2.146	
3								2.217	2.145	
4								2.201	2.129	
5								2.207	2.135	
6								2.229	2.157	
7	二次遮蔽壁 原子炉建屋原子炉棟 原子炉建屋付属棟 タービン建屋							2.155	2.083	
8								2.164	2.092	
9								2.156	2.084	
10								2.165	2.093	
11								2.162	2.090	
12								2.173	2.101	
13								2.165	2.093	
14								2.177	2.105	
15								2.155	2.083	
16								2.162	2.090	
17								2.159	2.087	
18								2.203	2.131	
19								2.197	2.125	
20								2.192	2.120	
21								2.202	2.130	
22								2.183	2.111	
23								2.155	2.083	
24								2.164	2.092	
25								2.164	2.092	
26								2.175	2.103	
27								2.149	2.077	
28								2.156	2.084	
29								2.162	2.090	
30								2.165	2.093	
31								2.154	2.082	
32								2.143	2.071	
33								2.168	2.096	
34								2.168	2.096	
35								2.172	2.100	
36								2.154	2.082	
37								2.168	2.096	
38								2.133	2.061	
39								2.137	2.065	
40								2.152	2.080	
41								2.118	2.046	
42								2.137	2.065	
43								2.117	2.045	
44								2.132	2.060	
45								2.157	2.085	
46								2.117	2.045	
47								2.148	2.076	
48								2.126	2.054	
49								2.155	2.083	
50								2.112	2.040	
51								2.088	2.016	
52								2.189	2.117	
53								2.175	2.103	
54								2.181	2.109	
55								2.157	2.085	
56								2.161	2.089	
57								2.163	2.091	
58								2.137	2.065	
59								2.155	2.083	
60								2.141	2.069	
61								2.166	2.094	
62								2.205	2.133	
63								2.170	2.098	
64								2.251	2.179	
65								2.172	2.100	
66								2.169	2.097	
67								2.189	2.117	
68								2.178	2.106	
69								2.195	2.123	
70								2.182	2.110	
71								2.164	2.092	
72								2.174	2.102	
73								2.176	2.104	
74								2.183	2.111	

$\rho_p = G_0 + S_0 + 1.2C_0$

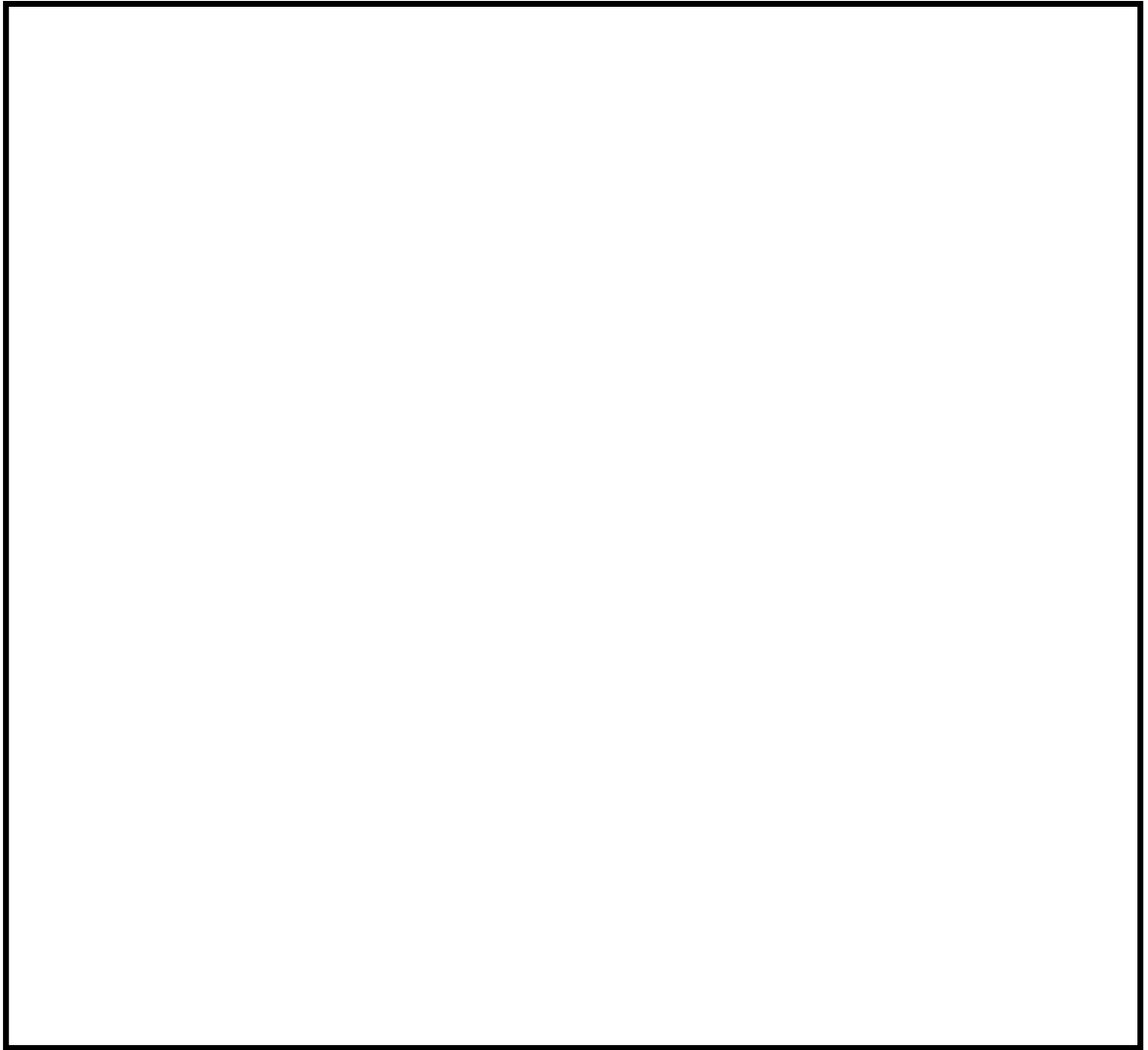
最小値	2.016
-----	-------

原子炉建屋からの直接ガンマ線及びスカイシャインガンマ線、  
グラウンドシャイン評価モデルについて

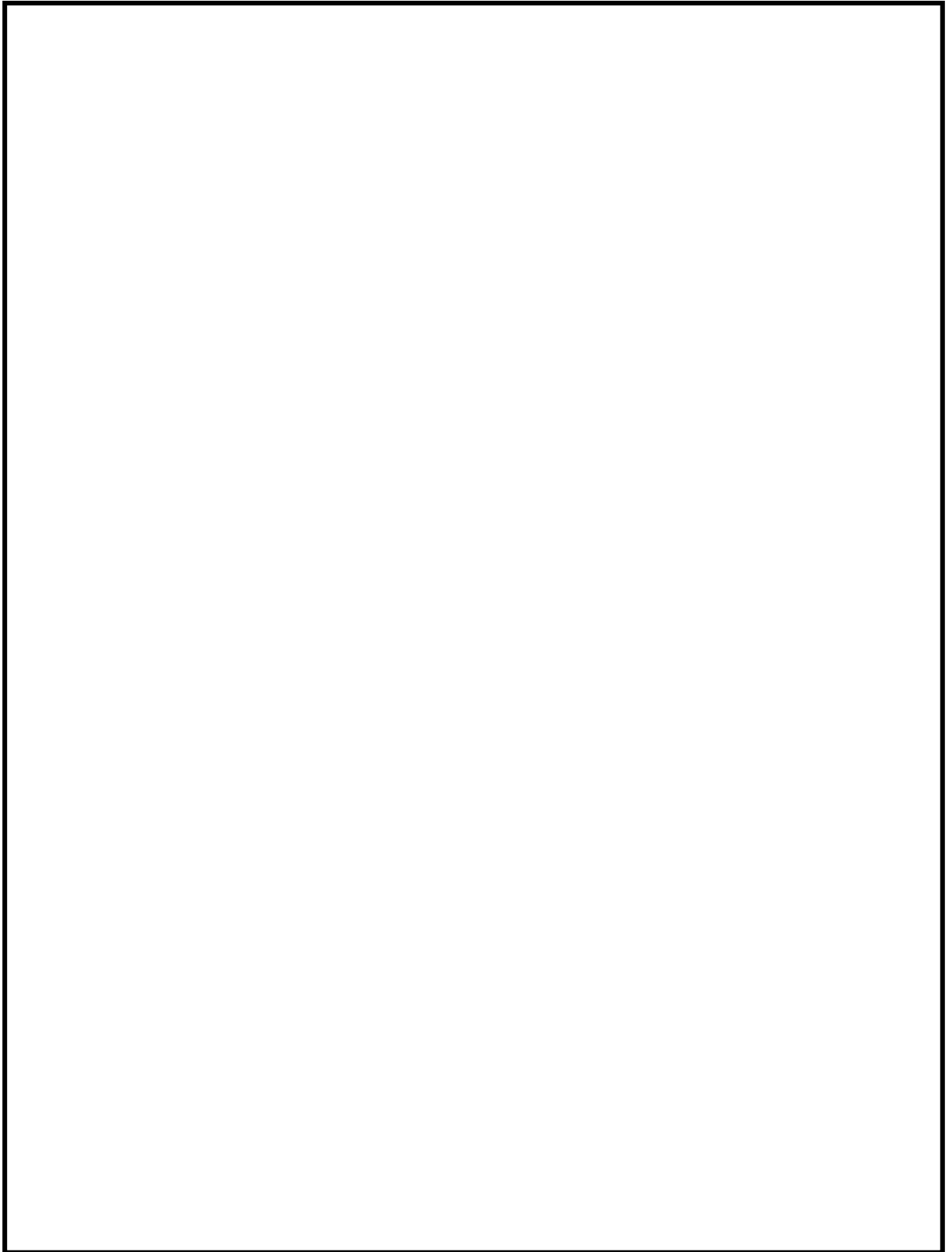
原子炉建屋からの直接ガンマ線及びスカイシャインガンマ線評価は、原子炉建屋外壁（二次遮蔽）及び中央制御室遮蔽の遮蔽効果を考慮し評価している。また、グラウンドシャイン評価は、大気中へ放出され地表面に沈着した放射性物質を線源とし、線源は地表面に均一分布しているものとする。各評価モデルを第1図～第3図に示す。



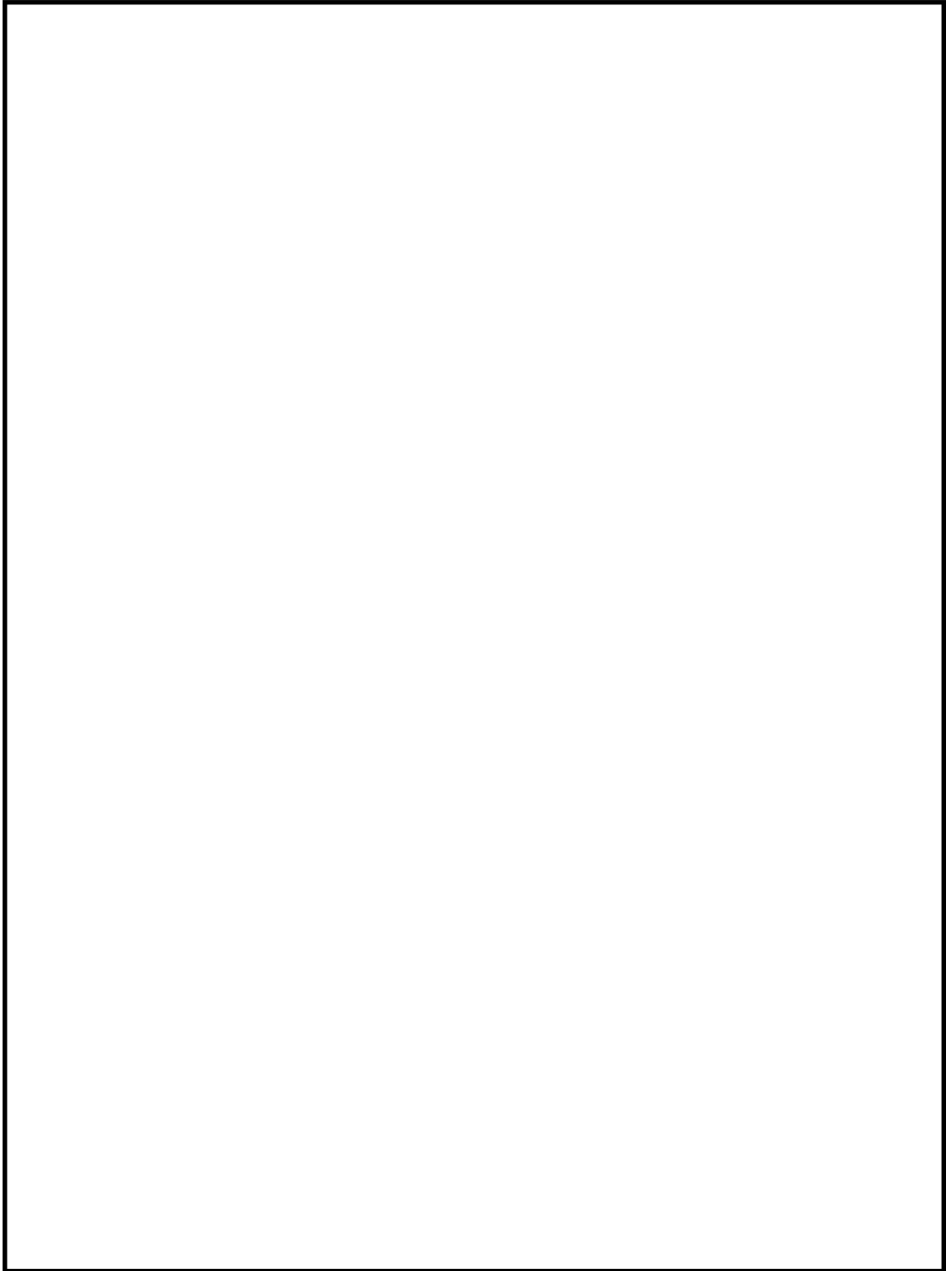
第 1 図 直接ガンマ線評価モデル(1/2)



第1図 直接ガンマ線評価モデル(2/2)



第2図 スカイシャインガンマ線評価モデル



第3図 グランドシャイン評価モデル